



universität
wien

DIPLOMARBEIT

Titel der Diplomarbeit

„Metabolische Aktivierung von Capecitabin in der
Kombinationstherapie des fortgeschrittenen Pankreas- bzw.
Kolonkarzinoms“

Verfasserin

Eva Mihola

angestrebter akademischer Grad

Magistra der Pharmazie (Mag.pharm.)

Wien, 2012

Studienkennzahl lt. Studienblatt: A 449

Studienrichtung lt. Studienblatt: Diplomstudium Pharmazie

Betreuer: ao. Univ. Prof. Mag. Dr. Martin Czejka

DANKSAGUNG

Allem voran gilt mein Dank ao. Univ. Prof. Mag. Dr. Martin Czejka für die Bereitstellung des interessanten Themas und die tolle Betreuung. Sowohl während des praktischen Arbeitens als auch bei der Auswertung und Analyse der Daten war er immer hilfsbereit zur Stelle.

Des Weiteren möchte ich mich bei Mag. Veronika Schreiber, Mag. Azra Sahmanovic-Hrgovcic und Mag. Philipp Buchner bedanken. Sie waren stets verlässliche Anlaufstellen bei Problemen und Fragen aller Art.

Außerdem danke ich meiner Studienkollegin und Freundin Judith. Gemeinsam haben wir uns von Prüfung zu Prüfung durch das Studium gekämpft und sie war mir auch während des Arbeitens an meiner Diplomarbeit immer eine große Stütze.

Ein ganz besonderes „Dankschön“ gilt meiner Familie, allem voran meinen Eltern, die mir dieses Studium ermöglicht haben. Nicht nur finanziell sondern auch mental haben sie mich immer unterstützt. Auch mein Freund Robert hat mich durch alle Höhen und Tiefen des Studiums begleitet und es geschafft, mich immer wieder aufs Neue zu motivieren.

EIDESSTATTLICHE ERKLÄRUNG

Ich erkläre hiermit an Eides statt, dass ich die vorliegende Arbeit selbstständig und ohne Benutzung anderer als der angegebenen Hilfsmittel angefertigt habe. Die aus fremden Quellen direkt oder indirekt übernommenen Gedanken sind als solche kenntlich gemacht.

Die Arbeit wurde bisher in gleicher oder ähnlicher Form keiner anderen Prüfungsbehörde vorgelegt und auch nicht veröffentlicht.

Wien, im Oktober 2012

INHALTSVERZEICHNIS

| | |
|---|-----------|
| 1 THEORETISCHER TEIL | 1 |
| 1.1 Capecitabin und dessen Metaboliten..... | 1 |
| 1.1.1 Struktur und chemische Eigenschaften von CCB | 1 |
| 1.1.2 Pharmakodynamik..... | 2 |
| 1.1.3 Pharmakokinetik | 4 |
| 1.1.4 Indikationen, Dosierung, Verabreichung | 5 |
| 1.1.5 Nebenwirkungen, Interaktionen, Kontraindikationen..... | 5 |
| 2 RATIONALE..... | 7 |
| 3 EXPERIMENTELLER TEIL..... | 8 |
| 3.1 Klinisches Setting..... | 8 |
| 3.2 Arzneistoff-Dosierung..... | 8 |
| 3.3 Patientendaten | 11 |
| 3.4 Probenanalytik..... | 12 |
| 3.4.1 Laborausstattung | 12 |
| 3.4.2 Probenvorbereitung | 13 |
| 3.4.2.1 Quantifizierung von Capecitabin | 13 |
| 3.4.2.2 Quantifizierung von DFCR und DFUR | 16 |
| 3.4.2.3 Herstellung der Eluenten..... | 19 |
| 3.4.3 Biometrische Berechnungen | 20 |
| 3.4.4 Software | 22 |
| 4 ERGEBNISSE | 23 |
| 4.1 Veranschaulichung des Therapieverlaufes anhand von Chromatogrammen..... | 23 |
| 4.2 Rohdaten und Plasmakonzentrations-Zeit-Kurven | 29 |
| 4.2.1 Studie A..... | 29 |
| 4.2.1.1 Patient 1..... | 29 |
| 4.2.1.2 Patient 2..... | 33 |
| 4.2.1.3 Patient 3..... | 37 |

| | |
|---|------------|
| 4.2.1.4 Patient 4 | 41 |
| 4.2.1.5 Vergleich der Plasmakonzentrationen aller Patienten | 45 |
| 4.2.2 Studie B | 59 |
| 4.2.2.1 Patient 27 | 59 |
| 4.2.2.2 Patient 28 | 60 |
| 4.2.2.3 Patient 29 | 61 |
| 4.2.2.4 Patient 30 | 62 |
| 4.2.2.5 Patient 31 | 63 |
| 4.2.2.6 Vergleich der Plasmakonzentrationen aller Patienten | 64 |
| 4.3 Pharmakokinetische Parameter..... | 74 |
| 4.3.1 Studie A | 74 |
| 4.3.2 Studie B | 79 |
| 5 DISKUSSION | 81 |
| 6 ZUSAMMENFASSUNG | 90 |
| 7 SUMMARY..... | 91 |
| ABKÜRZUNGSVERZEICHNIS..... | III |
| ABBILDUNGSVERZEICHNIS | IV |
| TABELLENVERZEICHNIS | VII |
| LITERATURVERZEICHNIS | X |
| LEBENSLAUF | XII |

1 THEORETISCHER TEIL

1.1 Capecitabin und dessen Metaboliten

1.1.1 Struktur und chemische Eigenschaften von CCB

Capecitabin (Handelsname Xeloda®, Hersteller F. Hoffmann-La Roche AG) ist ein nicht zytotoxisches Fluoropyrimidincarbamat mit antineoplastischer Aktivität, welches zur Gruppe der Antimetaboliten gehört. [1, 2, 3, 4]

Es handelt sich hierbei um ein Prodrug, das nach oraler Applikation enzymatisch in seine aktive und zytotoxische Form, 5-Fluorouracil (5-FU), umgewandelt wird. [1, 5, 6]

Die Summenformel von Capecitabin lautet $C_{15}H_{22}FN_3O_6$. Das Molekulargewicht beträgt 359,3501 Dalton (g/mol) und der Schmelzpunkt liegt bei 110 bis 121°C. [5, 6, 7]

Das kristalline Pulver, dessen Wasserlöslichkeit bei 26 mg/mL bei 20°C liegt, ist weiß bis leicht gräulich. [4, 5]

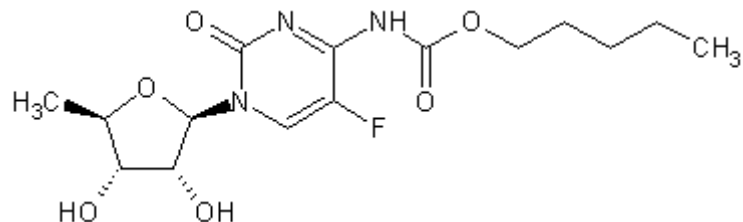


Abb. 1: Chemische Struktur von Capecitabin

1.1.2 Pharmakodynamik

Capecitabin (CCB) wurde als Prodrug zur oralen Verabreichung entwickelt, um die intravenöse Applikation von 5-Fluorouracil (5-FU) zu ersetzen. Es handelt sich um eine sichere und effektive Alternative zu 5-FU, wodurch ein Venenzugang mit allen damit verbundenen Risiken vermieden werden kann.

CCB wird rasch und weitgehend über den Gastrointestinaltrakt aufgenommen und über mehrere enzymatische Schritte in das zytotoxische 5-FU umgewandelt. [2, 8]

Die Bioaktivierung von 5-FU durch die Thymidin-Phosphorylase (TP) erfolgt vor allem im Tumorgewebe selbst. Sowohl 5-FU als auch die an der Aktivierung beteiligten Enzyme kommen im Tumorgewebe in höheren Konzentrationen vor als im gesunden Gewebe. [1, 2, 9, 10, 11]

5-FU ist ein Uracil- bzw. Thymin-Antagonist, welcher den gleichen Transportmechanismus wie Uracil nutzt und somit rasch in die Zelle gelangt. [9, 12]

5-FU wird intrazellulär in drei aktive Hauptmetaboliten umgewandelt:

5-Fluor-2'-desoxyuridin-monophosphat (FdUMP), 5-Fluor-2'-desoxyuridin-triphosphat (FdUTP) und 5-Fluoruridin-triphosphat (FUTP). [9, 10]

Der Hauptmechanismus der Aktivierung beruht auf der Umwandlung von 5-FU zu 5-Fluoruridin-monophosphat (FUMP). Diese erfolgt entweder direkt über die Orotat-Phosphoribosyltransferase (OPRT) mit Phosphoribosylpyrophosphat (PRPP) als Cofaktor oder indirekt über 5-Fluoruridin (FUR) durch die Uridin-Phosphorylase (UP) und die Uridin-Kinase (UK). FUMP wird anschließend zu 5-Fluoruridin-diphosphat (FUDP) phosphoryliert, welches entweder weiter phosphoryliert wird zum aktiven Metaboliten FUTP oder durch die Ribonucleotid-Reduktase (RR) zu 5-Fluor-2'-desoxyuridin-diphosphat (FdUDP) umgewandelt wird. FdUDP wiederum kann entweder phosphoryliert oder dephosphoryliert werden, wodurch die aktiven Metaboliten FdUTP und FdUMP entstehen. Eine andere Möglichkeit zur Aktivierung ist die Umwandlung von 5-FU zu 5-Fluordesoxyuridin (FUDR), das dann durch die Thymidin-Kinase (TK) zu FdUMP phosphoryliert wird. [10]

FdUMP führt durch Bindung an die Thymidylat-Synthase (TS) zu deren Hemmung und in weiterer Folge indirekt zur DNA-Schädigung. Die DNA wird durch den Einbau von FdUTP, die RNA durch den Einbau von FUTP, direkt geschädigt. [1, 4, 5, 9]

Das limitierende Enzym im Katabolismus von 5-FU ist die Dihydropyrimidin-Dehydrogenase (DPD). Diese wird hauptsächlich in der Leber exprimiert und setzt mehr als 80% des 5-FU zu 4,5-Dihydrofluorouracil (DHFU) um. [10]

DNA und RNA spielen bei der Zellproliferation eine übergeordnete Rolle. 5-FU ruft möglicherweise einen Thymidinmangel hervor und kann somit das Zellwachstum stören und Zelltod auslösen. Der entstehende Mangel an DNA und RNA beeinflusst vor allem jene Zellen, die schneller wachsen und 5-FU vermehrt metabolisieren. [13]

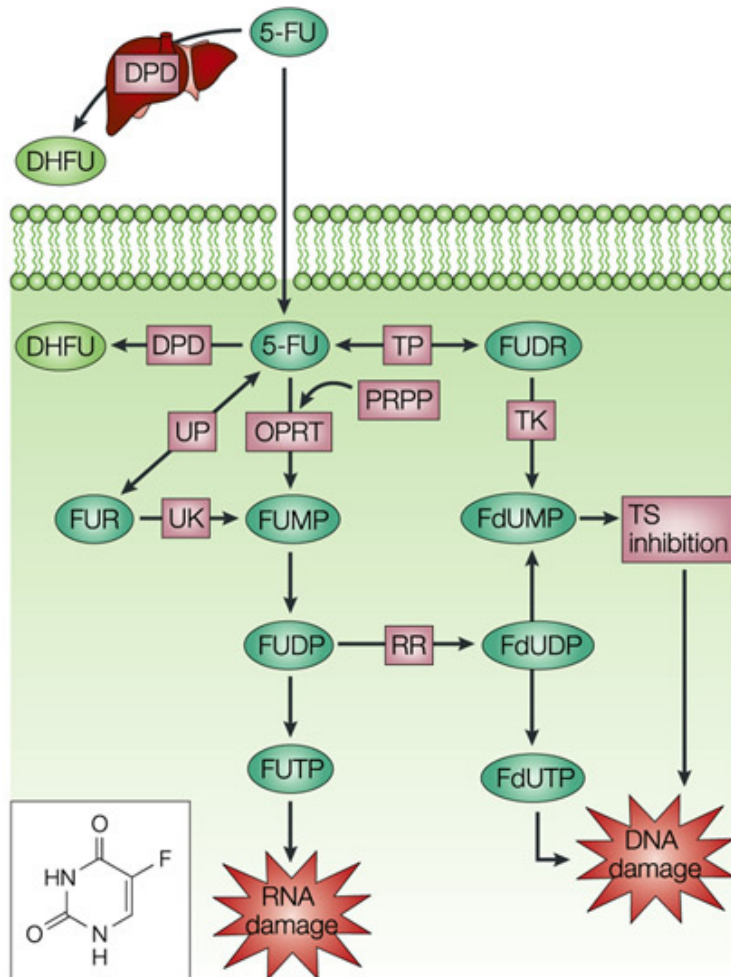


Abb. 2: Darstellung des Wirkmechanismus von 5-Fluorouracil [10]

1.1.3 Pharmakokinetik

CCB, das an sich nicht toxisch ist, wird im Gastrointestinaltrakt beinahe zur Gänze resorbiert und ins zytotoxische 5-FU umgewandelt. Diese Aktivierung erfolgt in drei Schritten. In der Leber wird CCB durch die Carboxylesterase zum 5'-Desoxy-5-fluorocytidin (5'-DFCR) decarboxyliert und anschließend durch die Cytidindesaminase zum 5'-Desoxy-5-fluorouridin (5'-DFUR) desaminiert. Im Tumorgewebe wird 5'-DFUR durch die TP zu 5-FU phosphoryliert. [1, 3, 6, 8, 10, 14, 15]

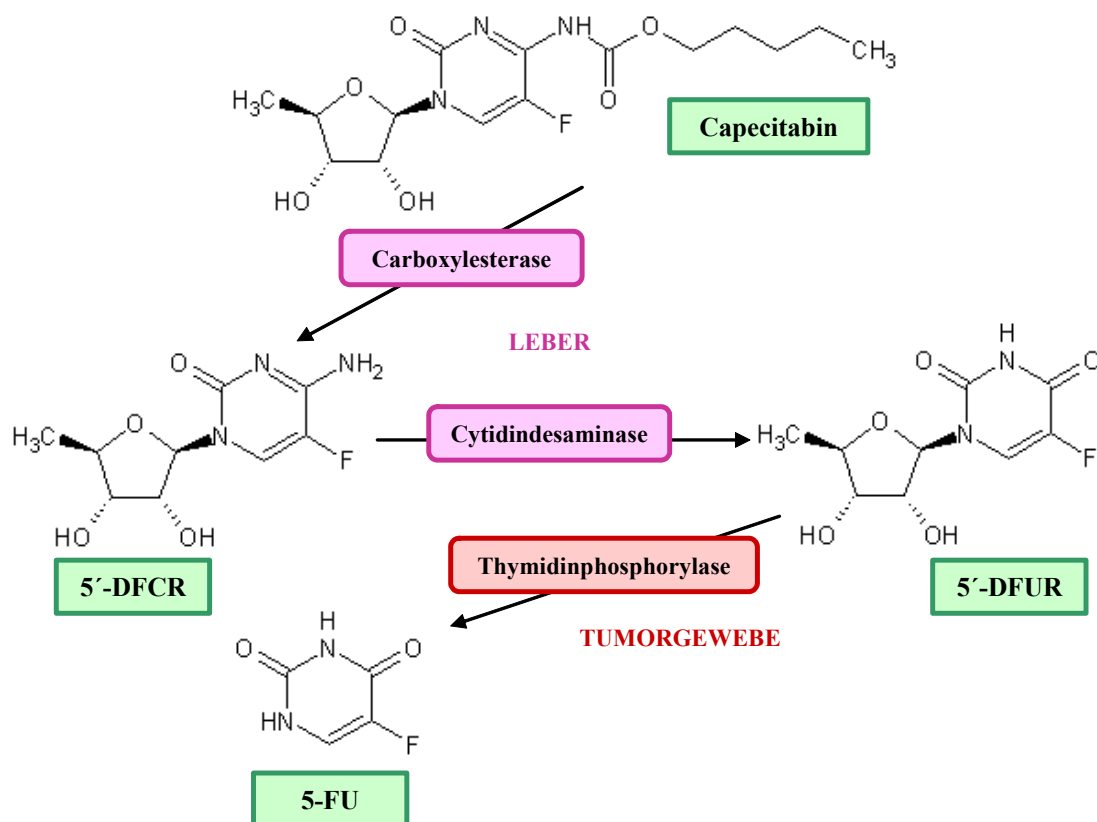


Abb. 3: Darstellung der Metabolisierung von Capecitabin

Die DPD wandelt 5-FU zum weitaus geringer toxischen 5,6-Dihydro-5-fluorouracil (FUH_2) um. Nach weiteren Transformationen wird schließlich α -Fluoro- β -alanin (FBAL) gebildet und mit dem Urin ausgeschieden (95,5% in Form der Metaboliten, ungefähr 3% unverändert), nur 2,6% über die Faeces. [1, 2]

Die Proteinbindung (vor allem an Albumin) von CCB beträgt 54%, von 5'-DFCR 10%, von 5'-DFUR 62% und von 5-FU 10%. [1, 5, 9]

1.1.4 Indikationen, Dosierung, Verabreichung

CCB findet Anwendung bei der postoperativen Behandlung des Kolonkarzinomes im Stadium III (Dukes Stadium C) und bei der Therapie des metastasierten Kolorektalkarzinoms. In Kombination mit anderen Zytostatika wird CCB zur First-Line-Therapie des fortgeschrittenen Magenkarzinoms und zur Behandlung von lokal fortgeschrittenem oder metastasiertem Mammakarzinom eingesetzt. [1, 5, 7, 8]

Als Darreichungsform stehen 150 mg und 500 mg Filmtabletten zur Verfügung. Die Berechnung für die Dosierung erfolgt anhand der Körperoberfläche.

Normalerweise wird Xeloda® zweimal täglich, innerhalb von 30 Minuten nach der Mahlzeit, oral verabreicht. [1, 8]

1.1.5 Nebenwirkungen, Interaktionen, Kontraindikationen

Unerwünschte Wirkungen von CCB betreffen vor allem den Gastrointestinaltrakt (zum Beispiel Diarröhö, Übelkeit, Erbrechen, Bauchschmerzen). Weitere häufige Nebenwirkungen sind Abgeschlagenheit und Kopfschmerzen. Auch das Hand-Fuß-Syndrom ist in unterschiedlichen Schweregraden zu beobachten. Symptome dieser schmerhaften Erkrankung sind Taubheitsgefühl, Kribbeln, Schwellung bzw. Rötung der Haut bis hin zu Blasenbildung und Abschuppung. [1, 4, 6, 11]

Bei der gleichzeitigen Verabreichung von Xeloda® mit Kumarinderivaten (zum Beispiel Warfarin) müssen die Koagulationsparameter regelmäßig überprüft werden. Durch Hemmung von CYP 2C9 wird die Wirkung der Antikoagulantien verstärkt und es kann dadurch häufiger zu Blutungen kommen.

CCB kann eine Erhöhung der Phenytoinplasmakonzentration verursachen. [1, 4]

Die Pharmakokinetik von CCB wird durch Folinsäure nicht beeinflusst, die Pharmakodynamik allerdings schon, wodurch die Toxizität von CCB steigt.

Weiters kommt es zwischen 5-FU und Sorivudin zu gravierenden Wechselwirkungen, die auf einer Hemmung der DPD und einem damit verbundenen Anstieg der Toxizität von 5-FU beruhen.

Zu einer Wirkungsabschwächung von 5-FU kann es bei Kombination mit Allopurinol kommen. [1, 6]

In Bezug auf Interaktionen zwischen Capecitabin und Erlotinib sind in der Literatur kontroverse Angaben zu finden. Zum einen wird keine Veränderung der Plasmakonzentration von Capecitabin beobachtet, zum anderen können diverse pharmakokinetische Parameter von Capecitabin bei gleichzeitiger Verabreichung von Erlotinib erniedrigt werden. [16, 17]

Zu den Kontraindikationen von Xeloda® zählen: Schwangerschaft und Stillzeit, Nieren-, Leber- und Herzinsuffizienz, DPD-Mangel, Überempfindlichkeit gegen CCB oder einen seiner Bestandteile oder gegen 5-FU. [1, 4, 6]

2 RATIONALE

Ziel der vorliegenden Diplomarbeit ist die Ermittlung der Geschwindigkeit und des Ausmaßes der metabolischen Aktivierung von Capecitabin, um daraus Rückschlüsse auf den wirksamen Metaboliten 5-FU ziehen zu können. Im Rahmen von zwei getrennten klinischen Prüfungen erfolgt im Anschluss die pharmakokinetische Auswertung.

3 EXPERIMENTELLER TEIL

3.1 Klinisches Setting

Im Rahmen der vorliegenden Diplomarbeit wurden Plasmaproben aus zwei verschiedenen Studien untersucht, die von Patienten aus dem Kaiser-Franz-Josef-Krankenhaus stammen. Die Proben wurden nach der Abnahme zentrifugiert und bei -80°C gelagert. Die Analyse erfolgte am Department für Klinische Pharmazie und Diagnostik.

Voraussetzung für die Verabreichung einer der beiden Kombinationstherapien ist die Diagnose eines lokal fortgeschrittenen, inoperablen und/oder metastasierenden Pankreaskarzinoms.

3.2 Arzneistoff-Dosierung

- Studie A

Die Therapie besteht aus drei Zyklen, wobei jeder dieser Zyklen aus drei Wochen besteht. Zusätzlich wird diese Studie in Arm A und Arm B gegliedert.

Die Patienten in Arm A erhalten Capecitabin in den Wochen 1, 2, 4, 5, 7 und 8, Cetuximab in den Wochen 3 bis 9 und Oxaliplatin in der Woche 7.

Die Patienten in Arm B erhalten Capecitabin in den Wochen 1, 2, 4, 5, 7 und 8, Cetuximab in den Wochen 1, 8 und 9 und Oxaliplatin in der Woche 7.

Dosierung:

- CCB: 1000 mg/m², zwei mal täglich für zwei Wochen, peroral
- CETUX: zu Beginn 400 mg/m², anschließend 250 mg/m² wöchentlich, intravenös
- OxPt: 130 mg/m², intravenös

Tab. 1: Studiendesign von Studie A

| Zyklus | 1 | | | 2 | | | 3 | | |
|--------|-------|---|---|-------|---|---|-------|---|---|
| Woche | 1 | 2 | 3 | 4 | 5 | 6 | 7 | 8 | 9 |
| Arm A | CCB | | | CCB | | | CCB | | |
| | | | | CETUX | | | | | |
| | | | | | | | OxPt | | |
| Arm B | CCB | | | CCB | | | CCB | | |
| | CETUX | | | | | | CETUX | | |
| | | | | | | | OxPt | | |

Die Blutabnahme erfolgt in jedem der drei Zyklen (Woche 1, 4 und 7) an Tag 1 und Tag 5. Die entsprechenden Blutabnahmezeitpunkte sind in Tabelle 2 angeführt.

Tab. 2: Blutabnahmeschema von Studie A

| Blutabnahmeschema | | | | | |
|-------------------|----------|---------------|----------|---------------|----------|
| Zyklus 1 (W1) | | Zyklus 2 (W4) | | Zyklus 3 (W7) | |
| Tag 1 | Tag 5 | Tag 1 | Tag 5 | Tag 1 | Tag 5 |
| 0 min. | 0 min. | 0 min. | 0 min. | 0 min. | 0 min. |
| 30 min. | 30 min. | 30 min. | 30 min. | 30 min. | 30 min. |
| 60 min. | 60 min. | 60 min. | 60 min. | 60 min. | 60 min. |
| 90 min. | 90 min. | 90 min. | 90 min. | 90 min. | 90 min. |
| 120 min. | 120 min. | 120 min. | 120 min. | 120 min. | 120 min. |
| 150 min. | | 150 min. | | 150 min. | |
| 180 min. | | 180 min. | | 180 min. | |
| 240 min. | | 240 min. | | 240 min. | |
| 300 min. | | 300 min. | | 300 min. | |
| 360 min. | | 360 min. | | 360 min. | |

- Studie B

Die Therapie besteht aus drei Zyklen. In dieser Diplomarbeit wurden Plasmaproben aus Dose Level (DL) 4 und 7 analysiert. Dose Level 5 und 6 waren laut Studienprotokoll vorgesehen, wurden seitens der Klinik allerdings ausgelassen.

Capecitabin und Erlotinib werden kontinuierlich verabreicht, Bevacizumab hingegen nur am Beginn jedes Zyklus.

Dosierung DL 4:

- CCB: 900 mg/m², zwei mal täglich, peroral
- ERL: 100 mg, einmal täglich, peroral
- BVC: 5 mg/kg, am ersten Tag jedes 14-tägigen Zyklus, intravenös

Dosierung DL 7:

- CCB: 800 mg/m², zwei mal täglich, peroral
- ERL: 150 mg, einmal täglich, peroral
- BVC: 5 mg/kg, am ersten Tag jedes 14-tägigen Zyklus, intravenös

Tab. 3: Studiendesign von Studie B

| Zyklus | 1 | | 2 | | 3 | |
|--------|-----|-----|-----|-----|-----|-----|
| Woche | 1 | 2 | 3 | 4 | 5 | 6 |
| DL 4 | CCB | CCB | CCB | CCB | CCB | CCB |
| | ERL | ERL | ERL | ERL | ERL | ERL |
| | BVC | | BVC | | BVC | |
| DL 7 | CCB | CCB | CCB | CCB | CCB | CCB |
| | ERL | ERL | ERL | ERL | ERL | ERL |
| | BVC | | BVC | | BVC | |

| | | |
|------|-----|--|
| DL 4 | CCB | 900 mg/m ² , 2 x täglich, peroral |
| | ERL | 100 mg, 1 x täglich, peroral |
| | BVC | 5 mg/kg, am 1. Tag jedes 14-tägigen Zyklus, intravenös über 2h |
| DL 7 | CCB | 800 mg/m ² , 2 x täglich, peroral |
| | ERL | 150 mg, 1 x täglich, peroral |
| | BVC | 5 mg/kg, am 1. Tag jedes 14-tägigen Zyklus, intravenös über 2h |

Die Blutabnahme erfolgt nach Dosiseinnahme halbstündlich. Nach drei Stunden wird nur mehr stündlich Blut abgenommen. Insgesamt werden zehn Werte ermittelt.

Tab. 4: Blutnahmeschema von Studie B

| Blutnahmeschema |
|-----------------|
| 0 min. |
| 30 min. |
| 60 min. |
| 90 min. |
| 120 min. |
| 150 min. |
| 180 min. |
| 240 min. |
| 300 min. |
| 360 min. |

3.3 Patientendaten

- Studie A

Tab. 5: Patientencharakteristik von Studie A

| | Arm A | | Arm B | |
|---------------------|--|-----------|-----------|-----------|
| | Patient 1 | Patient 4 | Patient 2 | Patient 3 |
| Alter | 70 | 69 | 71 | 71 |
| Geschlecht | ♀ | ♂ | ♀ | ♂ |
| Gewicht [kg] | 58 | 81.5 | 72 | 57.5 |
| Größe [cm] | 170 | 173 | 164 | 182 |
| Diagnose | Fortgeschrittenes Kolorektalkarzinom mit K-RAS "Wildtyp" Mutation | | | |

- Studie B

Tab. 6: Patientencharakteristik von Studie B

| | DL 4 | | | DL 7 | |
|---|------------------------------------|------------|------------|------------|------------|
| | Patient 27 | Patient 28 | Patient 29 | Patient 30 | Patient 31 |
| Alter | 60 | 69 | 59 | 70 | 69 |
| Geschlecht | ♂ | ♂ | ♂ | ♂ | ♂ |
| Gewicht [kg] | 78 | 97 | 70 | 72.5 | 60 |
| Größe [cm] | 178 | 183 | 186 | 174.5 | 179 |
| Körperoberfläche [m²] | 1.96 | 2.19 | 1.39 | 1.88 | 1.76 |
| Ethnische Herkunft | Kaukasier | | | | |
| Diagnose | Fortgeschrittenes Pankreaskarzinom | | | | |

3.4 Probenanalytik

3.4.1 Laborausstattung



Abb. 4: VWR® HITACHI Chromaster HPLC-Anlage

Tab. 7: Parameter des HPLC-Systems

| VWR® HITACHI Chromaster HPLC-System | | |
|-------------------------------------|---|---|
| | CCB (isokratisch) | DFCR/DFUR (Gradient) |
| Vorsäule | | LiChroCART® 4-4 LiChrospher® 100 RP-18 (5µm) |
| Trennsäule | EcoCart® 125-3 LiChrospher® 100 RP-18e (5µm) (Merck KGaA) | Discovery® RP Amide C16 (15cm x 4.6mm, 5µm) (SUPELCO® Analytical) |
| Säulenofen | | 5310 |
| Säulentemperatur | | 36°C |
| Eluent | MeOH/Aqua bidest. (50/50%, v/v) | A: Ammonacetat/MeOH (90/10%, v/v) B: Ammonacetat/MeOH (10/90%, v/v) |
| Flussrate | | 0.8 ml/min. |
| Druck | | ~ 55-60 bar |
| Injektionsvolumen | 10 µl | 30 µl |
| Wellenlänge | 240 nm | 280 nm |
| UV Detektor | | 5410 |
| Analysenzeit | 10 min. | 30 min. |
| Retentionszeiten | ~ 5.4 min. | DFCR: ~ 5.5 min. DFUR: ~ 6.2 min. |
| Pumpe | | 5110 |
| Auto Sampler | | 5210 |
| Software | | Chromaster |

Tab. 8: Verwendete Geräte und Materialien

| Geräte & Materialien | Bezeichnung | Hersteller |
|----------------------|--|-------------------------------------|
| Analysenwaage | Sartorius handy H110 | Sartorius Mechatronics Austria GmbH |
| Heizblock | DRI-BLOCK® DB 2A | Techne |
| Kartuschen | Oasis® HLB 1cc, 30mg sorbent, 30µm particle size | Waters Corporation |
| Magnetrührer | MR 3001 K | Heidolph Instruments GmbH & Co. KG |
| Mikropipetten | eppendorf Research; 2-20µl, 100-1000µl | Eppendorf AG |
| Mini-Shaker | Vortex Mixer | VELP® SCIENTIFICA |
| Pipettenspitzen | Universal; gelb (2-200µl), blau (50-1000µl) | VWR® INTERNATIONAL |
| Ultraschallbad | BANDELIN SONOREX RK 510 | BANDELIN electronic GmbH & Co. KG |
| Vakuumkammer | Vakuum-Festphasen-Extraktionseinheit | ALLTECH |
| Vials | 2-SV(A) | CHROMACOL® |
| Zentrifuge (groß) | Labofuge 400 FUNCTION Line | Heraeus INSTRUMENTS GmbH |
| Zentrifuge (klein) | Galaxy 16DH | VWR® INTERNATIONAL |

Tab. 9: Verwendete Chemikalien und Reagentien

| Chemikalien & Reagentien | Hersteller |
|--------------------------|---|
| Ammonacetat | ALDRICH® Chemie |
| Aqua bidest. | Department für Pharmakognosie, Universität Wien |
| Methanol | Merck KGaA |

| |
|--|
| Ammonacetat in Aqua bidest./MeOH (10/90%, v/v) |
| Ammonacetat in Aqua bidest./MeOH (90/10%, v/v) |
| Aqua bidest./MeOH (95/5%, v/v) |
| Aqua bidest./MeOH (50/50%, v/v) |

3.4.2 Probenvorbereitung

3.4.2.1 Quantifizierung von Capecitabin

Eichgerade

CCB liegt in Form eines Pulvers vor. Zur Herstellung der Standardlösung wird ca. 1 mg dieses Pulvers in Aqua bidest. gelöst. Die Menge an Aqua bidest. richtet sich nach der Einwaage des Pulvers, sodass eine Standardlösung mit einer Konzentration von 1 mg/ml entsteht. Anschließend wird die Standardlösung auf Eppendorfgefäß aufgeteilt und bei -80°C eingefroren.

3 Experimenteller Teil

20 µl dieser Lösung werden zu 1980 µl Plasma dazugegeben und gut gemischt. Daraus ergibt sich eine Konzentration von 10 µg/ml. Davon wird 1 ml entnommen und in eine Eprouvette pipettiert, in der bereits 1 ml Plasma vorgelegt wurde. Dies wiederum ergibt eine Konzentration von 5 µg/ml. Diese Verdünnungsschritte werden so lange wiederholt, bis man eine Konzentration von 0,156 µg/ml erreicht.

Konzentrationen: 10,000 µg/ml CCB

5,000 µg/ml CCB (= 1 ml 10,000 µg/ml + 1 ml Plasma)

2,500 µg/ml CCB (= 1 ml 5,000 µg/ml + 1 ml Plasma)

1,250 µg/ml CCB (= 1 ml 2,500 µg/ml + 1 ml Plasma)

0,625 µg/ml CCB (= 1 ml 1,250 µg/ml + 1 ml Plasma)

0,312 µg/ml CCB (= 1 ml 0,625 µg/ml + 1 ml Plasma)

0,156 µg/ml CCB (= 1 ml 0,312 µg/ml + 1 ml Plasma)

Festphasenextraktion

Durchführung:

- Mischen der Proben am Vortex Mixer
- Aufstecken der Kartuschen auf die Vakuum-Festphasen-Extraktionseinheit
- Anlegen eines Vakuums von -300 mbar (-30 kPa)
- Aktivierung der Kartuschen mit 1,0 ml Methanol
- Vorkonditionierung mit 1,0 ml Aqua bidest.
- Auftragen von 0,9 ml Probe
- Waschen der Kartuschen mit 0,9 ml Aqua bidest./MeOH (95/5%, v/v)
- Elution von CCB mit 0,9 ml MeOH, wobei die Kartuschen auf Eprouvetten aufgesetzt werden
- Zentrifugieren der Eluate für drei Minuten bei 1000 U/min
- Vortexen der Eluate
- Überführen der Eluate in Vials

Die Patientenproben werden nach dem gleichen Schema wie die Proben für die Eichgerade festphasenextrahiert. Zuvor müssen diese aus dem Tiefkühlschrank (-80°C) genommen und im Dri-Block® bei 37°C aufgetaut werden.

Die mittels HPLC-Analyse ermittelten Daten werden anschließend graphisch dargestellt. Es besteht ein Zusammenhang zwischen der Konzentration und der Peakfläche, der in folgender Gleichung dargestellt werden kann: $y = kx + d$.

Die Variable y beschreibt die Peakfläche, k (= slope) steht für die Steigung der Geraden, x für die Konzentration und d ist der Abschnitt auf der y -Achse ($d = 0$, wenn die Gerade durch den Nullpunkt geht).

Mit Hilfe der Eichgerade kann man durch Umwandlung der oben genannten Formel in $x = y/k$ die Konzentrationen von CCB in den Patientenproben ermitteln.

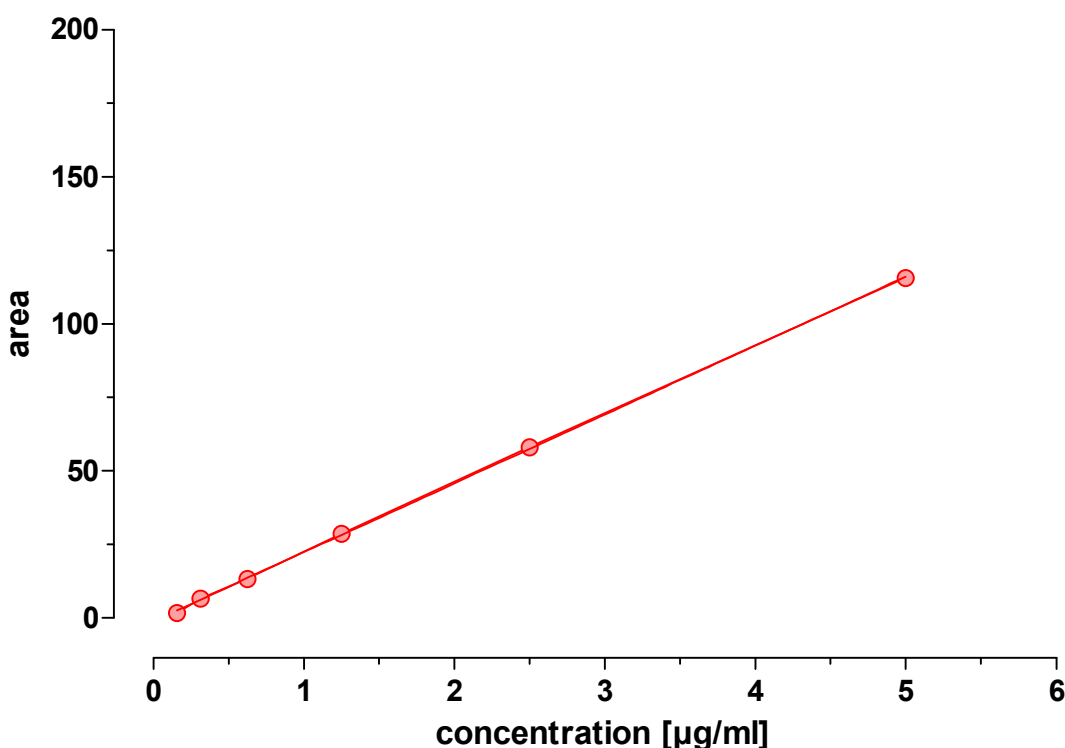


Abb. 5: Eichgerade von Capecitabin

Tab. 10: Statistische Parameter der Eichgerade von Capecitabin

| | CCB |
|---|---------------------|
| Best-fit values | |
| Slope | 23.42 ± 0.1617 |
| Y-intercept when X=0.0 | -1.087 ± 0.3811 |
| X-intercept when Y=0.0 | 0.04641 |
| 1/slope | 0.0427 |
| 95% Confidence Intervals | |
| Slope | 22.97 to 23.87 |
| Y-intercept when X=0.0 | -2.145 to -0.02894 |
| X-intercept when Y=0.0 | 0.001252 to 0.09039 |
| Goodness of Fit | |
| r^2 | 0.9998 |
| Sy.x | 0.6702 |
| Is slope significantly non-zero? | |
| F | 20980 |
| DFn, DFd | 1.000, 4.000 |
| P value | < 0.0001 |
| Deviation from zero? | Significant |
| Data | |
| Number of X values | 6 |
| Maximum number of Y replicates | 1 |
| Total number of values | 6 |
| Number of missing values | 0 |
| Runs test | |
| Points above line | 3 |
| Points below line | 3 |
| Number of runs | 5 |
| P value (runs test) | 0.9 |
| Deviation from linearity | Not Significant |

3.4.2.2 Quantifizierung von DFCR und DFUR

Eichgerade

Die Metaboliten liegen jeweils in Form eines Pulvers vor. Zur Herstellung der Standardlösungen wird ca. 1 mg des jeweiligen Pulvers in Aqua bidest. gelöst. Die Menge an Aqua bidest. richtet sich nach der Einwaage des Pulvers, sodass jede der beiden Standardlösungen eine Konzentration von 1 mg/ml besitzt. Anschließend werden die Standardlösungen auf Eppendorfgefäß aufgeteilt und bei -80°C eingefroren.

Je 20 µl dieser Lösungen werden zu 1960 µl Plasma dazugegeben und gut gemischt. Daraus ergibt sich eine Konzentration von 10 µg/ml. Davon wird 1 ml entnommen und in eine Eprouvette pipettiert, in der bereits 1 ml Plasma vorgelegt wurde. Dies wiederum ergibt eine

Konzentration von 5 µg/ml. Diese Verdünnungsschritte werden so lange wiederholt, bis man eine Konzentration von 0,156 µg/ml erreicht.

Konzentrationen: 5,000 µg/ml DFCR + DFUR

2,500 µg/ml DFCR + DFUR (= 1 ml 5,000 µg/ml + 1 ml Plasma)

1,250 µg/ml DFCR + DFUR (= 1 ml 2,500 µg/ml + 1 ml Plasma)

0,625 µg/ml DFCR + DFUR (= 1 ml 1,250 µg/ml + 1 ml Plasma)

0,312 µg/ml DFCR + DFUR (= 1 ml 0,625 µg/ml + 1 ml Plasma)

0,156 µg/ml DFCR + DFUR (= 1 ml 0,312 µg/ml + 1 ml Plasma)

Festphasenextraktion

Durchführung:

- Mischen der Proben am Vortex Mixer
- Aufstecken der Kartuschen auf die Vakuum-Festphasen-Extraktionseinheit
- Anlegen eines Vakuums von -300 mbar (-30 kPa)
- Aktivierung der Kartuschen mit 1,0 ml Methanol
- Vorkonditionierung mit 1,0 ml Aqua bidest.
- Auftragen von 0,9 ml Probe
- Elution von DFCR und DFUR mit 0,9 ml Aqua bidest./MeOH (95/5%, v/v), wobei die Kartuschen auf Eprouetten aufgesetzt werden
- Zentrifugieren der Eluate für drei Minuten bei 1000 U/min
- Vortexen der Eluate
- Überführen der Eluate in Vials

Die Patientenproben werden nach dem gleichen Schema wie die Proben für die Eichgerade festphasenextrahiert. Zuvor müssen diese aus dem Tiefkühlschrank (-80°C) genommen und im Dri-Block® bei 37°C aufgetaut werden.

Die mittels HPLC-Analyse ermittelten Daten werden anschließend graphisch dargestellt. Es besteht ein Zusammenhang zwischen der Konzentration und der Peakfläche, der in folgender Gleichung dargestellt werden kann: $y = kx + d$.

Die Variable y beschreibt die Peakfläche, k (=slope) steht für die Steigung der Geraden, x für die Konzentration und d ist der Abschnitt auf der y-Achse ($d = 0$, wenn die Gerade durch den Nullpunkt geht).

Mit Hilfe der Eichgerade kann man durch Umwandlung der oben genannten Formel in $x = y/k$ die Konzentrationen von DFCR und DFUR in den Patientenproben ermitteln.

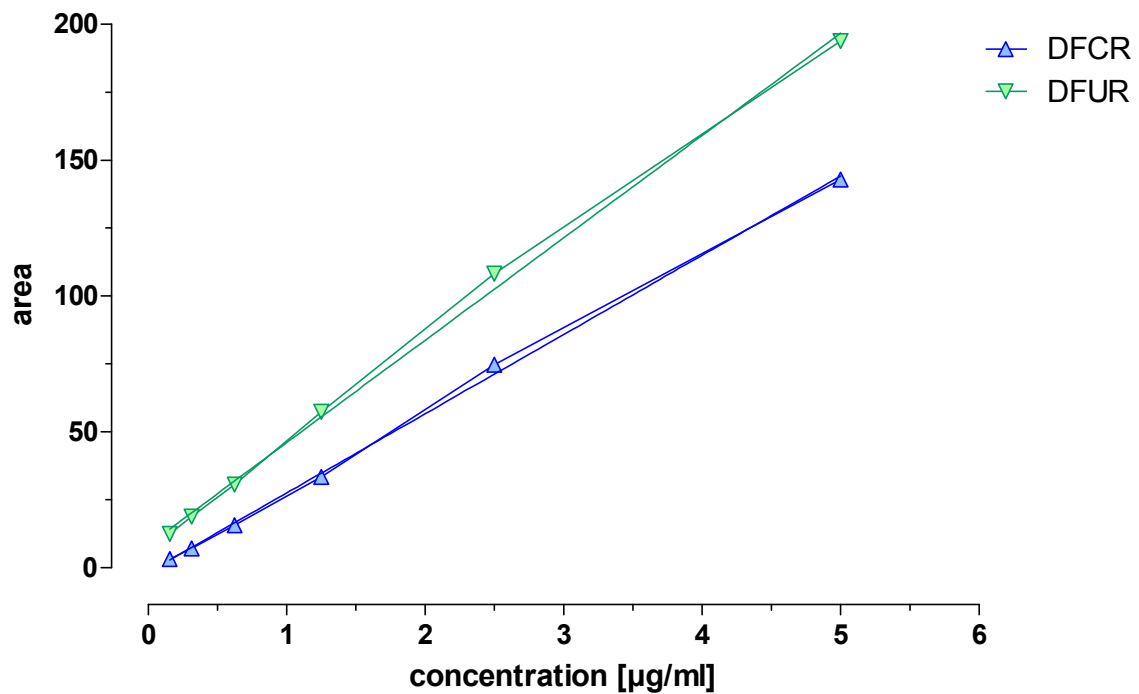


Abb. 6: Eichgeraden von DFCR und DFUR

Tab. 11: Statistische Parameter der Eichgeraden von DFCR und DFUR

| | DFCR | DFUR |
|---|--------------------|---------------------|
| Best-fit values | | |
| Slope | 29.18 ± 0.4911 | 37.68 ± 0.8558 |
| Y-intercept when X=0.0 | -1.717 ± 1.157 | 8.353 ± 2.017 |
| X-intercept when Y=0.0 | 0.05886 | -0.2217 |
| 1/slope | 0.03427 | 0.02654 |
| 95% Confidence Intervals | | |
| Slope | 27.82 to 30.54 | 35.30 to 40.06 |
| Y-intercept when X=0.0 | -4.930 to 1.496 | 2.754 to 13.95 |
| X-intercept when Y=0.0 | -0.05300 to 0.1638 | -0.3882 to -0.06999 |
| Goodness of Fit | | |
| r ² | 0.9989 | 0.9979 |
| Sy.x | 2.036 | 3.547 |
| Is slope significantly non-zero? | | |
| F | 3530 | 1939 |
| DFn, DFd | 1.000, 4.000 | 1.000, 4.000 |
| P value | < 0.0001 | < 0.0001 |
| Deviation from zero? | Significant | Significant |
| Data | | |
| Number of X values | 6 | 6 |
| Maximum number of Y replicates | 1 | 1 |
| Total number of values | 6 | 6 |
| Number of missing values | 0 | 0 |
| Runs test | | |
| Points above line | 2 | 2 |
| Points below line | 4 | 4 |
| Number of runs | 4 | 3 |
| P value (runs test) | 0.8 | 0.4 |
| Deviation from linearity | Not Significant | Not Significant |

3.4.2.3 Herstellung der Eluenten

- CCB

Aqua bidest. und Methanol werden im Verhältnis 50 + 50 % (v/v) gemischt, einige Minuten am Magnetrührer gerührt und 90 Minuten im Ultraschallbad entgast.

- DFCR und DFUR

Für die Analyse der Metaboliten werden zwei Eluenten benötigt.

Eluent A: Ammonacetat in Aqua bidest./MeOH (90/10 %, v/v)

Eluent B: Ammonacetat in Aqua bidest./MeOH (10/90 %, v/v)

0,770 g Ammonacetat werden in 1000 ml Aqua bidest. gelöst und am Magnetrührer gemischt. Daraus entnimmt man 100 ml und ersetzt diese durch 100 ml Methanol. Diese Mischung entspricht dem Eluenten A.

Die zuvor entnommenen 100 ml der Ammonacetat/Aqua bidest.-Mischung werden mit 900 ml Methanol versetzt. Diese Mischung entspricht dem Eluenten B.

Beide Eluenten werden einige Minuten am Magnetrührer gerührt und anschließend 90 Minuten im Ultraschallbad entgast.

3.4.3 Biometrische Berechnungen

Folgende deskriptive statistische Parameter wurden berechnet: Mittelwert, Median, Schiefe, Standardabweichung, Error, Variationskoeffizient, Range, Minimum, Maximum.

Die pharmakokinetische Auswertung von CCB wurde mittels nichtkompartimenteller Datenanalyse durchgeführt.

Die in Tabelle 12 angeführten Parameter wurden ermittelt.

Tab. 12: Berechnete pharmakokinetische Parameter von CCB [18]

| Parameter | Einheit | Definition |
|--------------------|---------------|--|
| Rsq | | Statistische Anpassung an die terminale Eliminationsphase. |
| Corr_XY | | Korrelation zwischen Zeit (X) und log Konzentration (Y) für die in der Lambda z Schätzung verwendeten Punkte. |
| No_points_lambda_z | | Anzahl der für die Berechnung von Lambda z verwendeten Punkte. Wenn Lambda z nicht geschätzt werden kann, entspricht es Null. |
| Lambda_z | 1/min | Geschwindigkeitskonstante erster Ordnung, die mit dem terminalen Teil der Kurve in Zusammenhang steht. Wird geschätzt durch lineare Regression der Zeit vs. log Konzentration. |
| HL_Lambda_z | min | Eliminationshalbwertszeit = $\ln(2)/\lambda_z$ |
| Tmax | min | Zeitpunkt der maximal gemessenen Konzentration. |
| Cmax | ug/ml | Maximal gemessene Konzentration, die bei Tmax auftritt. |
| Tlast | min | Zeitpunkt der letzten messbaren (positiven) Konzentration. |
| Clast | ug/ml | Konzentration bezogen auf Tlast. |
| AUClast | min*ug/ml | Fläche unter der Kurve vom Zeitpunkt der Dosisgabe bis zur letzten messbaren Konzentration. |
| Vz_F_obs | ml | Verteilungsvolumen basierend auf der terminalen Eliminationsphase. = Dosis/($\lambda_z * AUCINF_{obs}$) |
| Cl_F_obs | ml/min | Gesamtkörperclearance bei extravaskulärer Verabreichung. = Dosis/AUCINF_obs |
| AUCINF_pred | min*ug/ml | AUC vom Zeitpunkt der Dosisgabe, basierend auf der zuletzt vorausberechneten Konzentration, extrapoliert gegen Unendlich. = AUClast+(Clast _{pred} / λ_z) |
| AUMClast | min*min*ug/ml | Fläche unter der Momentkurve vom Zeitpunkt der Dosisgabe bis zur letzten messbaren Konzentration. |
| AUMCINF_pred | min*min*ug/ml | AUMC vom Zeitpunkt der Dosisgabe, basierend auf der zuletzt vorausberechneten Konzentration, extrapoliert gegen Unendlich. = AUMClast+[(Tlast*Clast _{pred})/ λ_z]+(Clast _{pred} / λ_z^2) |
| MRTlast | min | Mittlere Verweildauer vom Zeitpunkt der Dosisgabe bis zur letzten messbaren Konzentration. |
| MRTINF_pred | min | Mittlere Verweildauer extrapoliert gegen Unendlich. |

Die pharmakokinetische Auswertung der Metaboliten wurde ebenfalls mittels nichtkompartimenteller Datenanalyse durchgeführt. Aufgrund der fehlenden Dosis konnten nur die in Tabelle 13 angeführten Parameter ermittelt werden.

Tab. 13: Berechnete pharmakokinetische Parameter der Metaboliten [18]

| Parameter | Einheit | Definition |
|-----------|-----------|---|
| Tmax | min | Zeitpunkt der maximal gemessenen Konzentration. |
| Cmax | ug/ml | Maximal gemessene Konzentration, die bei Tmax auftritt. |
| AUClast | min*ug/ml | Fläche unter der Kurve vom Zeitpunkt der Dosisgabe bis zur letzten messbaren Konzentration. |

3.4.4 Software

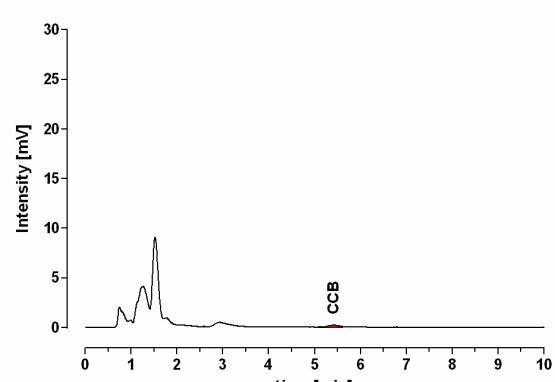
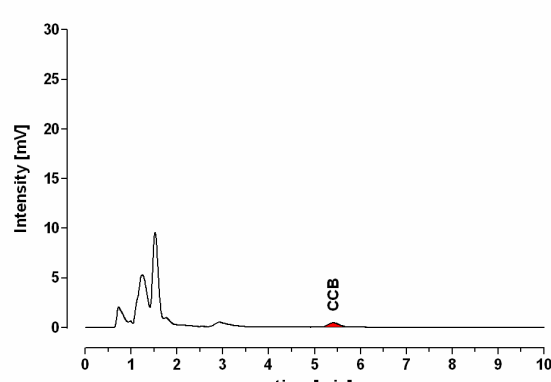
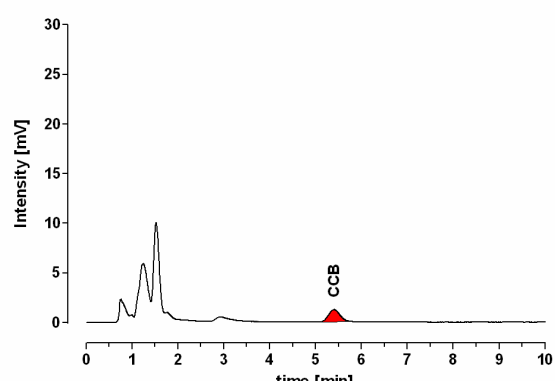
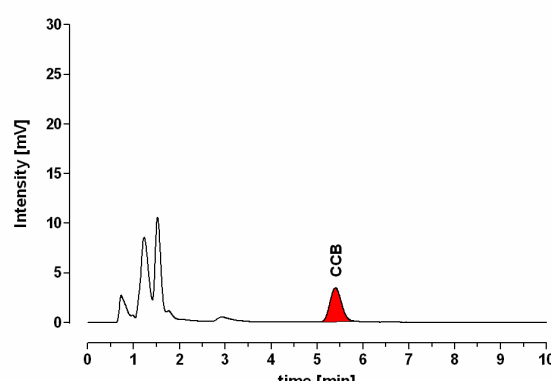
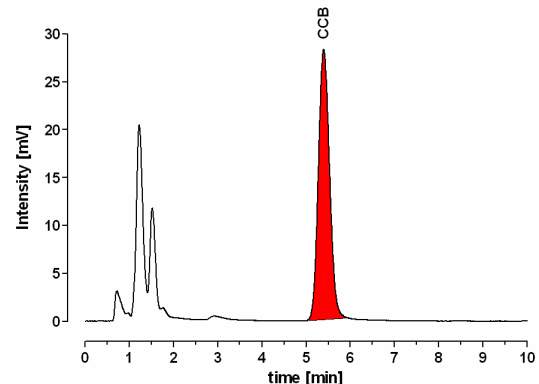
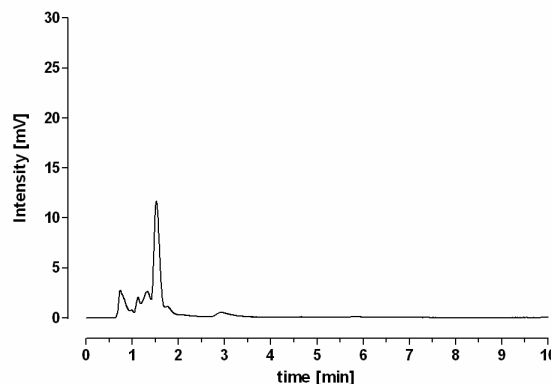
Folgende Programme wurden zur Auswertung der Daten verwendet:

- Microsoft® Office Excel 2010: Erstellung von Tabellen, Durchführung von Berechnungen
- Microsoft® Office Word 2010: Erstellen der vorliegenden Diplomarbeit
- Microsoft® Office Paint 2010: Bearbeiten von Chromatogrammen
- GraphPad Prism® 5.00: Berechnung und graphische Darstellung der Rohdaten
- Phoenix™ WinNonlin® 6.0: Ermittlung der pharmakokinetischen Parameter
- ACD/ChemSketch® 12.0: Erstellen von chemischen Strukturen

4 ERGEBNISSE

4.1 Veranschaulichung des Therapieverlaufes anhand von Chromatogrammen

CCB im Verlauf der Therapie



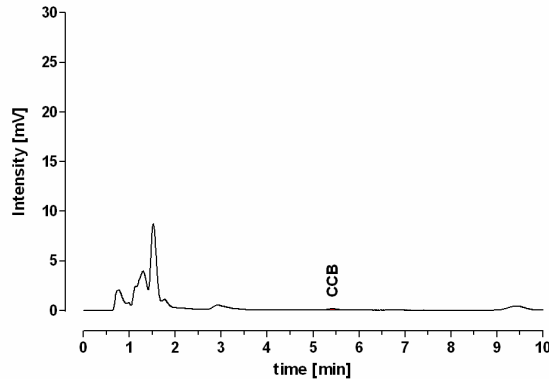


Abb. 13: Tag 1, 180 min.

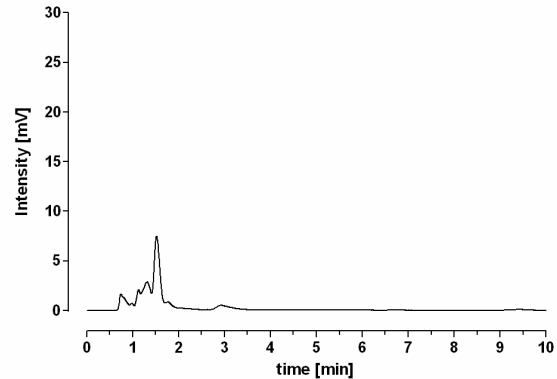


Abb. 14: Tag 1, 240 min.

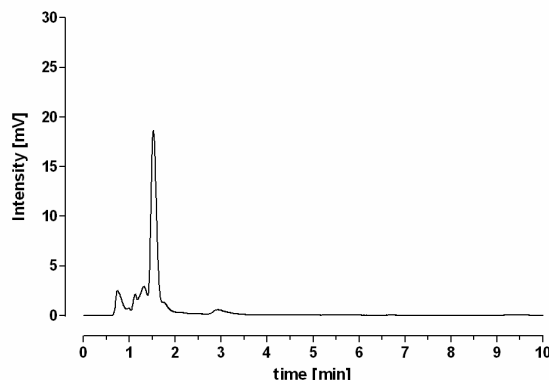


Abb. 15: Tag 1, 300 min.

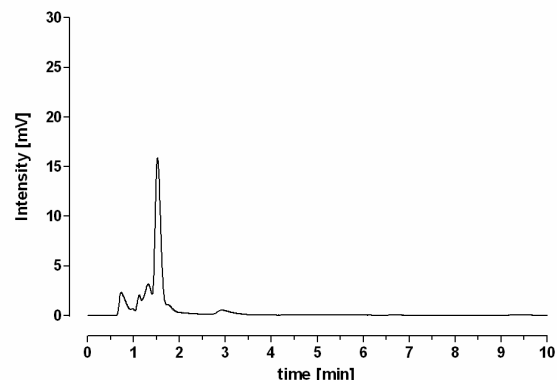


Abb. 16: Tag 1, 360 min.

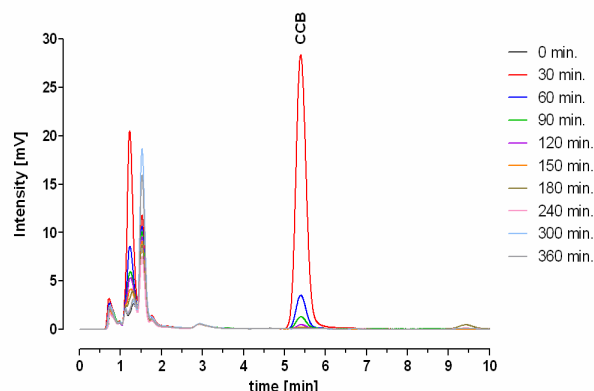


Abb. 17: Tag 1, 0 - 360 min.

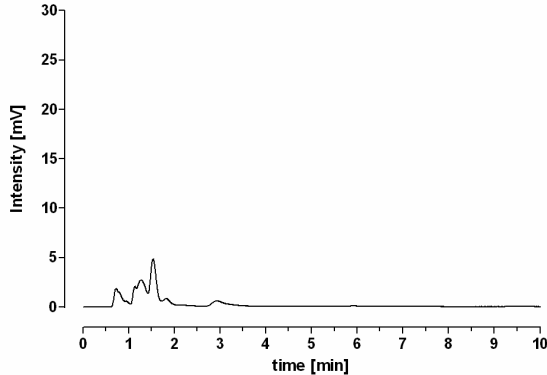


Abb. 18: Tag 5, 0 min.

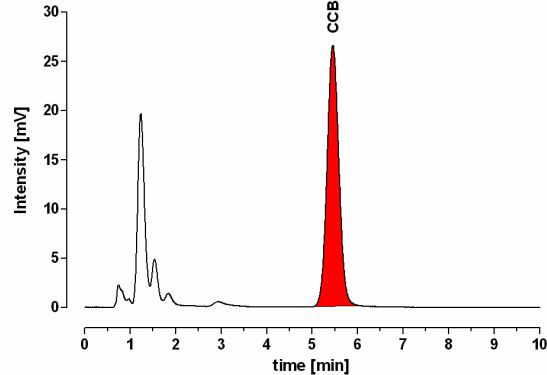


Abb. 19: Tag 5, 30 min.

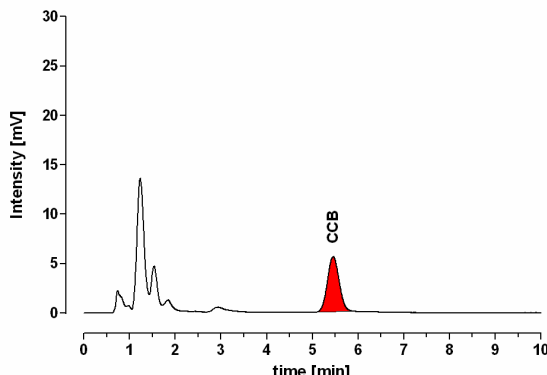


Abb. 20: Tag 5, 60 min.

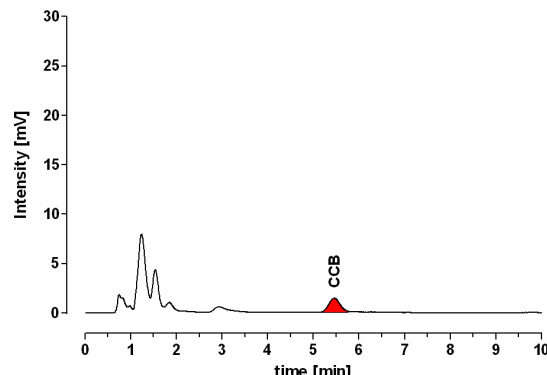


Abb. 21: Tag 5, 90 min.

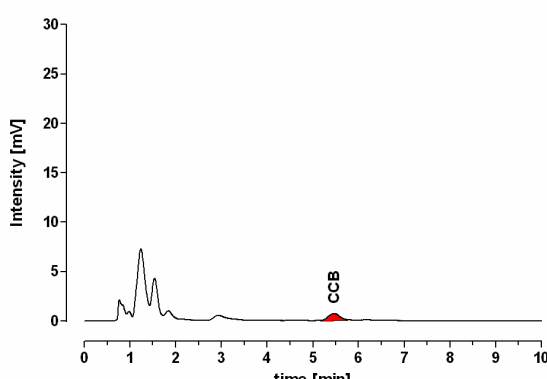


Abb. 22: Tag 5, 120 min.

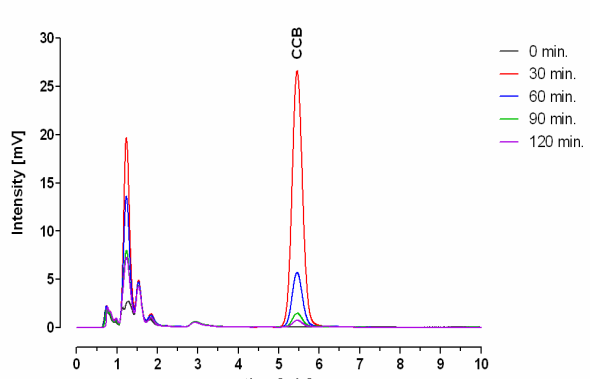


Abb. 23: Tag 5, 0 - 120 min.

Metaboliten im Verlauf der Therapie

Für eine bessere Veranschaulichung der Chromatogramme werden nur zehn Minuten der Laufzeit dargestellt, obwohl diese normalerweise 30 Minuten beträgt.

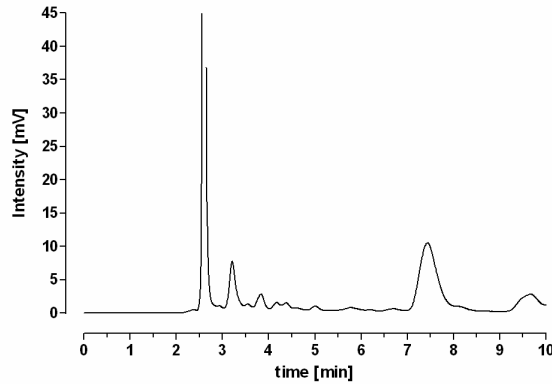


Abb. 24: Tag 1, 0 min.

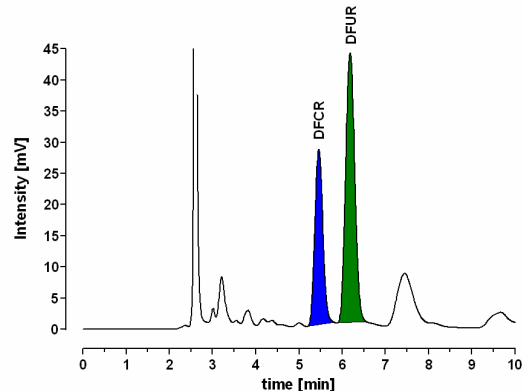


Abb. 25: Tag 1, 30 min.

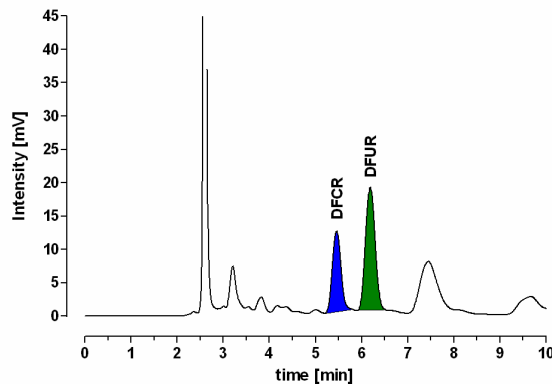


Abb. 26: Tag 1, 60 min.

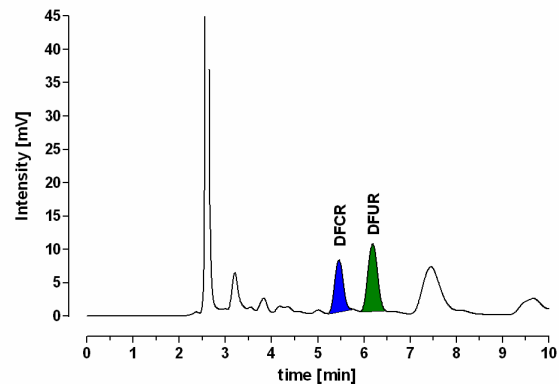


Abb. 27: Tag 1, 90 min.

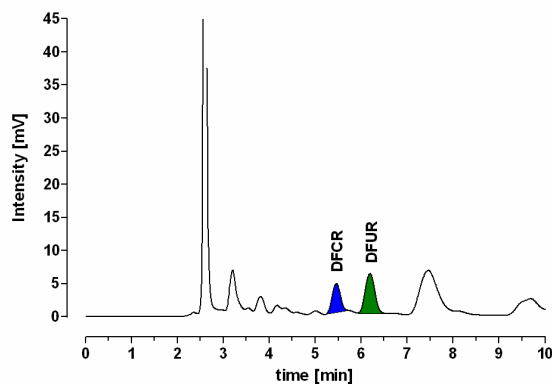


Abb. 28: Tag 1, 120 min.

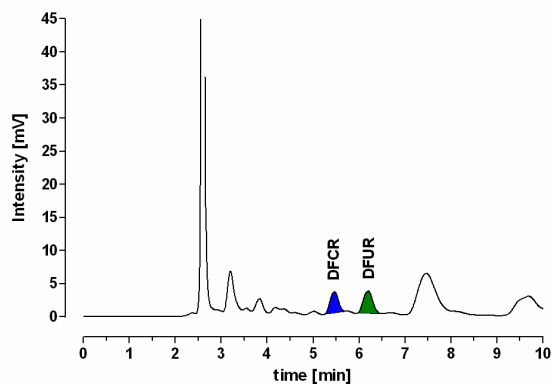


Abb. 29: Tag 1, 150 min.

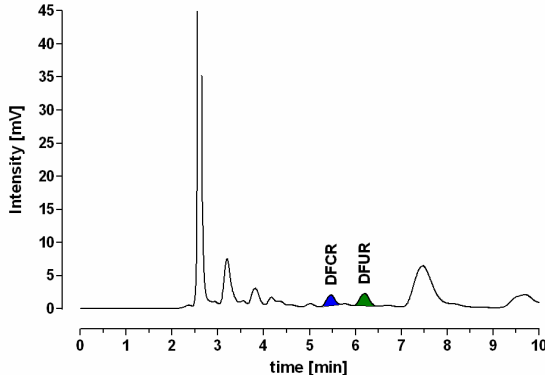


Abb. 30: Tag 1, 180 min.

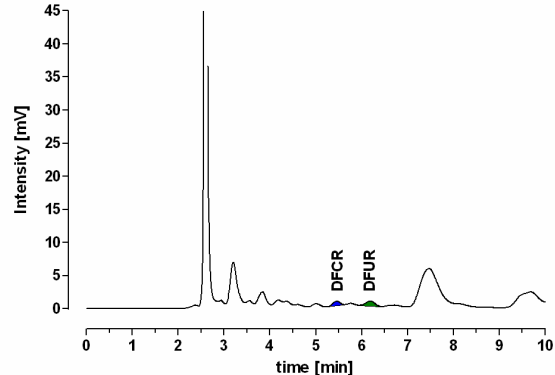


Abb. 31: Tag 1, 240 min.

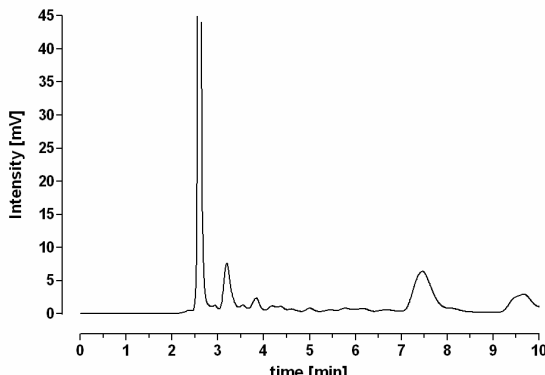


Abb. 32: Tag 1, 300 min.

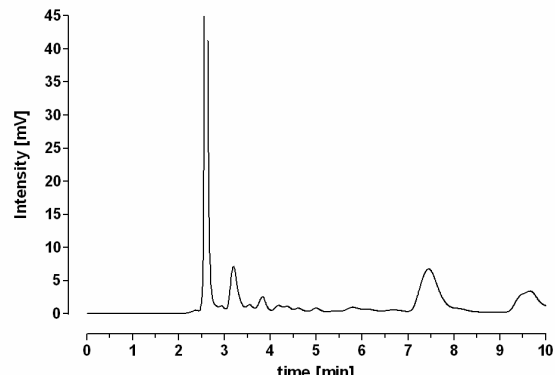


Abb. 33: Tag 1, 360 min.

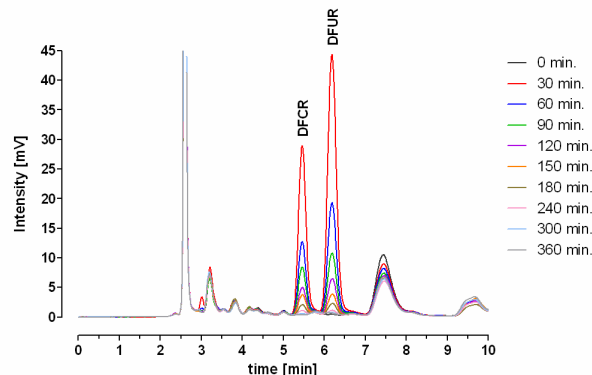


Abb. 34: Tag 1, 0 - 360 min.

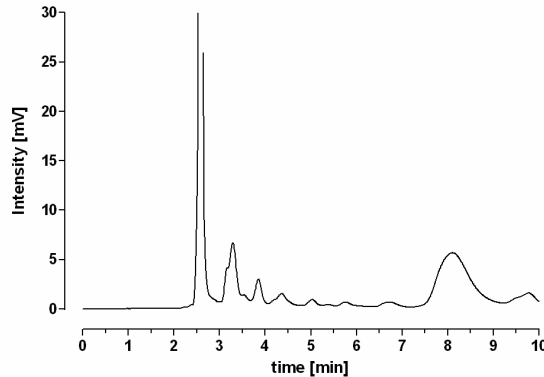


Abb. 35: Tag 5, 0 min.

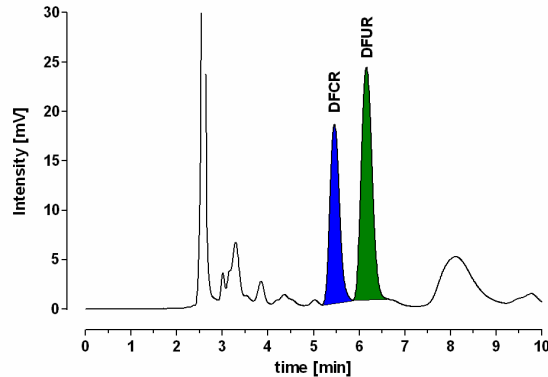


Abb. 36: Tag 5, 30 min.

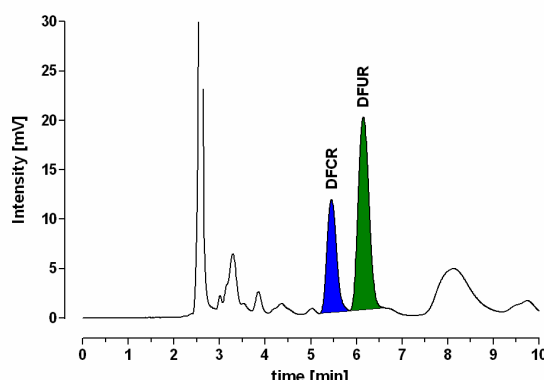


Abb. 37: Tag 5, 60 min.

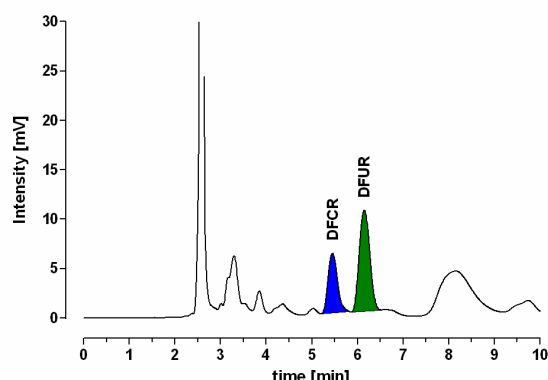


Abb. 38: Tag 5, 90 min.

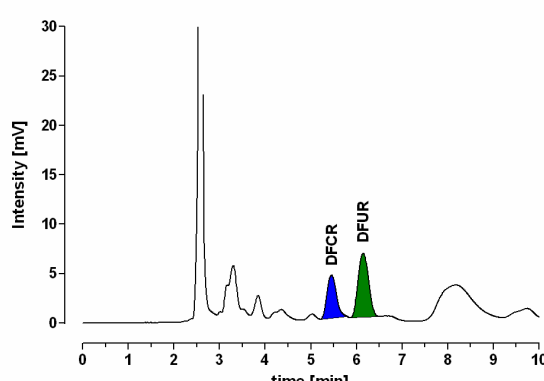


Abb. 39: Tag 5, 120 min.

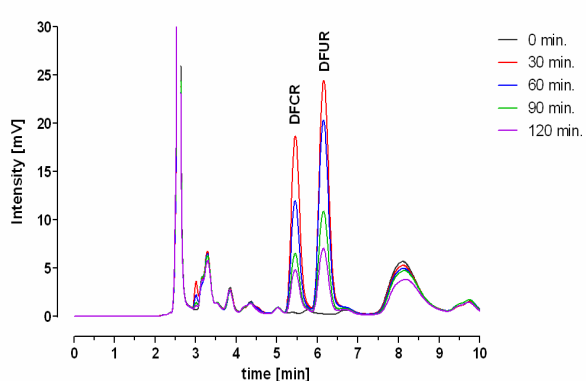


Abb. 40: Tag 5, 0 - 120 min.

4.2 Rohdaten und Plasmakonzentrations-Zeit-Kurven

4.2.1 Studie A

4.2.1.1 Patient 1

Tab. 14: Patient 1, Woche 1: Konzentrationen von CCB, DFCR & DFUR

| Woche 1 | Zeit [min] | CCB [$\mu\text{g}/\text{ml}$] | DFCR [$\mu\text{g}/\text{ml}$] | DFUR [$\mu\text{g}/\text{ml}$] | Summe [$\mu\text{g}/\text{ml}$] |
|---------|------------|---------------------------------|----------------------------------|----------------------------------|-----------------------------------|
| Tag 1 | 0 | 0.0000 | 0.0000 | 0.3450 | 0.3450 |
| | 30 | 0.4782 | 0.1131 | 0.2654 | 0.8567 |
| | 60 | 3.5781 | 2.0117 | 0.1672 | 5.7570 |
| | 90 | 6.8702 | 4.5236 | 0.4114 | 11.8052 |
| | 120 | 4.6712 | 4.4106 | 0.2442 | 9.3259 |
| | 150 | 1.7421 | 2.9335 | 0.4193 | 5.0949 |
| | 180 | 0.3160 | 1.3297 | 0.3317 | 1.9774 |
| | 240 | | 0.4181 | 0.7378 | 1.1559 |
| | 300 | | 0.0788 | 0.7962 | 0.8750 |
| | 360 | | | 1.3933 | 1.3933 |
| Tag 5 | 0 | 0.0000 | 0.0000 | 0.6024 | 0.6024 |
| | 30 | 29.5303 | 5.8499 | 0.3317 | 35.7120 |
| | 60 | 5.1110 | 4.3900 | 0.7378 | 10.2388 |
| | 90 | 1.4646 | 1.9088 | 1.2128 | 4.5862 |
| | 120 | 0.4953 | 1.1618 | 1.6348 | 3.2919 |

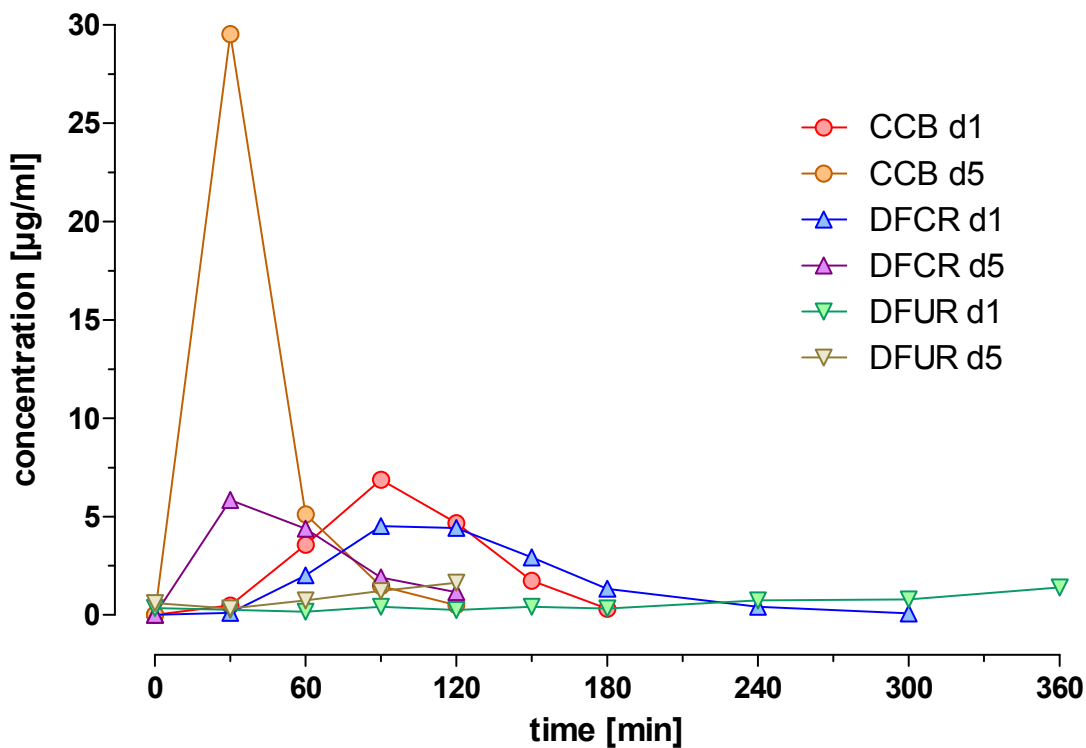


Abb. 41: Patient 1, Woche 1: Plasmakonzentrations-Zeit-Kurven von CCB, DFCR & DFUR

Tab. 15: Patient 1, Woche 4: Konzentrationen von CCB, DFCR & DFUR

| Woche 4 | Zeit [min] | CCB [$\mu\text{g}/\text{ml}$] | DFCR [$\mu\text{g}/\text{ml}$] | DFUR [$\mu\text{g}/\text{ml}$] | Summe [$\mu\text{g}/\text{ml}$] |
|---------|------------|---------------------------------|----------------------------------|----------------------------------|-----------------------------------|
| Tag 1 | 0 | 0.0000 | 0.0000 | 0.6423 | 0.6423 |
| | 30 | 7.3356 | 3.3105 | 0.2760 | 10.9221 |
| | 60 | 13.4885 | 7.9746 | 0.0637 | 21.5268 |
| | 90 | 2.3100 | 4.0336 | 0.3344 | 6.6780 |
| | 120 | 0.5807 | 2.0939 | 0.4246 | 3.0992 |
| | 150 | 0.1281 | 1.1583 | 0.4220 | 1.7084 |
| | 180 | 0.0342 | 0.5963 | 0.3636 | 0.9940 |
| | 240 | | 0.0754 | 0.2893 | 0.3647 |
| | 300 | | 0.0308 | 0.1460 | 0.1768 |
| | 360 | | | 0.1380 | 0.1380 |
| Tag 5 | 0 | 0.0000 | 0.0000 | 0.2813 | 0.2813 |
| | 30 | 15.5252 | 4.6539 | 0.0451 | 20.2242 |
| | 60 | 6.0888 | 5.1988 | 0.0504 | 11.3380 |
| | 90 | 1.3578 | 3.0809 | 0.0372 | 4.4758 |
| | 120 | 0.3587 | 1.4599 | 0.0372 | 1.8557 |

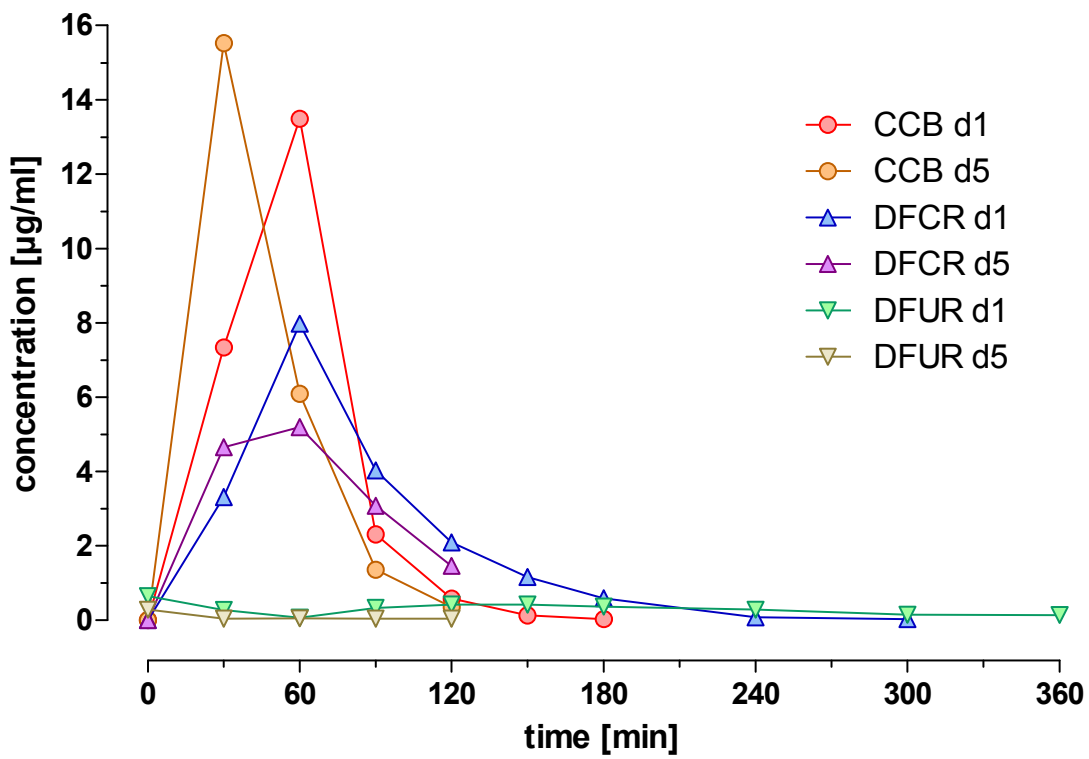


Abb. 42: Patient 1, Woche 4: Plasmakonzentrations-Zeit-Kurven von CCB, DFCR & DFUR

Tab. 16: Patient 1, Woche 7: Konzentrationen von CCB, DFCR & DFUR

| Woche 7 | Zeit [min] | CCB [$\mu\text{g}/\text{ml}$] | DFCR [$\mu\text{g}/\text{ml}$] | DFUR [$\mu\text{g}/\text{ml}$] | Summe [$\mu\text{g}/\text{ml}$] |
|---------|------------|---------------------------------|----------------------------------|----------------------------------|-----------------------------------|
| Tag 1 | 0 | 0.0000 | 0.0000 | 0.0000 | 0.0000 |
| | 30 | 9.0649 | 3.2317 | 7.0727 | 19.3693 |
| | 60 | 11.6140 | 6.2577 | 17.2054 | 35.0771 |
| | 90 | 2.2758 | 4.3968 | 7.5265 | 14.1992 |
| | 120 | 0.6576 | 1.2680 | 3.2192 | 5.1448 |
| | 150 | 0.2861 | 0.4764 | 1.2818 | 2.0443 |
| | 180 | 0.1153 | 0.2193 | 0.6741 | 1.0087 |
| | 240 | | | 0.1460 | 0.1460 |
| | 300 | | | | |
| | 360 | | | | |
| Tag 5 | 0 | 0.0000 | 0.0000 | 0.0000 | 0.0000 |
| | 30 | 0.4697 | 0.1268 | 0.4167 | 1.0131 |
| | 60 | 16.2084 | 3.6326 | 10.1168 | 29.9578 |
| | 90 | 9.7694 | 5.7882 | 14.8567 | 30.4143 |
| | 120 | 2.5875 | 2.6525 | 7.6380 | 12.8780 |

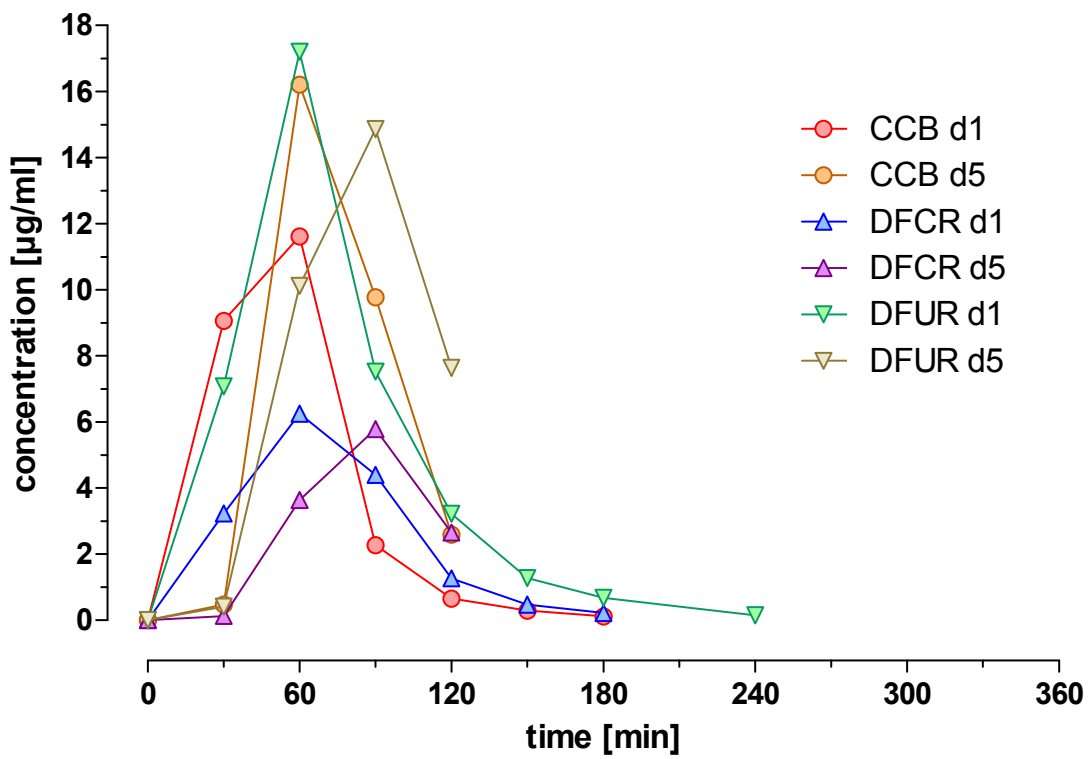


Abb. 43: Patient 1, Woche 7: Plasmakonzentrations-Zeit-Kurven von CCB, DFCR & DFUR

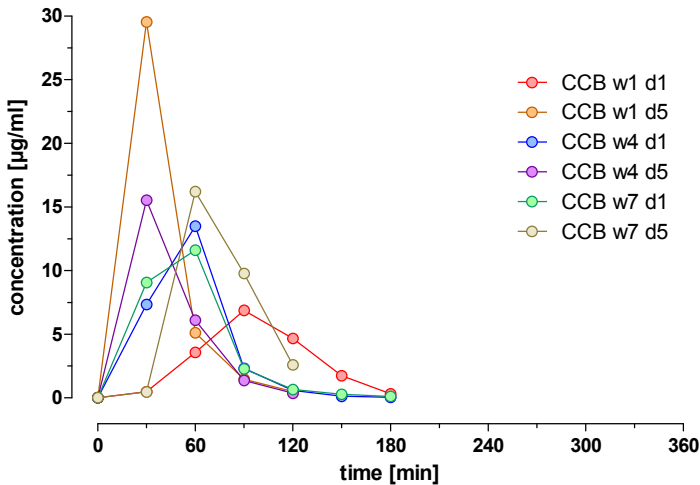


Abb. 44: Patient 1, Vergleich der Wochen: Plasmakonzentrations-Zeit-Kurven von CCB

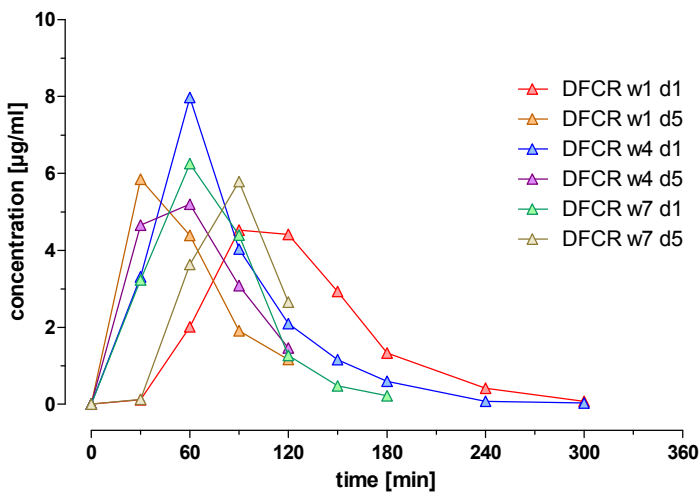


Abb. 45: Patient 1, Vergleich der Wochen: Plasmakonzentrations-Zeit-Kurven von DFCR

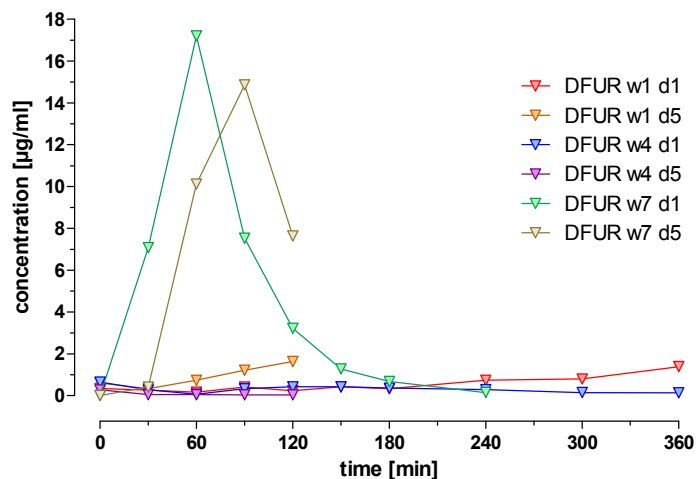


Abb. 46: Patient 1, Vergleich der Wochen: Plasmakonzentrations-Zeit-Kurven von DFUR

4.2.1.2 Patient 2

Tab. 17: Patient 2, Woche 1: Konzentrationen von CCB, DFCR & DFUR

| Woche 1 | Zeit [min] | CCB [$\mu\text{g}/\text{ml}$] | DFCR [$\mu\text{g}/\text{ml}$] | DFUR [$\mu\text{g}/\text{ml}$] | Summe [$\mu\text{g}/\text{ml}$] |
|---------|------------|---------------------------------|----------------------------------|----------------------------------|-----------------------------------|
| Tag 1 | 0 | 0.0000 | 0.0000 | 0.0000 | 0.0000 |
| | 30 | 67.1947 | 9.1604 | 6.7781 | 83.1332 |
| | 60 | 24.7225 | 11.6827 | 10.0345 | 46.4396 |
| | 90 | 9.2997 | 6.2886 | 5.4936 | 21.0819 |
| | 120 | 5.6063 | 4.3009 | 3.5430 | 13.4502 |
| | 150 | 4.1161 | 3.4407 | 2.5425 | 10.0993 |
| | 180 | 2.2844 | 1.8677 | 1.4835 | 5.6356 |
| | 240 | 1.0760 | 0.8362 | 0.6529 | 2.5651 |
| | 300 | 0.9394 | 0.4249 | 0.4512 | 1.8155 |
| | 360 | 0.6533 | | 0.2282 | 0.8815 |
| Tag 5 | 0 | 0.0000 | 0.0000 | 0.0000 | 0.0000 |
| | 30 | 21.5799 | 3.0740 | 2.4602 | 27.1141 |
| | 60 | 44.4449 | 13.6018 | 12.1391 | 70.1858 |
| | 90 | 12.4338 | 11.3845 | 9.8089 | 33.6272 |
| | 120 | 6.0675 | 5.6477 | 5.3424 | 17.0575 |

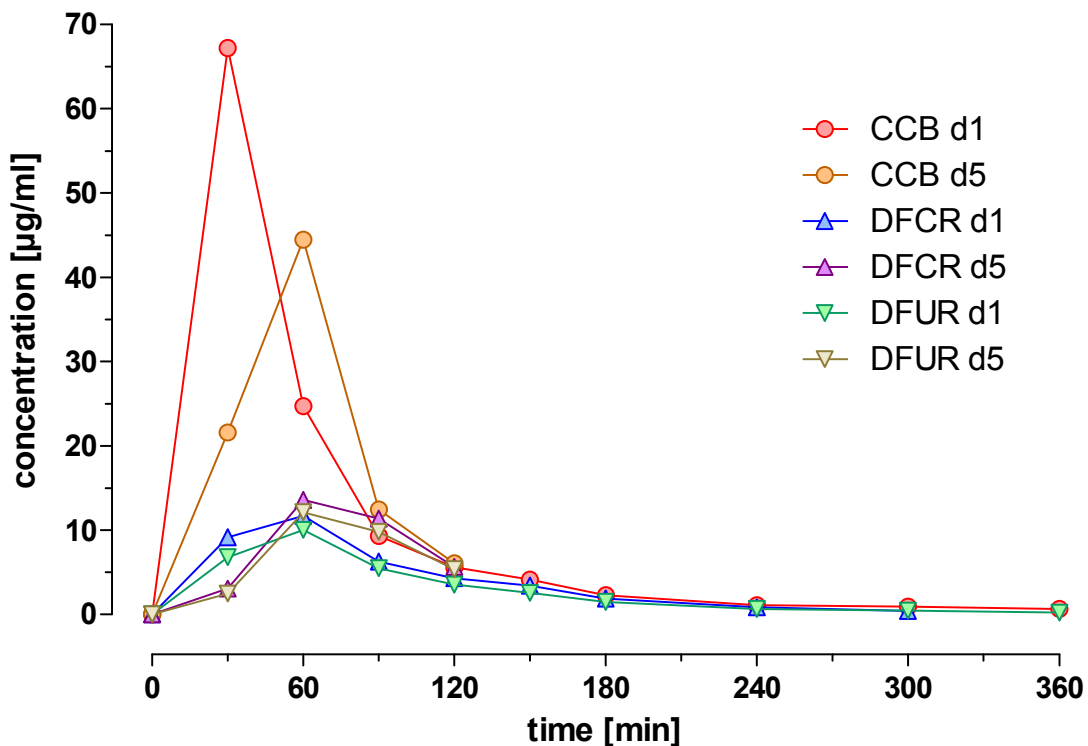


Abb. 47: Patient 2, Woche 1: Plasmakonzentrations-Zeit-Kurven von CCB, DFCR & DFUR

Tab. 18: Patient 2, Woche 4: Konzentrationen von CCB, DFCR & DFUR

| Woche 4 | Zeit [min] | CCB [$\mu\text{g}/\text{ml}$] | DFCR [$\mu\text{g}/\text{ml}$] | DFUR [$\mu\text{g}/\text{ml}$] | Summe [$\mu\text{g}/\text{ml}$] |
|---------|------------|---------------------------------|----------------------------------|----------------------------------|-----------------------------------|
| Tag 1 | 0 | 0.0000 | 0.0000 | 0.0000 | 0.0000 |
| | 30 | 0.5935 | 0.5415 | 0.2707 | 1.4057 |
| | 60 | 1.7250 | 1.4085 | 0.9023 | 4.0359 |
| | 90 | 9.4193 | 3.6326 | 2.7734 | 15.8253 |
| | 120 | 19.2485 | 11.8746 | 10.7086 | 41.8317 |
| | 150 | 7.1605 | 10.2228 | 9.1348 | 26.5181 |
| | 180 | 2.4039 | 6.4016 | 4.6921 | 13.4977 |
| | 240 | 0.3459 | 2.5908 | 1.7091 | 4.6458 |
| | 300 | | 1.1343 | 0.5998 | 1.7341 |
| | 360 | | 0.3770 | 0.2840 | 0.6609 |
| Tag 5 | 0 | 0.0000 | 0.0000 | 0.0000 | 0.0000 |
| | 30 | 57.0367 | 12.4503 | 9.3047 | 78.7917 |
| | 60 | 18.5525 | 11.6724 | 9.8116 | 40.0365 |
| | 90 | | 3.4476 | 2.7574 | 6.2050 |
| | 120 | | 3.0740 | 2.6062 | 5.6802 |

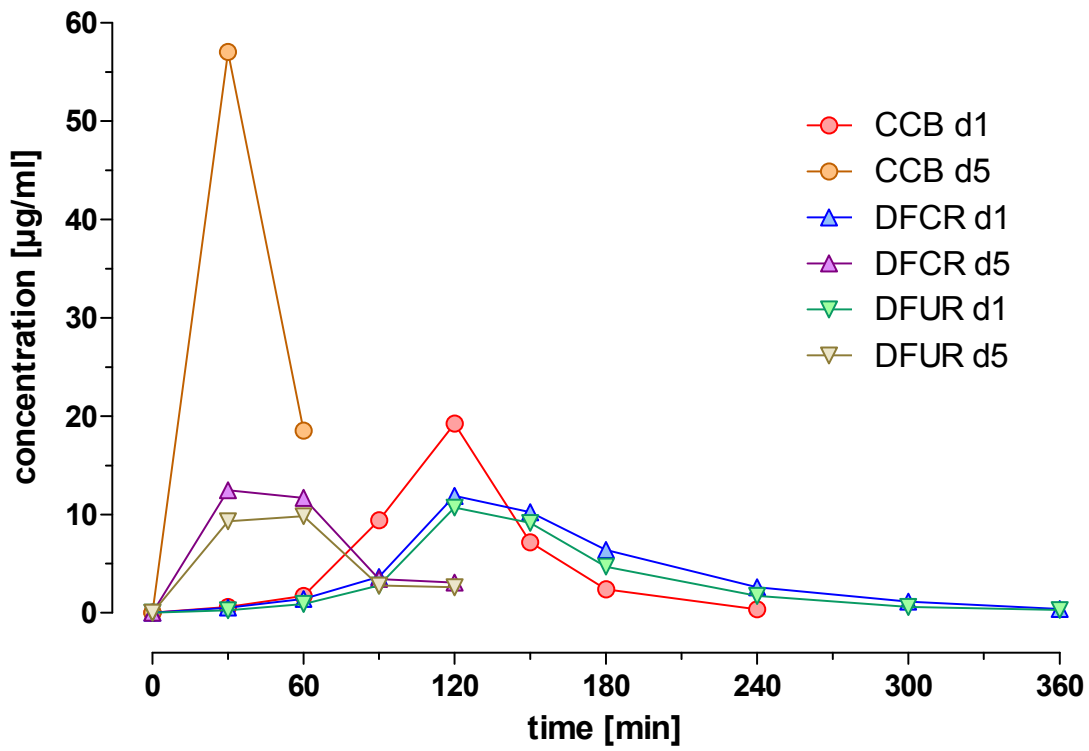


Abb. 48: Patient 2, Woche 4: Plasmakonzentrations-Zeit-Kurven von CCB, DFCR & DFUR

Tab. 19: Patient 2, Woche 7: Konzentrationen von CCB, DFCR & DFUR

| Woche 7 | Zeit [min] | CCB [$\mu\text{g}/\text{ml}$] | DFCR [$\mu\text{g}/\text{ml}$] | DFUR [$\mu\text{g}/\text{ml}$] | Summe [$\mu\text{g}/\text{ml}$] |
|---------|------------|---------------------------------|----------------------------------|----------------------------------|-----------------------------------|
| Tag 1 | 0 | 0.0000 | 0.0000 | 0.0000 | 0.0000 |
| | 30 | 36.8360 | 8.1391 | 5.2150 | 50.1901 |
| | 60 | 11.1571 | 9.2426 | 8.6545 | 29.0542 |
| | 90 | 3.9966 | 7.3611 | 6.1040 | 17.4617 |
| | 120 | 1.9471 | 4.9006 | 3.8615 | 10.7091 |
| | 150 | 1.6055 | 2.9472 | 3.0096 | 7.5623 |
| | 180 | 0.9607 | 2.6251 | 1.9241 | 5.5099 |
| | 240 | 0.3715 | 1.4428 | 0.9766 | 2.7909 |
| | 300 | | 0.5278 | 0.2680 | 0.7958 |
| | 360 | | | | |
| Tag 5 | 0 | 0.0000 | 0.2810 | 0.0000 | 0.2810 |
| | 30 | 1.1571 | 0.6888 | 0.4326 | 2.2785 |
| | 60 | 8.8557 | 4.9623 | 4.3073 | 18.1253 |
| | 90 | 8.1341 | 6.8060 | 7.5186 | 22.4587 |
| | 120 | 11.2639 | 8.5675 | 10.3450 | 30.1764 |

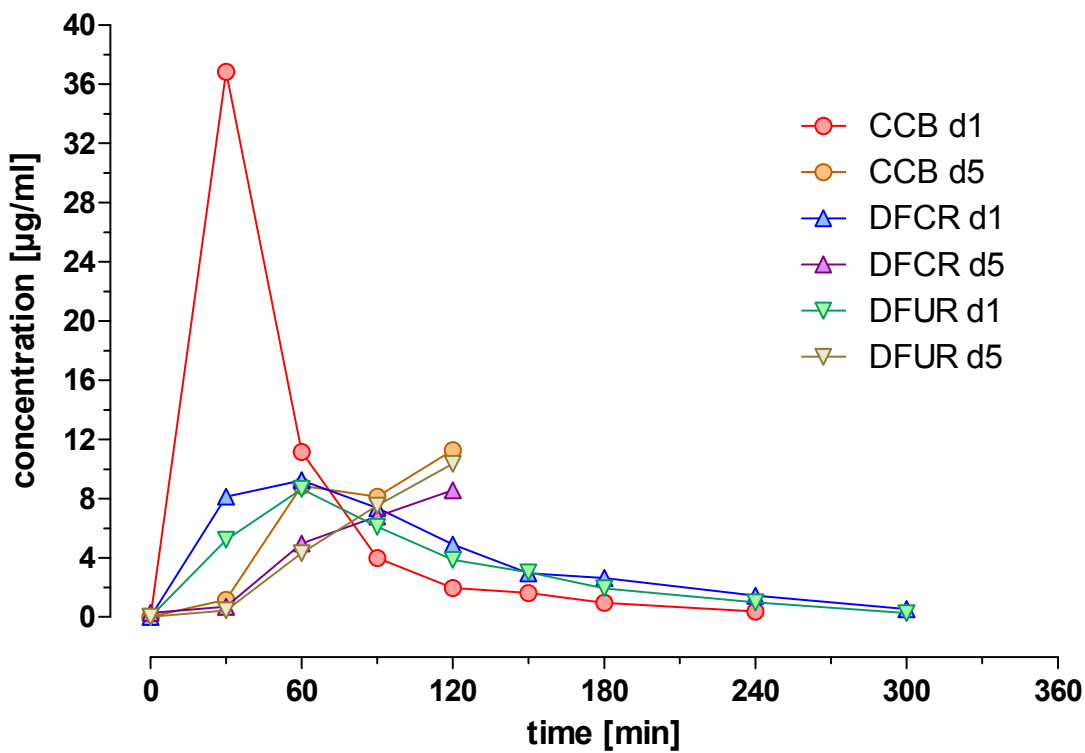


Abb. 49: Patient 2, Woche 7: Plasmakonzentrations-Zeit-Kurven von CCB, DFCR & DFUR

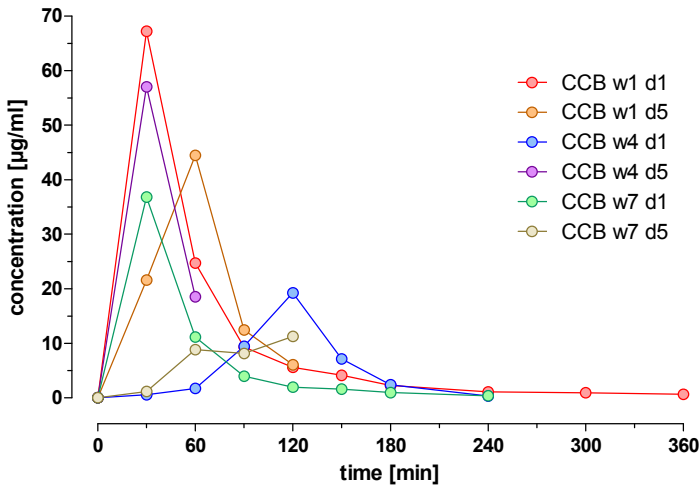


Abb. 50: Patient 2, Vergleich der Wochen: Plasmakonzentrations-Zeit-Kurven von CCB

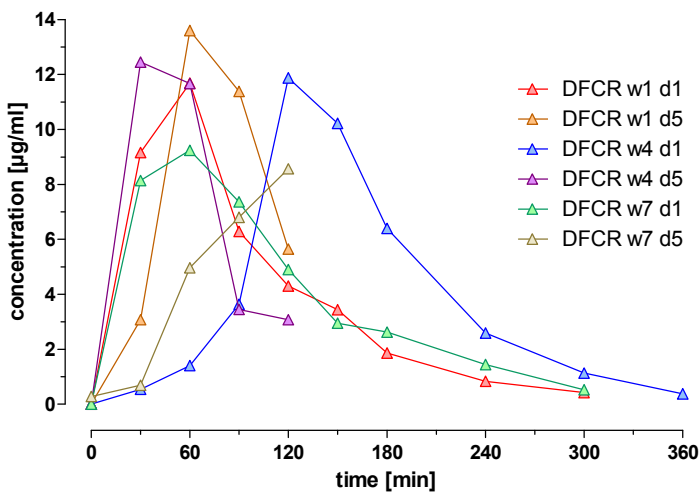


Abb. 51: Patient 2, Vergleich der Wochen: Plasmakonzentrations-Zeit-Kurven von DFCR

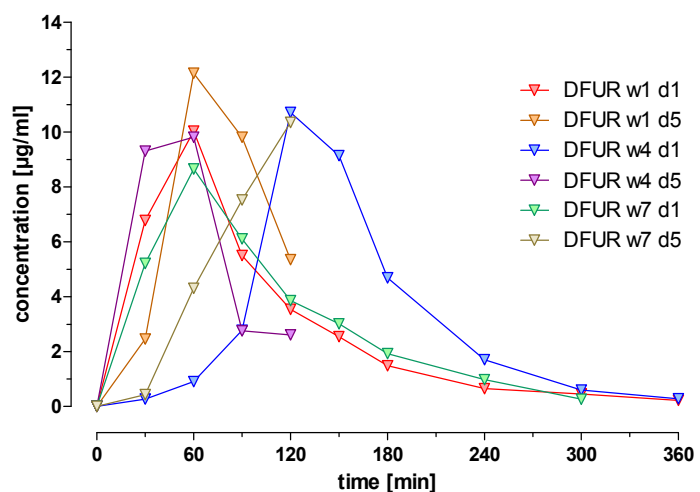


Abb. 52: Patient 2, Vergleich der Wochen: Plasmakonzentrations-Zeit-Kurven von DFUR

4.2.1.3 Patient 3

Tab. 20: Patient 3, Woche 1: Konzentrationen von CCB, DFCR & DFUR

| Woche 1 | Zeit [min] | CCB [$\mu\text{g}/\text{ml}$] | DFCR [$\mu\text{g}/\text{ml}$] | DFUR [$\mu\text{g}/\text{ml}$] | Summe [$\mu\text{g}/\text{ml}$] |
|---------|------------|---------------------------------|----------------------------------|----------------------------------|-----------------------------------|
| Tag 1 | 0 | 0.0000 | 0.0000 | 0.0000 | 0.0000 |
| | 30 | 9.9274 | 9.3523 | 6.7463 | 26.0260 |
| | 60 | 5.7515 | 10.4729 | 11.5287 | 27.7531 |
| | 90 | 1.2383 | 6.1583 | 6.1253 | 13.5219 |
| | 120 | 0.6576 | 4.5202 | 3.2378 | 8.4156 |
| | 150 | 0.1623 | 1.9568 | 1.8418 | 3.9609 |
| | 180 | 0.0555 | 1.2440 | 1.2394 | 2.5389 |
| | 240 | | 0.4215 | 0.2893 | 0.7108 |
| | 300 | | 0.2570 | 0.2415 | 0.4985 |
| | 360 | | | | |
| Tag 5 | 0 | 0.0000 | 0.0000 | 0.0000 | 0.0000 |
| | 30 | 4.3937 | 3.5675 | 4.9390 | 12.9002 |
| | 60 | 5.1879 | 8.8759 | 12.3195 | 26.3833 |
| | 90 | 1.4304 | 4.3112 | 5.9262 | 11.6678 |
| | 120 | 0.5850 | 2.7313 | 3.4713 | 6.7876 |

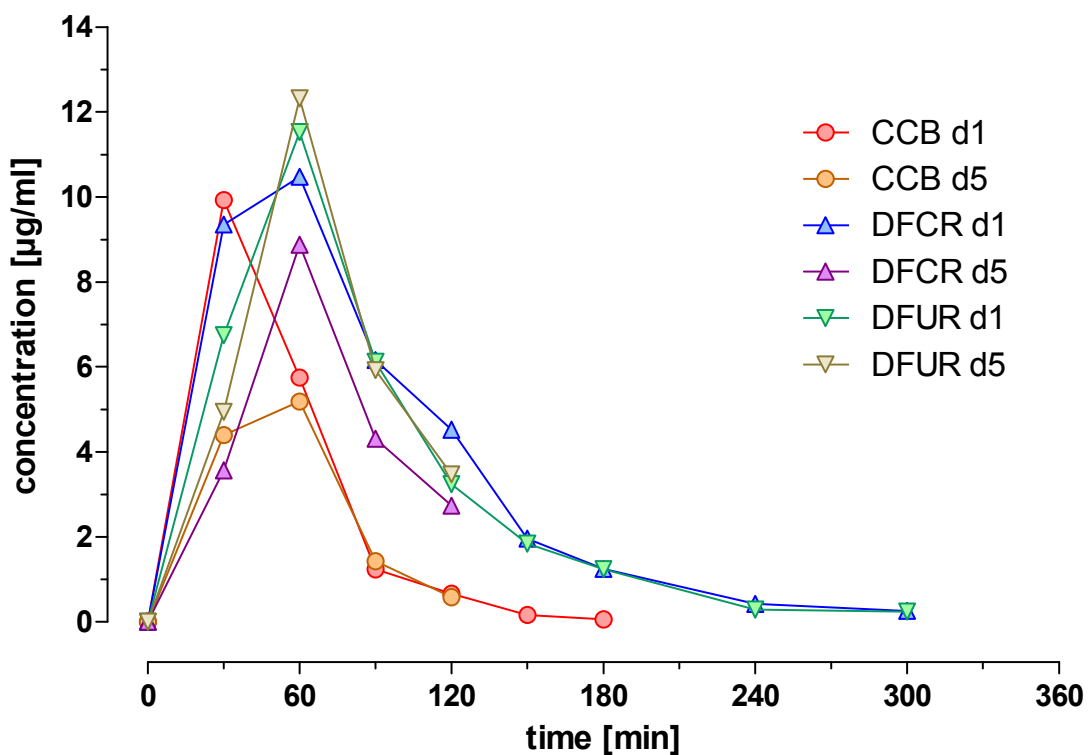


Abb. 53: Patient 3, Woche 1: Plasmakonzentrations-Zeit-Kurven von CCB, DFCR & DFUR

Tab. 21: Patient 3, Woche 4: Konzentrationen von CCB, DFCR & DFUR

| Woche 4 | Zeit [min] | CCB [$\mu\text{g}/\text{ml}$] | DFCR [$\mu\text{g}/\text{ml}$] | DFUR [$\mu\text{g}/\text{ml}$] | Summe [$\mu\text{g}/\text{ml}$] |
|---------|------------|---------------------------------|----------------------------------|----------------------------------|-----------------------------------|
| Tag 1 | 0 | 0.0000 | 0.0000 | 0.0000 | 0.0000 |
| | 30 | 8.8471 | 8.5058 | 13.9782 | 31.3312 |
| | 60 | 5.5465 | 8.2077 | 14.5701 | 28.3243 |
| | 90 | 1.7976 | 5.0274 | 7.4257 | 14.2507 |
| | 120 | 0.7728 | 2.5668 | 3.9384 | 7.2781 |
| | 150 | 0.1025 | 1.6313 | 2.3116 | 4.0453 |
| | 180 | | 1.0144 | 1.3986 | 2.4130 |
| | 240 | | 0.3564 | 0.4167 | 0.7731 |
| | 300 | | 0.1885 | 0.1858 | 0.3743 |
| | 360 | | | 0.1460 | 0.1460 |
| Tag 5 | 0 | 0.0000 | 0.0000 | 0.1831 | 0.1831 |
| | 30 | 18.5354 | 11.8506 | 20.8944 | 51.2804 |
| | 60 | 5.4056 | 7.7862 | 14.7001 | 27.8919 |
| | 90 | 1.0632 | 4.3729 | 9.0207 | 14.4568 |
| | 120 | 0.2989 | 2.6628 | 5.3211 | 8.2828 |

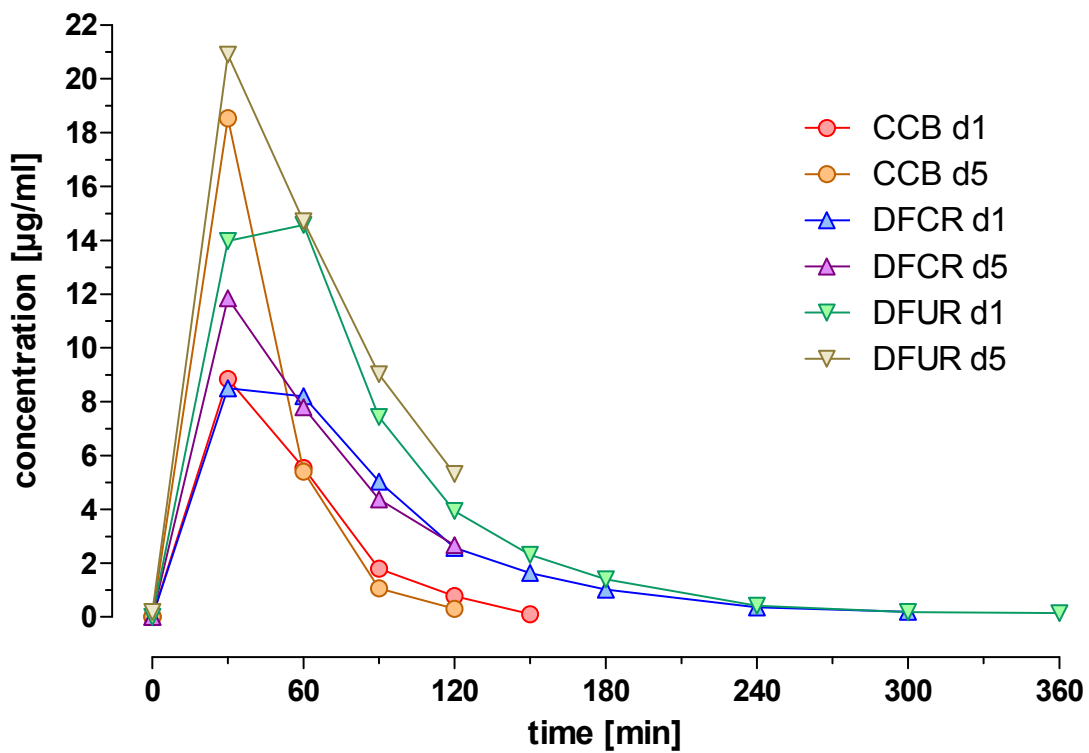


Abb. 54: Patient 3, Woche 4: Plasmakonzentrations-Zeit-Kurven von CCB, DFCR & DFUR

Tab. 22: Patient 3, Woche 7: Konzentrationen von CCB, DFCR & DFUR

| Woche 7 | Zeit [min] | CCB [$\mu\text{g}/\text{ml}$] | DFCR [$\mu\text{g}/\text{ml}$] | DFUR [$\mu\text{g}/\text{ml}$] | Summe [$\mu\text{g}/\text{ml}$] |
|---------|------------|---------------------------------|----------------------------------|----------------------------------|-----------------------------------|
| Tag 1 | 0 | 0.0000 | 0.0000 | 0.0000 | 0.0000 |
| | 30 | 0.9522 | 0.6374 | 0.8280 | 2.4176 |
| | 60 | 6.9556 | 6.1652 | 0.8280 | 13.9488 |
| | 90 | 4.2485 | 6.1069 | 9.3259 | 19.6813 |
| | 120 | 1.9086 | 4.2975 | 6.5950 | 12.8011 |
| | 150 | 0.5807 | 2.5017 | 3.7686 | 6.8510 |
| | 180 | 0.5551 | 2.1899 | 2.8928 | 5.6377 |
| | 240 | 0.5167 | 1.4633 | 1.8445 | 3.8245 |
| | 300 | | 0.2981 | 0.5786 | 0.8767 |
| | 360 | | 0.0891 | 0.2521 | 0.3412 |
| Tag 5 | 0 | 0.0000 | 0.0000 | 0.0000 | 0.0000 |
| | 30 | 7.1563 | 5.5757 | 6.8073 | 19.5393 |
| | 60 | 5.8155 | 5.6785 | 8.9915 | 20.4856 |
| | 90 | 2.9633 | 4.3112 | 6.7675 | 14.0420 |
| | 120 | 1.0845 | 3.0809 | 4.6762 | 8.8416 |

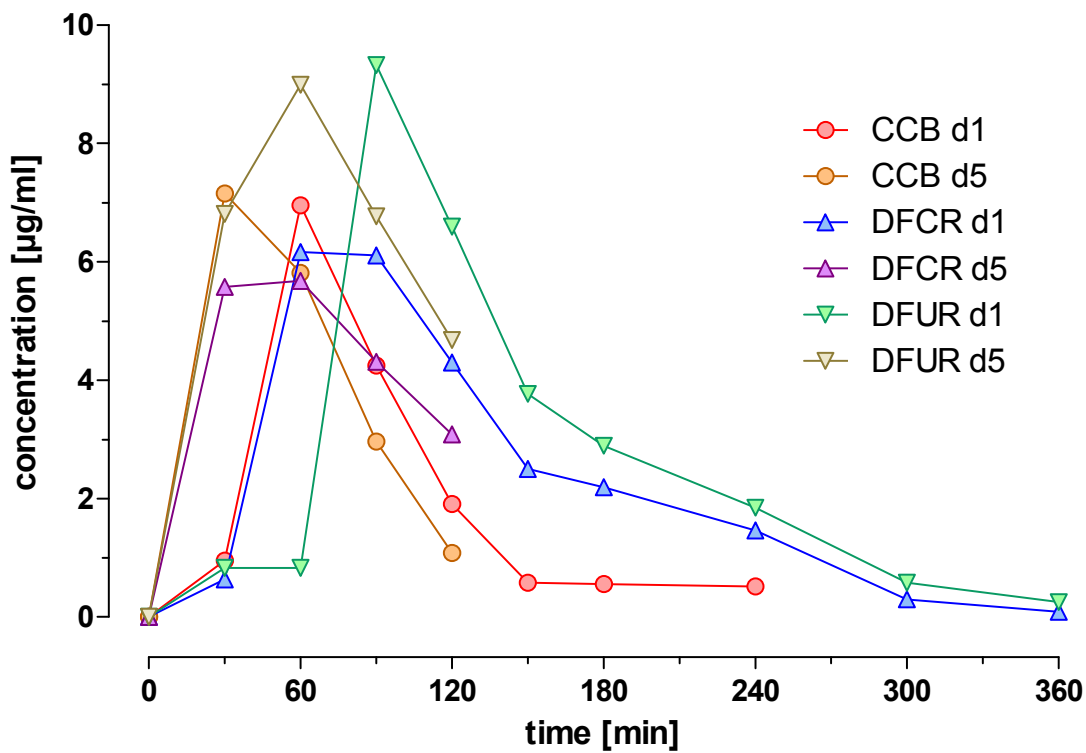


Abb. 55: Patient 3, Woche 7: Plasmakonzentrations-Zeit-Kurven von CCB, DFCR & DFUR

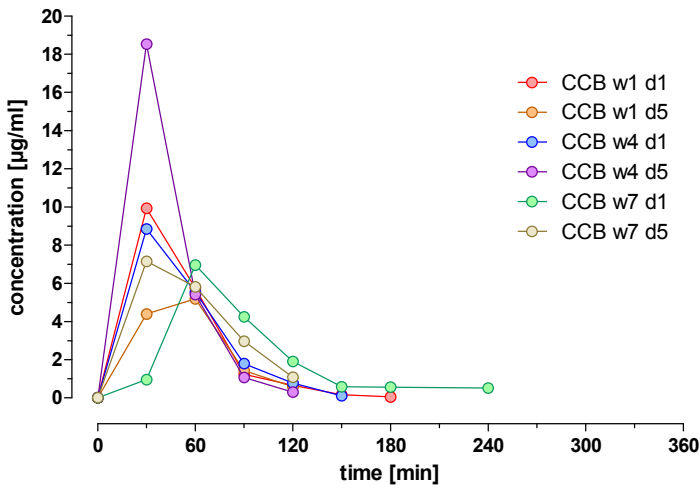


Abb. 56: Patient 3, Vergleich der Wochen: Plasmakonzentrations-Zeit-Kurven von CCB

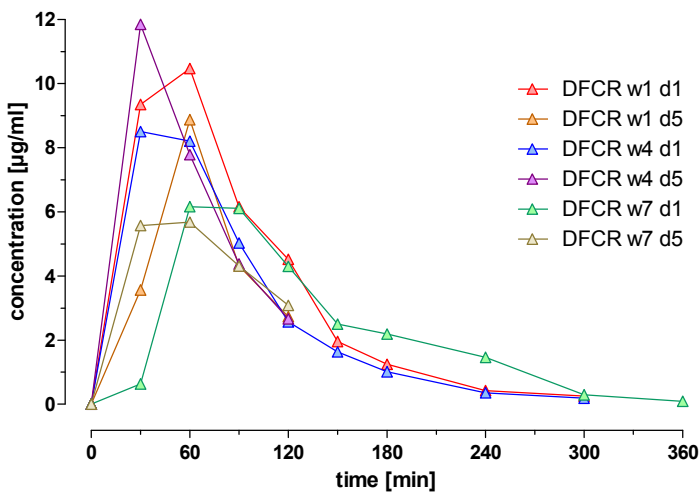


Abb. 57: Patient 3, Vergleich der Wochen: Plasmakonzentrations-Zeit-Kurven von DFCR

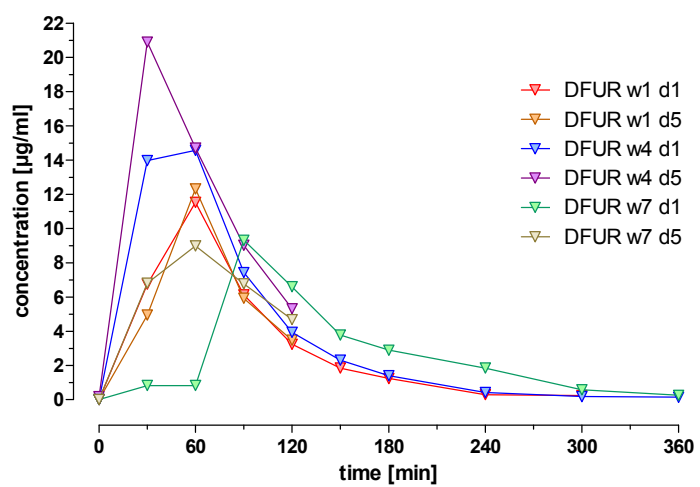


Abb. 58: Patient 3, Vergleich der Wochen: Plasmakonzentrations-Zeit-Kurven von DFUR

4.2.1.4 Patient 4

Tab. 23: Patient 4, Woche 1: Konzentrationen von CCB, DFCR & DFUR

| Woche 1 | Zeit [min] | CCB [$\mu\text{g}/\text{ml}$] | DFCR [$\mu\text{g}/\text{ml}$] | DFUR [$\mu\text{g}/\text{ml}$] | Summe [$\mu\text{g}/\text{ml}$] |
|---------|------------|---------------------------------|----------------------------------|----------------------------------|-----------------------------------|
| Tag 1 | 0 | 0.0000 | 0.0000 | 0.0000 | 0.0000 |
| | 30 | 11.9172 | 12.0391 | 14.8116 | 38.7678 |
| | 60 | 3.1341 | 4.6265 | 7.2744 | 15.0349 |
| | 90 | 1.0675 | 1.7409 | 2.2718 | 5.0801 |
| | 120 | 0.5508 | 1.6313 | 2.1975 | 4.3795 |
| | 150 | 0.2477 | 0.6683 | 0.8121 | 1.7280 |
| | 180 | 0.0598 | 0.6374 | 0.7351 | 1.4323 |
| | 240 | | 0.3530 | 0.3954 | 0.7484 |
| | 300 | | 0.1165 | 0.1300 | 0.2466 |
| | 360 | | | | |
| Tag 5 | 0 | 0.0000 | 0.0000 | 0.0000 | 0.0000 |
| | 30 | 13.6678 | 14.2598 | 9.2463 | 37.1739 |
| | 60 | 5.1366 | 10.6237 | 8.4183 | 24.1786 |
| | 90 | 1.8104 | 6.2406 | 4.4613 | 12.5122 |
| | 120 | 0.6874 | 3.9411 | 2.5080 | 7.1365 |

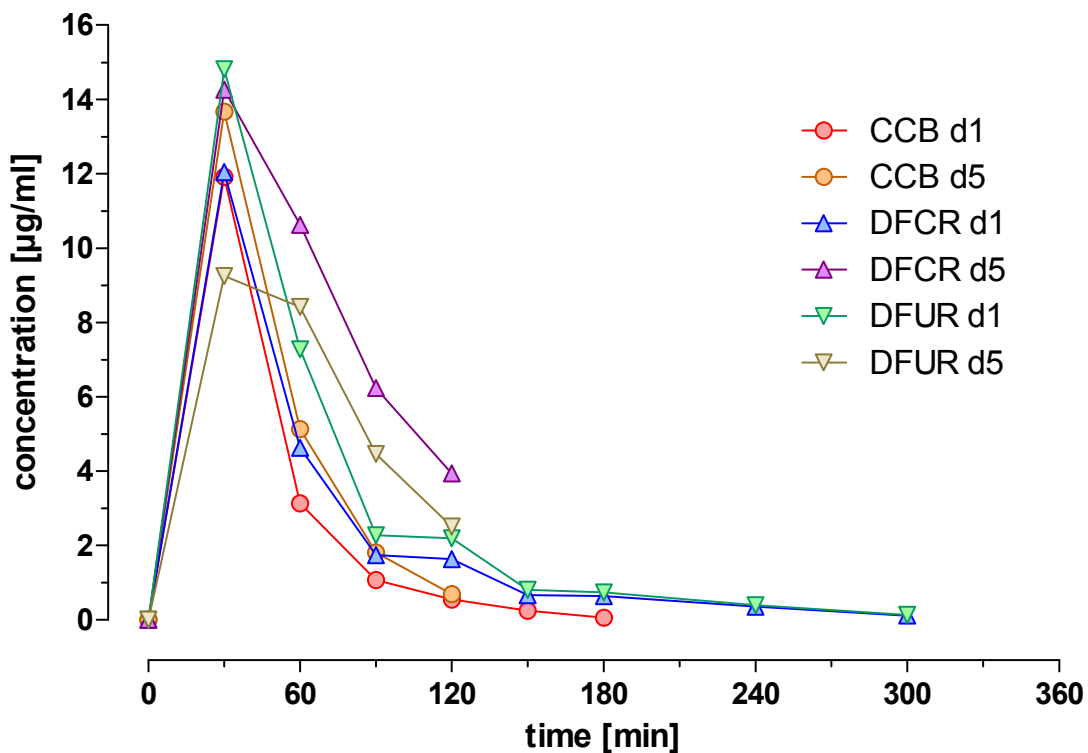


Abb. 59: Patient 4, Woche 1: Plasmakonzentrations-Zeit-Kurven von CCB, DFCR & DFUR

Tab. 24: Patient 4, Woche 4: Konzentrationen von CCB, DFCR & DFUR

| Woche 4 | Zeit [min] | CCB [$\mu\text{g}/\text{ml}$] | DFCR [$\mu\text{g}/\text{ml}$] | DFUR [$\mu\text{g}/\text{ml}$] | Summe [$\mu\text{g}/\text{ml}$] |
|---------|------------|---------------------------------|----------------------------------|----------------------------------|-----------------------------------|
| Tag 1 | 0 | 0.0000 | 0.0000 | 0.0000 | 0.0000 |
| | 30 | 21.6012 | 13.1323 | 17.9697 | 52.7032 |
| | 60 | 2.6388 | 5.8979 | 7.9167 | 16.4533 |
| | 90 | 0.9137 | 3.9685 | 4.4453 | 9.3275 |
| | 120 | 0.1964 | 2.3920 | 2.6008 | 5.1893 |
| | 150 | 0.1025 | 1.8232 | 1.5127 | 3.4384 |
| | 180 | 0.0555 | 0.8670 | 0.7006 | 1.6232 |
| | 240 | | 0.2433 | 0.2548 | 0.4981 |
| | 300 | | | | |
| | 360 | | | | |
| Tag 5 | 0 | 0.0000 | 0.0000 | 0.0000 | 0.0000 |
| | 30 | 20.6106 | 9.0302 | 10.7750 | 40.4157 |
| | 60 | 4.3339 | 5.7094 | 9.0525 | 19.0958 |
| | 90 | 0.9906 | 3.0535 | 4.3763 | 8.4204 |
| | 120 | 0.5038 | 2.2515 | 2.7707 | 5.5261 |

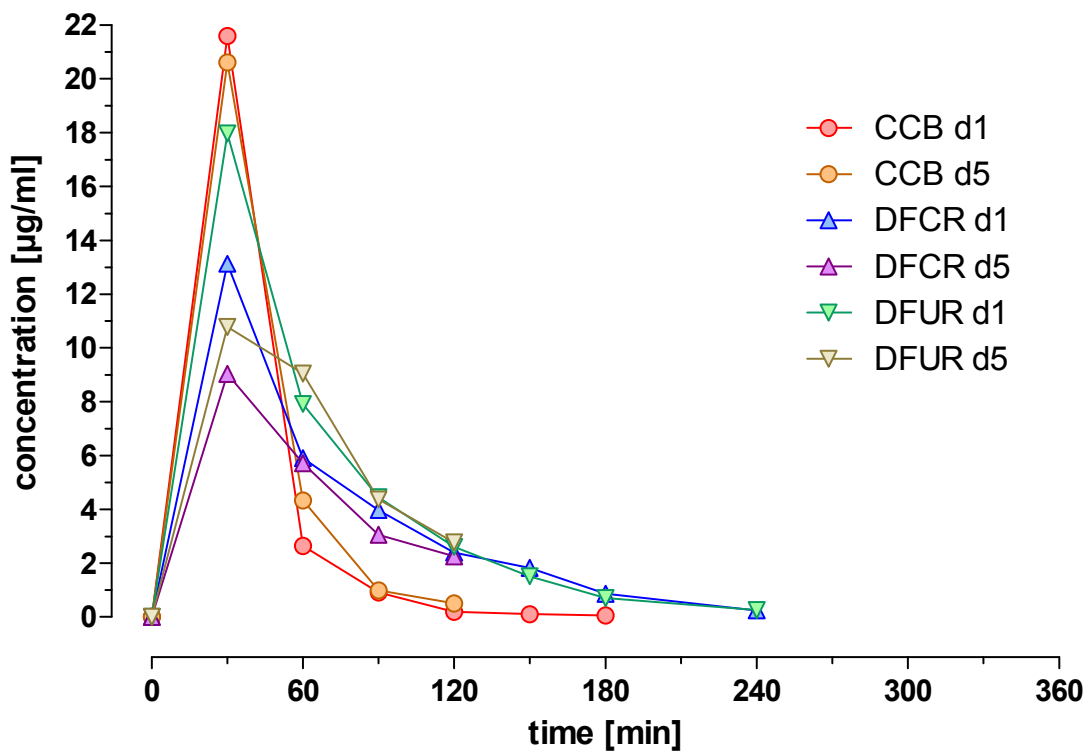


Abb. 60: Patient 4, Woche 4: Plasmakonzentrations-Zeit-Kurven von CCB, DFCR & DFUR

Tab. 25: Patient 4, Woche 7: Konzentrationen von CCB, DFCR & DFUR

| Woche 7 | Zeit [min] | CCB [$\mu\text{g}/\text{ml}$] | DFCR [$\mu\text{g}/\text{ml}$] | DFUR [$\mu\text{g}/\text{ml}$] | Summe [$\mu\text{g}/\text{ml}$] |
|---------|------------|---------------------------------|----------------------------------|----------------------------------|-----------------------------------|
| Tag 1 | 0 | 0.0000 | 0.0000 | 0.0000 | 0.0000 |
| | 30 | 43.4799 | 11.9740 | 17.3779 | 72.8318 |
| | 60 | 4.8847 | 5.8328 | 9.8620 | 20.5795 |
| | 90 | 1.6140 | 2.7690 | 4.7797 | 9.1627 |
| | 120 | 0.4056 | 1.8917 | 2.4151 | 4.7124 |
| | 150 | 0.1452 | 1.2303 | 1.3270 | 2.7024 |
| | 180 | 0.0640 | 0.6854 | 0.8041 | 1.5536 |
| | 240 | | 0.1302 | 0.2601 | 0.3903 |
| | 300 | | 0.0411 | 0.1221 | 0.1632 |
| | 360 | | | 0.0637 | 0.0637 |
| Tag 5 | 0 | 0.0000 | 0.0000 | 0.0000 | 0.0000 |
| | 30 | 20.8625 | 8.6463 | 17.5929 | 47.1017 |
| | 60 | 4.3168 | 4.2015 | 8.2404 | 16.7588 |
| | 90 | 1.6396 | 2.4880 | 4.4586 | 8.5862 |
| | 120 | 0.6746 | 1.5593 | 2.3355 | 4.5694 |

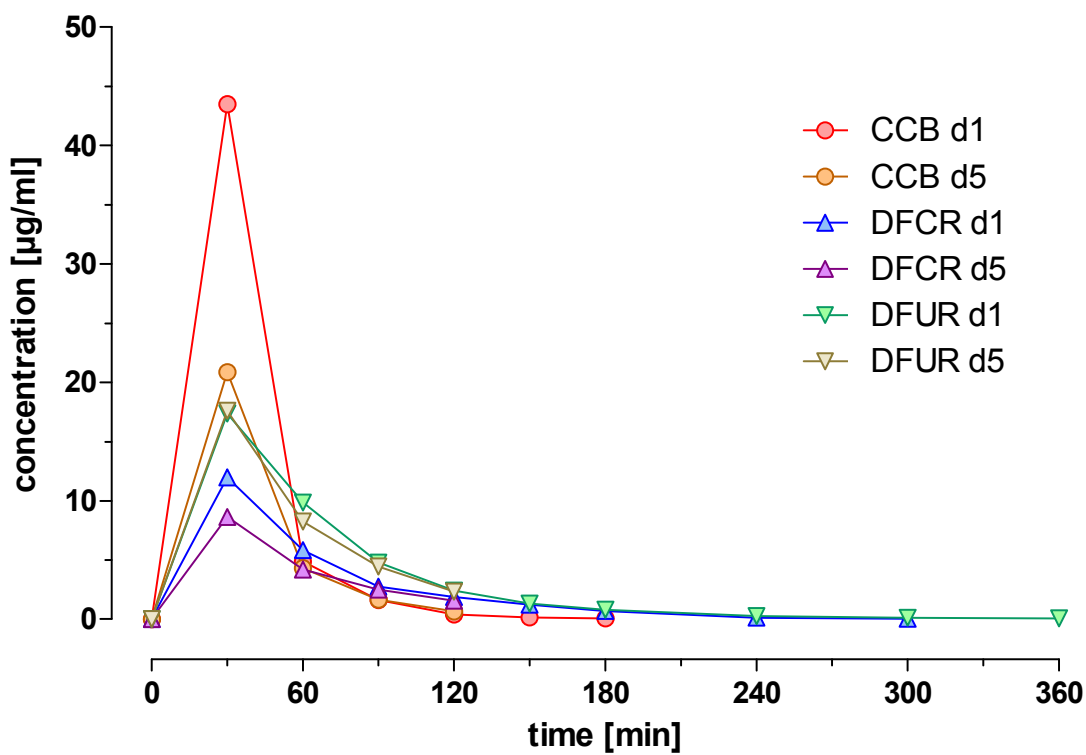


Abb. 61: Patient 4, Woche 7: Plasmakonzentrations-Zeit-Kurven von CCB, DFCR & DFUR

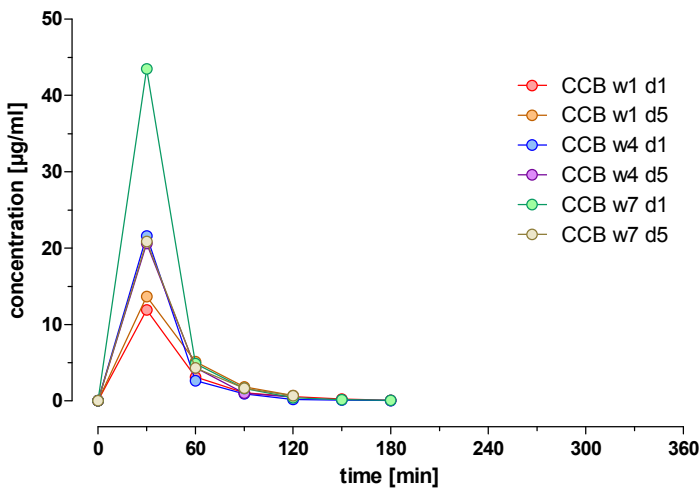


Abb. 62: Patient 4, Vergleich der Wochen: Plasmakonzentrations-Zeit-Kurven von CCB

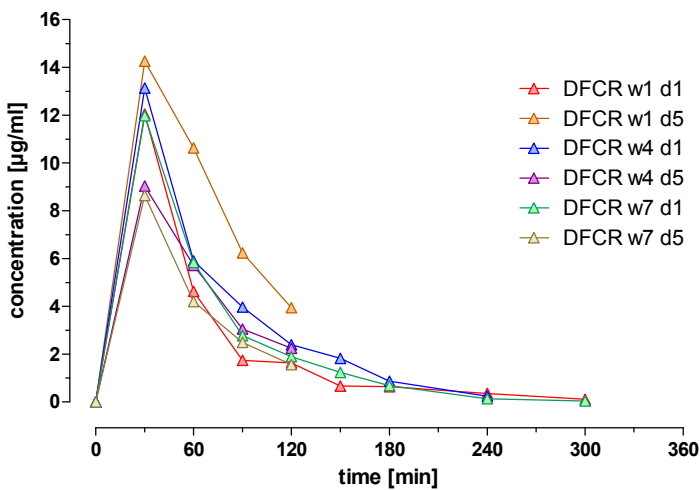


Abb. 63: Patient 4, Vergleich der Wochen: Plasmakonzentrations-Zeit-Kurven von DFCR

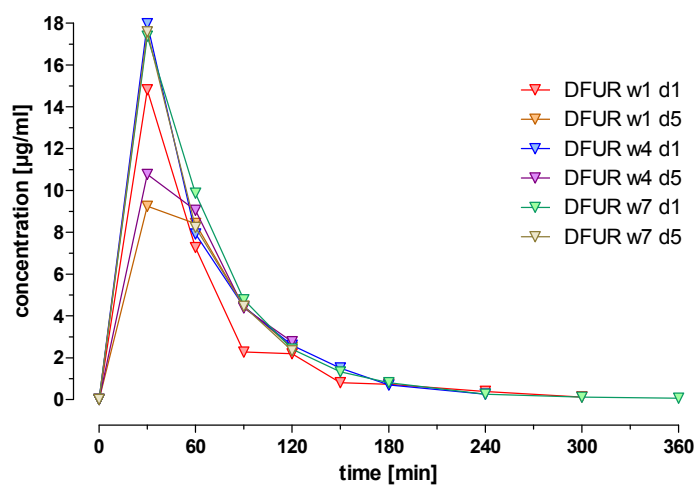


Abb. 64: Patient 4, Vergleich der Wochen: Plasmakonzentrations-Zeit-Kurven von DFUR

4.2.1.5 Vergleich der Plasmakonzentrationen aller Patienten

Tab. 26: Arm A, Woche 1: CCB - Konzentrationen im Vergleich

| Arm A CCB in µg/ml | | | STATISTIK | | | |
|--------------------|-------|------------|-----------|-----------|---------|---------|
| Woche 1 | Tag 1 | Zeit [min] | Patient 1 | Patient 4 | MW | SD |
| | | 0 | 0.0000 | 0.0000 | 0.0000 | 0.0000 |
| | | 30 | 0.4782 | 11.9172 | 6.1977 | 8.0885 |
| | | 60 | 3.5781 | 3.1341 | 3.3561 | 0.3140 |
| | | 90 | 6.8702 | 1.0675 | 3.9688 | 4.1032 |
| | | 120 | 4.6712 | 0.5508 | 2.6110 | 2.9136 |
| | | 150 | 1.7421 | 0.2477 | 0.9949 | 1.0567 |
| | | 180 | 0.3160 | 0.0598 | 0.1879 | 0.1812 |
| | | 240 | | | | |
| | | 300 | | | | |
| Woche 1 | Tag 5 | 360 | | | | |
| | | 0 | 0.0000 | 0.0000 | 0.0000 | 0.0000 |
| | | 30 | 29.5303 | 13.6678 | 21.5991 | 11.2165 |
| | | 60 | 5.1110 | 5.1366 | 5.1238 | 0.0181 |
| | | 90 | 1.4646 | 1.8104 | 1.6375 | 0.2446 |
| | | 120 | 0.4953 | 0.6874 | 0.5914 | 0.1359 |

Tab. 27: Arm A, Woche 1: DFCR - Konzentrationen im Vergleich

| Arm A DFCR in µg/ml | | | STATISTIK | | | |
|---------------------|-------|------------|-----------|-----------|---------|--------|
| Woche 1 | Tag 1 | Zeit [min] | Patient 1 | Patient 4 | MW | SD |
| | | 0 | 0.0000 | 0.0000 | 0.0000 | 0.0000 |
| | | 30 | 0.1131 | 12.0391 | 6.0761 | 8.4329 |
| | | 60 | 2.0117 | 4.6265 | 3.3191 | 1.8489 |
| | | 90 | 4.5236 | 1.7409 | 3.1323 | 1.9677 |
| | | 120 | 4.4106 | 1.6313 | 3.0209 | 1.9653 |
| | | 150 | 2.9335 | 0.6683 | 1.8009 | 1.6018 |
| | | 180 | 1.3297 | 0.6374 | 0.9836 | 0.4895 |
| | | 240 | 0.4181 | 0.3530 | 0.3855 | 0.0460 |
| | | 300 | 0.0788 | 0.1165 | 0.0977 | 0.0267 |
| Woche 1 | Tag 5 | 360 | | | | |
| | | 0 | 0.0000 | 0.0000 | 0.0000 | 0.0000 |
| | | 30 | 5.8499 | 14.2598 | 10.0548 | 5.9467 |
| | | 60 | 4.3900 | 10.6237 | 7.5069 | 4.4079 |
| | | 90 | 1.9088 | 6.2406 | 4.0747 | 3.0630 |
| | | 120 | 1.1618 | 3.9411 | 2.5514 | 1.9653 |

Tab. 28: Arm A, Woche 1: DFUR - Konzentrationen im Vergleich

| Arm A DFUR in µg/ml | | | STATISTIK | | | |
|---------------------|-------|------------|-----------|-----------|--------|---------|
| Woche 1 | Tag 1 | Zeit [min] | Patient 1 | Patient 4 | MW | SD |
| | | 0 | 0.3450 | 0.0000 | 0.1725 | 0.2440 |
| | | 30 | 0.2654 | 14.8116 | 7.5385 | 10.2857 |
| | | 60 | 0.1672 | 7.2744 | 3.7208 | 5.0256 |
| | | 90 | 0.4114 | 2.2718 | 1.3416 | 1.3155 |
| | | 120 | 0.2442 | 2.1975 | 1.2208 | 1.3812 |
| | | 150 | 0.4193 | 0.8121 | 0.6157 | 0.2777 |
| | | 180 | 0.3317 | 0.7351 | 0.5334 | 0.2852 |
| | | 240 | 0.7378 | 0.3954 | 0.5666 | 0.2421 |
| | | 300 | 0.7962 | 0.1300 | 0.4631 | 0.4710 |
| | | 360 | 1.3933 | | 1.3933 | |
| Woche 1 | Tag 5 | 0 | 0.6024 | 0.0000 | 0.3012 | 0.4260 |
| | | 30 | 0.3317 | 9.2463 | 4.7890 | 6.3035 |
| | | 60 | 0.7378 | 8.4183 | 4.5780 | 5.4309 |
| | | 90 | 1.2128 | 4.4613 | 2.8370 | 2.2970 |
| | | 120 | 1.6348 | 2.5080 | 2.0714 | 0.6174 |

Tab. 29: Arm A, Woche 1: Konzentrationssummen im Vergleich

| Summe CCB+DFCR+DFUR in µg/ml | | | STATISTIK | | | |
|------------------------------|-------|------------|-----------|-----------|---------|---------|
| Woche 1 | Tag 1 | Zeit [min] | Patient 1 | Patient 4 | MW | SD |
| | | 0 | 0.3450 | 0.0000 | 0.1725 | 0.2440 |
| | | 30 | 0.8567 | 38.7678 | 19.8123 | 26.8072 |
| | | 60 | 5.7570 | 15.0349 | 10.3960 | 6.5605 |
| | | 90 | 11.8052 | 5.0801 | 8.4427 | 4.7553 |
| | | 120 | 9.3259 | 4.3795 | 6.8527 | 3.4976 |
| | | 150 | 5.0949 | 1.7280 | 3.4115 | 2.3808 |
| | | 180 | 1.9774 | 1.4323 | 1.7049 | 0.3854 |
| | | 240 | 1.1559 | 0.7484 | 0.9522 | 0.2881 |
| | | 300 | 0.8750 | 0.2466 | 0.5608 | 0.4444 |
| Woche 1 | Tag 5 | 360 | 1.3933 | | 1.3933 | |
| | | 0 | 0.6024 | 0.0000 | 0.30122 | 0.42599 |
| | | 30 | 35.7120 | 37.1739 | 36.4429 | 1.03372 |
| | | 60 | 10.2388 | 24.1786 | 17.2087 | 9.85693 |
| | | 90 | 4.5862 | 12.5122 | 8.54925 | 5.60453 |
| | | 120 | 3.2919 | 7.1365 | 5.21417 | 2.71853 |

Tab. 30: Arm B, Woche 1: CCB - Konzentrationen im Vergleich

| Arm B CCB in µg/ml | | | STATISTIK | | | |
|--------------------|-------|------------|-----------|-----------|---------|---------|
| Woche 1 | Tag 1 | Zeit [min] | Patient 2 | Patient 3 | MW | SD |
| | | 0 | 0.0000 | 0.0000 | 0.0000 | 0.0000 |
| | | 30 | 67.1947 | 9.9274 | 38.5611 | 40.4941 |
| | | 60 | 24.7225 | 5.7515 | 15.2370 | 13.4145 |
| | | 90 | 9.2997 | 1.2383 | 5.2690 | 5.7003 |
| | | 120 | 5.6063 | 0.6576 | 3.1319 | 3.4993 |
| | | 150 | 4.1161 | 0.1623 | 2.1392 | 2.7958 |
| | | 180 | 2.2844 | 0.0555 | 1.1699 | 1.5760 |
| | | 240 | 1.0760 | | 1.0760 | |
| | | 300 | 0.9394 | | 0.9394 | |
| Woche 1 | Tag 5 | 360 | 0.6533 | | 0.6533 | |
| | | 0 | 0.0000 | 0.0000 | 0.0000 | 0.0000 |
| | | 30 | 21.5799 | 4.3937 | 12.9868 | 12.1525 |
| | | 60 | 44.4449 | 5.1879 | 24.8164 | 27.7589 |
| | | 90 | 12.4338 | 1.4304 | 6.9321 | 7.7806 |
| | | 120 | 6.0675 | 0.5850 | 3.3262 | 3.8767 |

Tab. 31: Arm B, Woche 1: DFCR - Konzentrationen im Vergleich

| Arm B DFCR in µg/ml | | | STATISTIK | | | |
|---------------------|-------|------------|-----------|-----------|---------|--------|
| Woche 1 | Tag 1 | Zeit [min] | Patient 2 | Patient 3 | MW | SD |
| | | 0 | 0.0000 | 0.0000 | 0.0000 | 0.0000 |
| | | 30 | 9.1604 | 9.3523 | 9.2563 | 0.1357 |
| | | 60 | 11.6827 | 10.4729 | 11.0778 | 0.8554 |
| | | 90 | 6.2886 | 6.1583 | 6.2234 | 0.0921 |
| | | 120 | 4.3009 | 4.5202 | 4.4106 | 0.1551 |
| | | 150 | 3.4407 | 1.9568 | 2.6988 | 1.0493 |
| | | 180 | 1.8677 | 1.2440 | 1.5559 | 0.4410 |
| | | 240 | 0.8362 | 0.4215 | 0.6289 | 0.2932 |
| | | 300 | 0.4249 | 0.2570 | 0.3410 | 0.1187 |
| Woche 1 | Tag 5 | 360 | | | | |
| | | 0 | 0.0000 | 0.0000 | 0.0000 | 0.0000 |
| | | 30 | 3.0740 | 3.5675 | 3.3208 | 0.3489 |
| | | 60 | 13.6018 | 8.8759 | 11.2389 | 3.3417 |
| | | 90 | 11.3845 | 4.3112 | 7.8478 | 5.0016 |
| | | 120 | 5.6477 | 2.7313 | 4.1895 | 2.0622 |

Tab. 32: Arm B, Woche 1: DFUR - Konzentrationen im Vergleich

| Arm B DFUR in µg/ml | | | STATISTIK | | | |
|---------------------|-------|------------|-----------|-----------|---------|--------|
| Woche 1 | Tag 1 | Zeit [min] | Patient 2 | Patient 3 | MW | SD |
| | | 0 | 0.0000 | 0.0000 | 0.0000 | 0.0000 |
| | | 30 | 6.7781 | 6.7463 | 6.7622 | 0.0225 |
| | | 60 | 10.0345 | 11.5287 | 10.7816 | 1.0565 |
| | | 90 | 5.4936 | 6.1253 | 5.8094 | 0.4466 |
| | | 120 | 3.5430 | 3.2378 | 3.3904 | 0.2158 |
| | | 150 | 2.5425 | 1.8418 | 2.1921 | 0.4954 |
| | | 180 | 1.4835 | 1.2394 | 1.3615 | 0.1726 |
| | | 240 | 0.6529 | 0.2893 | 0.4711 | 0.2571 |
| | | 300 | 0.4512 | 0.2415 | 0.3463 | 0.1483 |
| | | 360 | 0.2282 | | 0.2282 | |
| Woche 1 | Tag 5 | 0 | 0.0000 | 0.0000 | 0.0000 | 0.0000 |
| | | 30 | 2.4602 | 4.9390 | 3.6996 | 1.7528 |
| | | 60 | 12.1391 | 12.3195 | 12.2293 | 0.1276 |
| | | 90 | 9.8089 | 5.9262 | 7.8676 | 2.7455 |
| | | 120 | 5.3424 | 3.4713 | 4.4068 | 1.3230 |

Tab. 33: Arm B, Woche 1: Konzentrationssummen im Vergleich

| Summe CCB+DFCR+DFUR in µg/ml | | | STATISTIK | | | |
|------------------------------|-------|------------|-----------|-----------|---------|---------|
| Woche 1 | Tag 1 | Zeit [min] | Patient 2 | Patient 3 | MW | SD |
| | | 0 | 0.0000 | 0.0000 | 0.0000 | 0.0000 |
| | | 30 | 83.1332 | 26.0260 | 54.5796 | 40.3809 |
| | | 60 | 46.4396 | 27.7531 | 37.0964 | 13.2134 |
| | | 90 | 21.0819 | 13.5219 | 17.3019 | 5.3458 |
| | | 120 | 13.4502 | 8.4156 | 10.9329 | 3.5600 |
| | | 150 | 10.0993 | 3.9609 | 7.0301 | 4.3405 |
| | | 180 | 5.6356 | 2.5389 | 4.0873 | 2.1897 |
| | | 240 | 2.5651 | 0.7108 | 1.6379 | 1.3112 |
| | | 300 | 1.8155 | 0.4985 | 1.1570 | 0.9312 |
| | | 360 | 0.8815 | | 0.8815 | |
| Woche 1 | Tag 5 | 0 | 0.0000 | 0.0000 | 0.0000 | 0.0000 |
| | | 30 | 27.1141 | 12.9002 | 20.0071 | 10.0508 |
| | | 60 | 70.1858 | 26.3833 | 48.2846 | 30.9730 |
| | | 90 | 33.6272 | 11.6678 | 22.6475 | 15.5277 |
| | | 120 | 17.0575 | 6.7876 | 11.9226 | 7.2619 |

Tab. 34: Arm A, Woche 4: CCB - Konzentrationen im Vergleich

| Arm A CCB in µg/ml | | | STATISTIK | | | |
|--------------------|-------|------------|-----------|-----------|---------|---------|
| Woche 4 | Tag 1 | Zeit [min] | Patient 1 | Patient 4 | MW | SD |
| | | 0 | 0.0000 | 0.0000 | 0.0000 | 0.0000 |
| | | 30 | 7.3356 | 21.6012 | 14.4684 | 10.0873 |
| | | 60 | 13.4885 | 2.6388 | 8.0636 | 7.6719 |
| | | 90 | 2.3100 | 0.9137 | 1.6119 | 0.9873 |
| | | 120 | 0.5807 | 0.1964 | 0.3886 | 0.2717 |
| | | 150 | 0.1281 | 0.1025 | 0.1153 | 0.0181 |
| | | 180 | 0.0342 | 0.0555 | 0.0448 | 0.0151 |
| | | 240 | | | | |
| | | 300 | | | | |
| | | 360 | | | | |
| Woche 4 | Tag 5 | 0 | 0.0000 | 0.0000 | 0.0000 | 0.0000 |
| | | 30 | 15.5252 | 20.6106 | 18.0679 | 3.5959 |
| | | 60 | 6.0888 | 4.3339 | 5.2114 | 1.2409 |
| | | 90 | 1.3578 | 0.9906 | 1.1742 | 0.2597 |
| | | 120 | 0.3587 | 0.5038 | 0.4313 | 0.1027 |

Tab. 35: Arm A, Woche 4: DFCR - Konzentrationen im Vergleich

| Arm A DFCR in µg/ml | | | STATISTIK | | | |
|---------------------|-------|------------|-----------|-----------|--------|--------|
| Woche 4 | Tag 1 | Zeit [min] | Patient 1 | Patient 4 | MW | SD |
| | | 0 | 0.0000 | 0.0000 | 0.0000 | 0.0000 |
| | | 30 | 3.3105 | 13.1323 | 8.2214 | 6.9451 |
| | | 60 | 7.9746 | 5.8979 | 6.9363 | 1.4685 |
| | | 90 | 4.0336 | 3.9685 | 4.0010 | 0.0460 |
| | | 120 | 2.0939 | 2.3920 | 2.2430 | 0.2108 |
| | | 150 | 1.1583 | 1.8232 | 1.4907 | 0.4701 |
| | | 180 | 0.5963 | 0.8670 | 0.7317 | 0.1914 |
| | | 240 | 0.0754 | 0.2433 | 0.1594 | 0.1187 |
| | | 300 | 0.0308 | | 0.0308 | |
| Woche 4 | Tag 5 | 360 | | | | |
| | | 0 | 0.0000 | 0.0000 | 0.0000 | 0.0000 |
| | | 30 | 4.6539 | 9.0302 | 6.8420 | 3.0945 |
| | | 60 | 5.1988 | 5.7094 | 5.4541 | 0.3611 |
| | | 90 | 3.0809 | 3.0535 | 3.0672 | 0.0194 |
| | | 120 | 1.4599 | 2.2515 | 1.8557 | 0.5598 |

Tab. 36: Arm A, Woche 4: DFUR - Konzentrationen im Vergleich

| Arm A DFUR in µg/ml | | | STATISTIK | | | |
|---------------------|-------|------------|-----------|-----------|--------|---------|
| Woche 4 | Tag 1 | Zeit [min] | Patient 1 | Patient 4 | MW | SD |
| | | 0 | 0.6423 | 0.0000 | 0.3211 | 0.4541 |
| | | 30 | 0.2760 | 17.9697 | 9.1229 | 12.5114 |
| | | 60 | 0.0637 | 7.9167 | 3.9902 | 5.5529 |
| | | 90 | 0.3344 | 4.4453 | 2.3899 | 2.9069 |
| | | 120 | 0.4246 | 2.6008 | 1.5127 | 1.5388 |
| | | 150 | 0.4220 | 1.5127 | 0.9674 | 0.7713 |
| | | 180 | 0.3636 | 0.7006 | 0.5321 | 0.2383 |
| | | 240 | 0.2893 | 0.2548 | 0.2720 | 0.0244 |
| | | 300 | 0.1460 | | 0.1460 | |
| | | 360 | 0.1380 | | 0.1380 | |
| Woche 4 | Tag 5 | 0 | 0.2813 | 0.0000 | 0.1407 | 0.1989 |
| | | 30 | 0.0451 | 10.7750 | 5.4100 | 7.5871 |
| | | 60 | 0.0504 | 9.0525 | 4.5515 | 6.3655 |
| | | 90 | 0.0372 | 4.3763 | 2.2067 | 3.0683 |
| | | 120 | 0.0372 | 2.7707 | 1.4039 | 1.9329 |

Tab. 37: Arm A, Woche 4: Konzentrationssummen im Vergleich

| Summe CCB+DFCR+DFUR in µg/ml | | | STATISTIK | | | |
|------------------------------|-------|------------|-----------|-----------|---------|---------|
| Woche 4 | Tag 1 | Zeit [min] | Patient 1 | Patient 4 | MW | SD |
| | | 0 | 0.6423 | 0.0000 | 0.3211 | 0.4541 |
| | | 30 | 10.9221 | 52.7032 | 31.8127 | 29.5437 |
| | | 60 | 21.5268 | 16.4533 | 18.9901 | 3.5875 |
| | | 90 | 6.6780 | 9.3275 | 8.0028 | 1.8735 |
| | | 120 | 3.0992 | 5.1893 | 4.1443 | 1.4779 |
| | | 150 | 1.7084 | 3.4384 | 2.5734 | 1.2233 |
| | | 180 | 0.9940 | 1.6232 | 1.3086 | 0.4449 |
| | | 240 | 0.3647 | 0.4981 | 0.4314 | 0.0943 |
| | | 300 | 0.1768 | | 0.1768 | |
| Woche 4 | Tag 5 | 360 | 0.1380 | | 0.1380 | |
| | | 0 | 0.2813 | 0.0000 | 0.1407 | 0.1989 |
| | | 30 | 20.2242 | 40.4157 | 30.3199 | 14.2776 |
| | | 60 | 11.3380 | 19.0958 | 15.2169 | 5.4856 |
| | | 90 | 4.4758 | 8.4204 | 6.4481 | 2.7892 |
| | | 120 | 1.8557 | 5.5261 | 3.6909 | 2.5953 |

Tab. 38: Arm B, Woche 4: CCB - Konzentrationen im Vergleich

| Arm B CCB in µg/ml | | | STATISTIK | | | |
|--------------------|-------|------------|-----------|-----------|---------|---------|
| Woche 4 | Tag 1 | Zeit [min] | Patient 2 | Patient 3 | MW | SD |
| | | 0 | 0.0000 | 0.0000 | 0.0000 | 0.0000 |
| | | 30 | 0.5935 | 8.8471 | 4.7203 | 5.8362 |
| | | 60 | 1.7250 | 5.5465 | 3.6358 | 2.7022 |
| | | 90 | 9.4193 | 1.7976 | 5.6085 | 5.3893 |
| | | 120 | 19.2485 | 0.7728 | 10.0107 | 13.0643 |
| | | 150 | 7.1605 | 0.1025 | 3.6315 | 4.9908 |
| | | 180 | 2.4039 | | 2.4039 | |
| | | 240 | 0.3459 | | 0.3459 | |
| | | 300 | | | | |
| Woche 4 | Tag 5 | 360 | | | | |
| | | 0 | 0.0000 | 0.0000 | 0.0000 | 0.0000 |
| | | 30 | 57.0367 | 18.5354 | 37.7861 | 27.2245 |
| | | 60 | 18.5525 | 5.4056 | 11.9791 | 9.2963 |
| | | 90 | | 1.0632 | 1.0632 | |
| | | 120 | | 0.2989 | 0.2989 | |

Tab. 39: Arm B, Woche 4: DFCR - Konzentrationen im Vergleich

| Arm B DFCR in µg/ml | | | STATISTIK | | | |
|---------------------|-------|------------|-----------|-----------|---------|--------|
| Woche 4 | Tag 1 | Zeit [min] | Patient 2 | Patient 3 | MW | SD |
| | | 0 | 0.0000 | 0.0000 | 0.0000 | 0.0000 |
| | | 30 | 0.5415 | 8.5058 | 4.5236 | 5.6317 |
| | | 60 | 1.4085 | 8.2077 | 4.8081 | 4.8077 |
| | | 90 | 3.6326 | 5.0274 | 4.3300 | 0.9863 |
| | | 120 | 11.8746 | 2.5668 | 7.2207 | 6.5816 |
| | | 150 | 10.2228 | 1.6313 | 5.9270 | 6.0751 |
| | | 180 | 6.4016 | 1.0144 | 3.7080 | 3.8094 |
| | | 240 | 2.5908 | 0.3564 | 1.4736 | 1.5800 |
| | | 300 | 1.1343 | 0.1885 | 0.6614 | 0.6688 |
| Woche 4 | Tag 5 | 360 | 0.3770 | | 0.3770 | |
| | | 0 | 0.0000 | 0.0000 | 0.0000 | 0.0000 |
| | | 30 | 12.4503 | 11.8506 | 12.1504 | 0.4241 |
| | | 60 | 11.6724 | 7.7862 | 9.7293 | 2.7480 |
| | | 90 | 3.4476 | 4.3729 | 3.9102 | 0.6543 |
| | | 120 | 3.0740 | 2.6628 | 2.8684 | 0.2908 |

Tab. 40: Arm B, Woche 4: DFUR - Konzentrationen im Vergleich

| Arm B DFUR in µg/ml | | | STATISTIK | | | |
|---------------------|-------|------------|-----------|-----------|---------|--------|
| Woche 4 | Tag 1 | Zeit [min] | Patient 2 | Patient 3 | MW | SD |
| | | 0 | 0.0000 | 0.0000 | 0.0000 | 0.0000 |
| | | 30 | 0.2707 | 13.9782 | 7.1245 | 9.6927 |
| | | 60 | 0.9023 | 14.5701 | 7.7362 | 9.6645 |
| | | 90 | 2.7734 | 7.4257 | 5.0995 | 3.2897 |
| | | 120 | 10.7086 | 3.9384 | 7.3235 | 4.7872 |
| | | 150 | 9.1348 | 2.3116 | 5.7232 | 4.8248 |
| | | 180 | 4.6921 | 1.3986 | 3.0454 | 2.3289 |
| | | 240 | 1.7091 | 0.4167 | 1.0629 | 0.9139 |
| | | 300 | 0.5998 | 0.1858 | 0.3928 | 0.2928 |
| | | 360 | 0.2840 | 0.1460 | 0.2150 | 0.0976 |
| Woche 4 | Tag 5 | 0 | 0.0000 | 0.1831 | 0.0916 | 0.1295 |
| | | 30 | 9.3047 | 20.8944 | 15.0995 | 8.1952 |
| | | 60 | 9.8116 | 14.7001 | 12.2558 | 3.4567 |
| | | 90 | 2.7574 | 9.0207 | 5.8891 | 4.4288 |
| | | 120 | 2.6062 | 5.3211 | 3.9636 | 1.9198 |

Tab. 41: Arm B, Woche 4: Konzentrationssummen im Vergleich

| Summe CCB+DFCR+DFUR in µg/ml | | | STATISTIK | | | |
|------------------------------|-------|------------|-----------|-----------|---------|---------|
| Woche 4 | Tag 1 | Zeit [min] | Patient 2 | Patient 3 | MW | SD |
| | | 0 | 0.0000 | 0.0000 | 0.0000 | 0.0000 |
| | | 30 | 1.4057 | 31.3312 | 16.3684 | 21.1605 |
| | | 60 | 4.0359 | 28.3243 | 16.1801 | 17.1745 |
| | | 90 | 15.8253 | 14.2507 | 15.0380 | 1.1134 |
| | | 120 | 41.8317 | 7.2781 | 24.5549 | 24.4331 |
| | | 150 | 26.5181 | 4.0453 | 15.2817 | 15.8907 |
| | | 180 | 13.4977 | 2.4130 | 7.9554 | 7.8381 |
| | | 240 | 4.6458 | 0.7731 | 2.7094 | 2.7384 |
| | | 300 | 1.7341 | 0.3743 | 1.0542 | 0.9616 |
| Woche 4 | Tag 5 | 360 | 0.6609 | 0.1460 | 0.4035 | 0.3641 |
| | | 0 | 0.0000 | 0.1831 | 0.0916 | 0.1295 |
| | | 30 | 78.7917 | 51.2804 | 65.0360 | 19.4534 |
| | | 60 | 40.0365 | 27.8919 | 33.9642 | 8.5875 |
| | | 90 | 6.2050 | 14.4568 | 10.3309 | 5.8349 |
| | | 120 | 5.6802 | 8.2828 | 6.9815 | 1.8403 |

Tab. 42: Arm A, Woche 7: CCB - Konzentrationen im Vergleich

| Arm A CCB in µg/ml | | | STATISTIK | | | |
|--------------------|-------|------------|-----------|-----------|---------|---------|
| Woche 7 | Tag 1 | Zeit [min] | Patient 1 | Patient 4 | MW | SD |
| | | 0 | 0.0000 | 0.0000 | 0.0000 | 0.0000 |
| | | 30 | 9.0649 | 43.4799 | 26.2724 | 24.3351 |
| | | 60 | 11.6140 | 4.8847 | 8.2494 | 4.7583 |
| | | 90 | 2.2758 | 1.6140 | 1.9449 | 0.4680 |
| | | 120 | 0.6576 | 0.4056 | 0.5316 | 0.1781 |
| | | 150 | 0.2861 | 0.1452 | 0.2156 | 0.0996 |
| | | 180 | 0.1153 | 0.0640 | 0.0897 | 0.0362 |
| | | 240 | | | | |
| | | 300 | | | | |
| | | 360 | | | | |
| Woche 7 | Tag 5 | 0 | 0.0000 | 0.0000 | 0.0000 | 0.0000 |
| | | 30 | 0.4697 | 20.8625 | 10.6661 | 14.4199 |
| | | 60 | 16.2084 | 4.3168 | 10.2626 | 8.4086 |
| | | 90 | 9.7694 | 1.6396 | 5.7045 | 5.7486 |
| | | 120 | 2.5875 | 0.6746 | 1.6311 | 1.3526 |

Tab. 43: Arm A, Woche 7: DFCR - Konzentrationen im Vergleich

| Arm A DFCR in µg/ml | | | STATISTIK | | | |
|---------------------|-------|------------|-----------|-----------|--------|--------|
| Woche 7 | Tag 1 | Zeit [min] | Patient 1 | Patient 4 | MW | SD |
| | | 0 | 0.0000 | 0.0000 | 0.0000 | 0.0000 |
| | | 30 | 3.2317 | 11.9740 | 7.6028 | 6.1817 |
| | | 60 | 6.2577 | 5.8328 | 6.0452 | 0.3005 |
| | | 90 | 4.3968 | 2.7690 | 3.5829 | 1.1510 |
| | | 120 | 1.2680 | 1.8917 | 1.5798 | 0.4410 |
| | | 150 | 0.4764 | 1.2303 | 0.8533 | 0.5331 |
| | | 180 | 0.2193 | 0.6854 | 0.4524 | 0.3296 |
| | | 240 | | 0.1302 | 0.1302 | |
| | | 300 | | 0.0411 | 0.0411 | |
| Woche 7 | Tag 5 | 0 | 0.0000 | 0.0000 | 0.0000 | 0.0000 |
| | | 30 | 0.1268 | 8.6463 | 4.3866 | 6.0242 |
| | | 60 | 3.6326 | 4.2015 | 3.9171 | 0.4023 |
| | | 90 | 5.7882 | 2.4880 | 4.1381 | 2.3336 |
| | | 120 | 2.6525 | 1.5593 | 2.1059 | 0.7730 |

Tab. 44: Arm A, Woche 7: DFUR - Konzentrationen im Vergleich

| Arm A DFUR in µg/ml | | | STATISTIK | | | |
|---------------------|-------|------------|-----------|-----------|---------|---------|
| Woche 7 | Tag 1 | Zeit [min] | Patient 1 | Patient 4 | MW | SD |
| | | 0 | 0.0000 | 0.0000 | 0.0000 | 0.0000 |
| | | 30 | 7.0727 | 17.3779 | 12.2253 | 7.2869 |
| | | 60 | 17.2054 | 9.8620 | 13.5337 | 5.1926 |
| | | 90 | 7.5265 | 4.7797 | 6.1531 | 1.9423 |
| | Tag 5 | 120 | 3.2192 | 2.4151 | 2.8171 | 0.5686 |
| | | 150 | 1.2818 | 1.3270 | 1.3044 | 0.0319 |
| | | 180 | 0.6741 | 0.8041 | 0.7391 | 0.0920 |
| | | 240 | 0.1460 | 0.2601 | 0.2030 | 0.0807 |
| | | 300 | | 0.1221 | 0.1221 | |
| | | 360 | | 0.0637 | 0.0637 | |
| | Tag 5 | 0 | 0.0000 | 0.0000 | 0.0000 | 0.0000 |
| | | 30 | 0.4167 | 17.5929 | 9.0048 | 12.1454 |
| | | 60 | 10.1168 | 8.2404 | 9.1786 | 1.3268 |
| | | 90 | 14.8567 | 4.4586 | 9.6576 | 7.3526 |
| | | 120 | 7.6380 | 2.3355 | 4.9867 | 3.7495 |

Tab. 45: Arm A, Woche 7: Konzentrationssummen im Vergleich

| Summe CCB+DFCR+DFUR in µg/ml | | | STATISTIK | | | |
|------------------------------|-------|------------|-----------|-----------|---------|---------|
| Woche 7 | Tag 1 | Zeit [min] | Patient 1 | Patient 4 | MW | SD |
| | | 0 | 0.0000 | 0.0000 | 0.0000 | 0.0000 |
| | | 30 | 19.3693 | 72.8318 | 46.1005 | 37.8037 |
| | | 60 | 35.0771 | 20.5795 | 27.8283 | 10.2514 |
| | | 90 | 14.1992 | 9.1627 | 11.6810 | 3.5613 |
| | Tag 5 | 120 | 5.1448 | 4.7124 | 4.9286 | 0.3057 |
| | | 150 | 2.0443 | 2.7024 | 2.3734 | 0.4654 |
| | | 180 | 1.0087 | 1.5536 | 1.2812 | 0.3853 |
| | | 240 | 0.1460 | 0.3903 | 0.2681 | 0.1728 |
| | | 300 | | 0.1632 | 0.1632 | |
| | | 360 | | 0.0637 | 0.0637 | |
| | Tag 5 | 0 | 0.0000 | 0.0000 | 0.0000 | 0.0000 |
| | | 30 | 1.0131 | 47.1017 | 24.0574 | 32.5895 |
| | | 60 | 29.9578 | 16.7588 | 23.3583 | 9.3331 |
| | | 90 | 30.4143 | 8.5862 | 19.5003 | 15.4348 |
| | | 120 | 12.8780 | 4.5694 | 8.7237 | 5.8751 |

Tab. 46: Arm B, Woche 7: CCB - Konzentrationen im Vergleich

| Arm B CCB in µg/ml | | | STATISTIK | | | |
|--------------------|-------|------------|-----------|-----------|---------|---------|
| Woche 7 | Tag 1 | Zeit [min] | Patient 2 | Patient 3 | MW | SD |
| | | 0 | 0.0000 | 0.0000 | 0.0000 | 0.0000 |
| | | 30 | 36.8360 | 0.9522 | 18.8941 | 25.3737 |
| | | 60 | 11.1571 | 6.9556 | 9.0564 | 2.9709 |
| | | 90 | 3.9966 | 4.2485 | 4.1226 | 0.1781 |
| | | 120 | 1.9471 | 1.9086 | 1.9278 | 0.0272 |
| | | 150 | 1.6055 | 0.5807 | 1.0931 | 0.7246 |
| | | 180 | 0.9607 | 0.5551 | 0.7579 | 0.2868 |
| | | 240 | 0.3715 | 0.5167 | 0.4441 | 0.1027 |
| | | 300 | | | | |
| Woche 7 | Tag 5 | 360 | | | | |
| | | 0 | 0.0000 | 0.0000 | 0.0000 | 0.0000 |
| | | 30 | 1.1571 | 7.1563 | 4.1567 | 4.2420 |
| | | 60 | 8.8557 | 5.8155 | 7.3356 | 2.1497 |
| | | 90 | 8.1341 | 2.9633 | 5.5487 | 3.6563 |
| | | 120 | 11.2639 | 1.0845 | 6.1742 | 7.1979 |

Tab. 47: Arm B, Woche 7: DFCR - Konzentrationen im Vergleich

| Arm B DFCR in µg/ml | | | STATISTIK | | | |
|---------------------|-------|------------|-----------|-----------|--------|--------|
| Woche 7 | Tag 1 | Zeit [min] | Patient 2 | Patient 3 | MW | SD |
| | | 0 | 0.0000 | 0.0000 | 0.0000 | 0.0000 |
| | | 30 | 8.1391 | 0.6374 | 4.3883 | 5.3045 |
| | | 60 | 9.2426 | 6.1652 | 7.7039 | 2.1761 |
| | | 90 | 7.3611 | 6.1069 | 6.7340 | 0.8868 |
| | | 120 | 4.9006 | 4.2975 | 4.5990 | 0.4265 |
| | | 150 | 2.9472 | 2.5017 | 2.7245 | 0.3150 |
| | | 180 | 2.6251 | 2.1899 | 2.4075 | 0.3078 |
| | | 240 | 1.4428 | 1.4633 | 1.4531 | 0.0145 |
| | | 300 | 0.5278 | 0.2981 | 0.4130 | 0.1624 |
| Woche 7 | Tag 5 | 360 | | 0.0891 | 0.0891 | |
| | | 0 | 0.2810 | 0.0000 | 0.1405 | 0.1987 |
| | | 30 | 0.6888 | 5.5757 | 3.1323 | 3.4556 |
| | | 60 | 4.9623 | 5.6785 | 5.3204 | 0.5065 |
| | | 90 | 6.8060 | 4.3112 | 5.5586 | 1.7641 |
| | | 120 | 8.5675 | 3.0809 | 5.8242 | 3.8796 |

Tab. 48: Arm B, Woche 7: DFUR - Konzentrationen im Vergleich

| Arm B DFUR in µg/ml | | | STATISTIK | | | |
|---------------------|-------|------------|-----------|-----------|--------|--------|
| Woche 7 | Tag 1 | Zeit [min] | Patient 2 | Patient 3 | MW | SD |
| | | 0 | 0.0000 | 0.0000 | 0.0000 | 0.0000 |
| | | 30 | 5.2150 | 0.8280 | 3.0215 | 3.1020 |
| | | 60 | 8.6545 | 0.8280 | 4.7412 | 5.5341 |
| | | 90 | 6.1040 | 9.3259 | 7.7150 | 2.2782 |
| | | 120 | 3.8615 | 6.5950 | 5.2282 | 1.9329 |
| | | 150 | 3.0096 | 3.7686 | 3.3891 | 0.5367 |
| | | 180 | 1.9241 | 2.8928 | 2.4084 | 0.6850 |
| | | 240 | 0.9766 | 1.8445 | 1.4106 | 0.6137 |
| | | 300 | 0.2680 | 0.5786 | 0.4233 | 0.2196 |
| | | 360 | | 0.2521 | 0.2521 | |
| Woche 7 | Tag 5 | 0 | 0.0000 | 0.0000 | 0.0000 | 0.0000 |
| | | 30 | 0.4326 | 6.8073 | 3.6200 | 4.5076 |
| | | 60 | 4.3073 | 8.9915 | 6.6494 | 3.3122 |
| | | 90 | 7.5186 | 6.7675 | 7.1430 | 0.5311 |
| | | 120 | 10.3450 | 4.6762 | 7.5106 | 4.0084 |

Tab. 49: Arm B, Woche 7: Konzentrationssummen im Vergleich

| Summe CCB+DFCR+DFUR in µg/ml | | | STATISTIK | | | |
|------------------------------|-------|------------|-----------|-----------|---------|---------|
| Woche 7 | Tag 1 | Zeit [min] | Patient 2 | Patient 3 | MW | SD |
| | | 0 | 0.0000 | 0.0000 | 0.0000 | 0.0000 |
| | | 30 | 50.1901 | 2.4176 | 26.3039 | 33.7803 |
| | | 60 | 29.0542 | 13.9488 | 21.5015 | 10.6811 |
| | | 90 | 17.4617 | 19.6813 | 18.5715 | 1.5695 |
| | | 120 | 10.7091 | 12.8011 | 11.7551 | 1.4792 |
| | | 150 | 7.5623 | 6.8510 | 7.2066 | 0.5029 |
| | | 180 | 5.5099 | 5.6377 | 5.5738 | 0.0904 |
| | | 240 | 2.7909 | 3.8245 | 3.3077 | 0.7308 |
| | | 300 | 0.7958 | 0.8767 | 0.8363 | 0.0572 |
| | | 360 | | 0.3412 | 0.3412 | |
| Woche 7 | Tag 5 | 0 | 0.2810 | 0.0000 | 0.1405 | 0.1987 |
| | | 30 | 2.2785 | 19.5393 | 10.9089 | 12.2052 |
| | | 60 | 18.1253 | 20.4856 | 19.3055 | 1.6690 |
| | | 90 | 22.4587 | 14.0420 | 18.2503 | 5.9515 |
| | | 120 | 30.1764 | 8.8416 | 19.5090 | 15.0860 |

Tab. 50: Arm A: Vergleich der AUCs von CCB, DFCR & DFUR

| Arm A CCB+DFCR+DFUR | | | | STATISTIK | | |
|---------------------|-------|------------------------------|------------|------------|------------|----------|
| | | Parameter | Patient 1 | Patient 4 | MW | SD |
| Woche 1 | Tag 1 | AUC _{CCB} | 534.4150 | 510.2048 | 522.3099 | 17.1192 |
| | | AUC _{DFCR} | 509.4243 | 678.0329 | 593.7286 | 119.2243 |
| | | AUC _{DFUR} | 199.1640 | 885.6289 | 542.3965 | 485.4040 |
| | | AUC _{CCB+DFCR+DFUR} | 1243.0033 | 2073.8667 | 1658.4350 | 587.5091 |
| | Tag 5 | AUC _{CCB} | 1090.6064 | 628.7576 | 859.6820 | 326.5764 |
| | | AUC _{DFCR} | 381.8883 | 992.8375 | 687.3629 | 432.0063 |
| | | AUC _{DFUR} | 102.0303 | 701.3933 | 401.7118 | 423.8136 |
| | | AUC _{CCB+DFCR+DFUR} | 1574.5250 | 2322.9885 | 1948.7568 | 529.2436 |
| Woche 4 | Tag 1 | AUC _{CCB} | 716.8232 | 766.0758 | 741.4495 | 34.8268 |
| | | AUC _{DFCR} | 10211.7718 | 10361.8231 | 10286.7975 | 106.1023 |
| | | AUC _{DFUR} | 101.8710 | 1080.1750 | 591.0230 | 691.7654 |
| | | AUC _{CCB+DFCR+DFUR} | 1409.0301 | 2716.2816 | 2062.6559 | 924.3664 |
| | Tag 5 | AUC _{CCB} | 694.5345 | 785.6106 | 740.0726 | 64.4005 |
| | | AUC _{DFCR} | 409.9040 | 567.5634 | 488.7337 | 111.4820 |
| | | AUC _{DFUR} | 8.7580 | 767.6752 | 388.2166 | 536.6355 |
| | | AUC _{CCB+DFCR+DFUR} | 1113.1965 | 2120.8492 | 1617.0229 | 712.5181 |
| Woche 7 | Tag 1 | AUC _{CCB} | 722.1394 | 1518.7660 | 1120.4527 | 563.3001 |
| | | AUC _{DFCR} | 478.7869 | 752.0561 | 615.4215 | 193.2305 |
| | | AUC _{DFUR} | 1128.2642 | 1133.8774 | 1131.0708 | 3.9691 |
| | | AUC _{CCB+DFCR+DFUR} | 2329.1904 | 3404.6995 | 2866.9450 | 760.4998 |
| | Tag 5 | AUC _{CCB} | 832.2374 | 814.6883 | 823.4629 | 12.4091 |
| | | AUC _{DFCR} | 326.2166 | 483.4647 | 404.8407 | 111.1912 |
| | | AUC _{DFUR} | 876.2739 | 943.7899 | 910.0319 | 47.7410 |
| | | AUC _{CCB+DFCR+DFUR} | 2034.7279 | 2241.9428 | 2138.3354 | 146.5231 |

Tab. 51: Arm B: Vergleich der AUCs von CCB, DFCR & DFUR

| Arm B CCB+DFCR+DFUR | | | | STATISTIK | | |
|---------------------|-------|------------------------------|------------|------------|------------|-----------|
| | | Parameter | Patient 2 | Patient 3 | MW | SD |
| Woche 1 | Tag 1 | AUC _{CCB} | 3571.4985 | 534.6071 | 2053.0528 | 2147.4065 |
| | | AUC _{DFCR} | 1205.9116 | 1070.5107 | 1138.2112 | 95.7429 |
| | | AUC _{DFUR} | 991.6003 | 972.0143 | 981.8073 | 13.8494 |
| | | AUC _{CCB+DFCR+DFUR} | 5769.0104 | 2577.1321 | 4173.0713 | 2256.9988 |
| | Tag 5 | AUC _{CCB} | 2444.7697 | 339.1332 | 1391.9515 | 1488.9098 |
| | | AUC _{DFCR} | 926.5250 | 543.6086 | 735.0668 | 270.7628 |
| | | AUC _{DFUR} | 812.3807 | 747.6114 | 779.9961 | 45.7988 |
| | | AUC _{CCB+DFCR+DFUR} | 4183.6753 | 1630.3532 | 2907.0143 | 1805.4714 |
| Woche 4 | Tag 1 | AUC _{CCB} | 1273.3346 | 511.9983 | 892.6665 | 538.3461 |
| | | AUC _{DFCR} | 10838.0910 | 10367.4263 | 10602.7587 | 332.8102 |
| | | AUC _{DFUR} | 1071.8950 | 1370.1831 | 1221.0391 | 210.9215 |
| | | AUC _{CCB+DFCR+DFUR} | 3698.5192 | 2738.6926 | 3218.6059 | 678.6999 |
| | Tag 5 | AUC _{CCB} | 2267.6772 | 754.6114 | 1511.1443 | 1069.8991 |
| | | AUC _{DFCR} | 873.2181 | 760.2295 | 816.7238 | 79.8950 |
| | | AUC _{DFUR} | 695.3025 | 1421.0191 | 1058.1608 | 513.1591 |
| | | AUC _{CCB+DFCR+DFUR} | 3836.1978 | 2935.8601 | 3386.0290 | 636.6349 |
| Woche 7 | Tag 1 | AUC _{CCB} | 1731.7896 | 495.3459 | 1113.5678 | 874.2977 |
| | | AUC _{DFCR} | 1214.0811 | 798.1665 | 1006.1238 | 294.0960 |
| | | AUC _{DFUR} | 966.6007 | 923.4873 | 945.0440 | 30.4858 |
| | | AUC _{CCB+DFCR+DFUR} | 3912.4714 | 2216.9997 | 3064.7356 | 1198.8795 |
| | Tag 5 | AUC _{CCB} | 713.3647 | 494.3211 | 603.8429 | 154.8872 |
| | | AUC _{DFCR} | 506.4428 | 513.1768 | 509.8098 | 4.7617 |
| | | AUC _{DFUR} | 522.9299 | 747.1338 | 635.0319 | 158.5361 |
| | | AUC _{CCB+DFCR+DFUR} | 1742.7374 | 1754.6317 | 1748.6846 | 8.4105 |

4.2.2 Studie B

4.2.2.1 Patient 27

Tab. 52: Patient 27: Konzentrationen von CCB, DFCR & DFUR

| Zeit [min] | CCB [$\mu\text{g}/\text{ml}$] | DFCR [$\mu\text{g}/\text{ml}$] | DFUR [$\mu\text{g}/\text{ml}$] | Summe [$\mu\text{g}/\text{ml}$] |
|------------|---------------------------------|----------------------------------|----------------------------------|-----------------------------------|
| 0 | 0.0000 | 0.0000 | 0.0000 | 0.0000 |
| 30 | 1.0363 | | | 1.0363 |
| 60 | 10.7848 | 5.5009 | 3.3293 | 19.6150 |
| 90 | 4.2710 | 2.6138 | 4.2480 | 11.1328 |
| 120 | 1.6054 | 1.7842 | 2.7398 | 6.1294 |
| 150 | 0.5038 | 2.4953 | 2.8229 | 5.8220 |
| 180 | 0.1639 | 2.4049 | 1.3751 | 3.9439 |
| 240 | 0.0567 | | 0.4057 | 0.4624 |
| 300 | | | 0.0455 | 0.0455 |
| 360 | | | | |

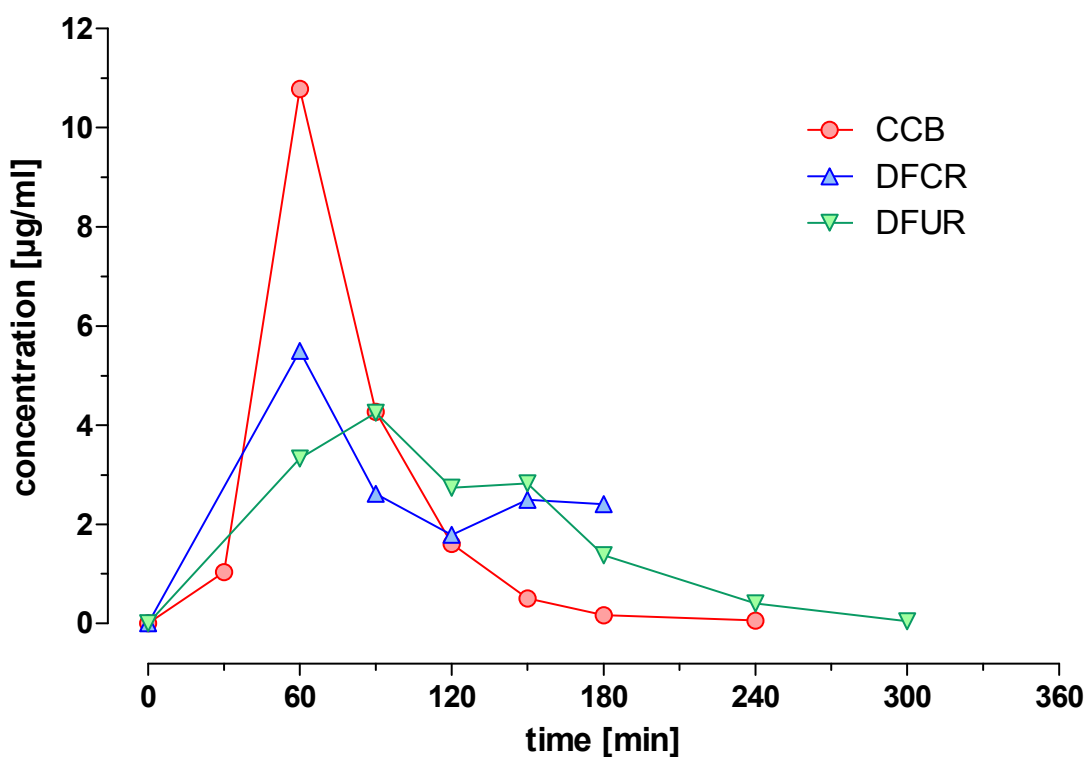


Abb. 65: Patient 27: Plasmakonzentrations-Zeit-Kurven von CCB, DFCR & DFUR

4.2.2.2 Patient 28

Tab. 53: Patient 28: Konzentrationen von CCB, DFCR & DFUR

| Zeit [min] | CCB [$\mu\text{g}/\text{ml}$] | DFCR [$\mu\text{g}/\text{ml}$] | DFUR [$\mu\text{g}/\text{ml}$] | Summe [$\mu\text{g}/\text{ml}$] |
|------------|---------------------------------|----------------------------------|----------------------------------|-----------------------------------|
| 0 | 0.0000 | 0.0000 | 0.0000 | 0.0000 |
| 30 | 3.5572 | 3.9597 | 3.9779 | 11.4947 |
| 60 | 3.2457 | 4.6534 | 4.9420 | 12.8411 |
| 90 | 3.5179 | 10.0888 | 9.4243 | 23.0310 |
| 120 | 0.6997 | 3.8925 | 4.8862 | 9.4784 |
| 150 | 0.3721 | 2.6462 | 3.3351 | 6.3534 |
| 180 | 0.3167 | 1.8824 | 2.9236 | 5.1227 |
| 240 | 0.1577 | 0.9717 | 2.5877 | 3.7171 |
| 300 | 0.1114 | 0.4349 | 1.8438 | 2.3902 |
| 360 | 0.0567 | 0.1920 | 1.2833 | 1.5321 |

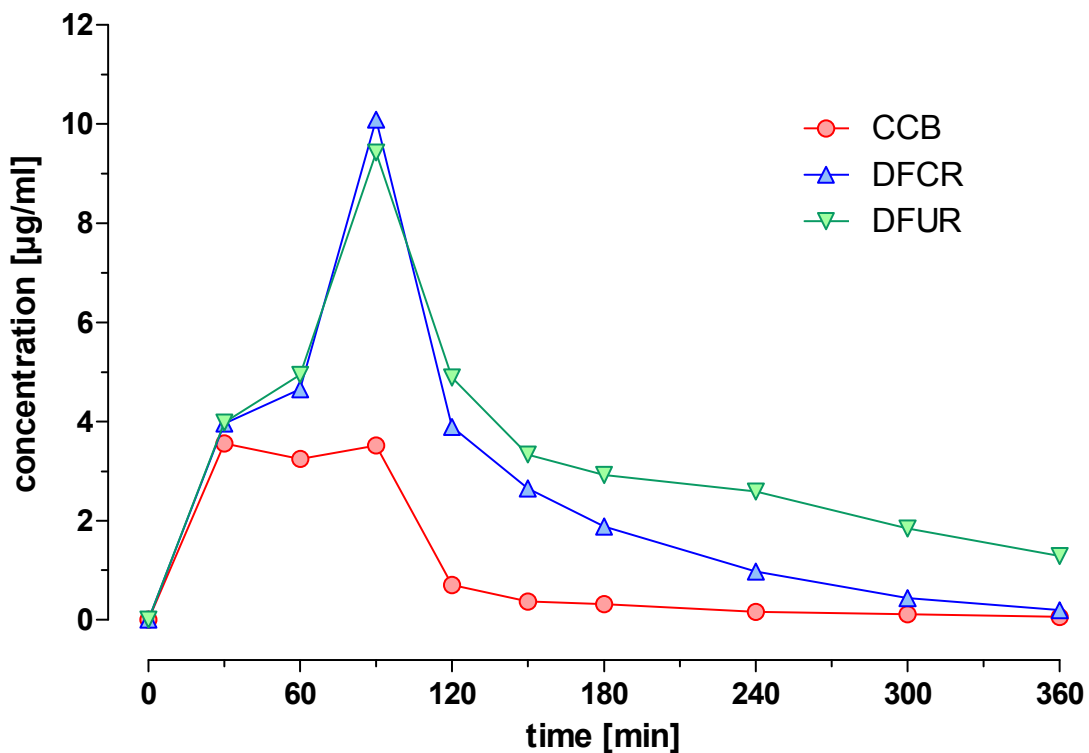


Abb. 66: Patient 28: Plasmakonzentrations-Zeit-Kurven von CCB, DFCR & DFUR

4.2.2.3 Patient 29

Tab. 54: Patient 29: Konzentrationen von CCB, DFCR & DFUR

| Zeit [min] | CCB [$\mu\text{g}/\text{ml}$] | DFCR [$\mu\text{g}/\text{ml}$] | DFUR [$\mu\text{g}/\text{ml}$] | Summe [$\mu\text{g}/\text{ml}$] |
|------------|---------------------------------|----------------------------------|----------------------------------|-----------------------------------|
| 0 | 0.0000 | 0.0000 | 0.0000 | 0.0000 |
| 30 | 0.2957 | 0.3201 | 0.2729 | 0.8887 |
| 60 | 0.2958 | 0.5669 | 0.4618 | 1.3246 |
| 90 | 1.1777 | 2.5434 | 2.0896 | 5.8107 |
| 120 | 2.4575 | 6.3073 | 4.3371 | 13.1019 |
| 150 | 2.2166 | 4.1205 | 3.1797 | 9.5167 |
| 180 | 1.4140 | 2.9181 | 3.0061 | 7.3381 |
| 240 | 0.1756 | 1.3892 | 1.0828 | 2.6475 |
| 300 | 0.0288 | 0.5268 | | 0.5556 |
| 360 | | 0.1954 | | 0.1954 |

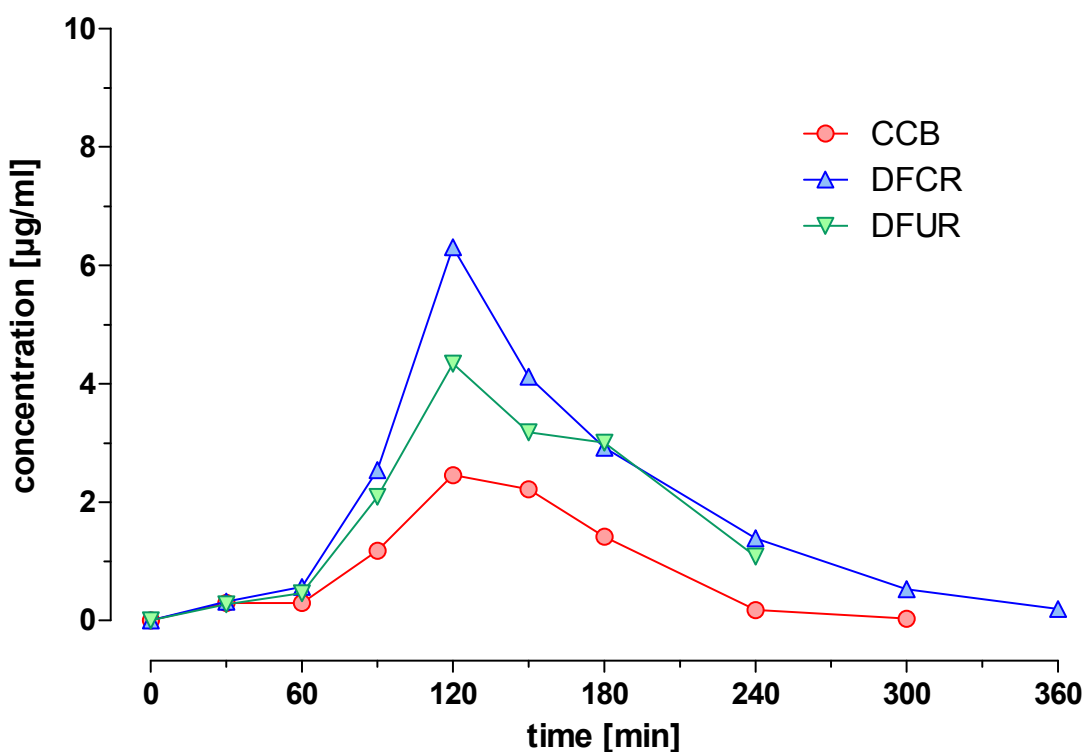


Abb. 67: Patient 29: Plasmakonzentrations-Zeit-Kurven von CCB, DFCR & DFUR

4.2.2.4 Patient 30

Tab. 55: Patient 30: Konzentrationen von CCB, DFCR & DFUR

| Zeit [min] | CCB [$\mu\text{g}/\text{ml}$] | DFCR [$\mu\text{g}/\text{ml}$] | DFUR [$\mu\text{g}/\text{ml}$] | Summe [$\mu\text{g}/\text{ml}$] |
|------------|---------------------------------|----------------------------------|----------------------------------|-----------------------------------|
| 0 | 0.0000 | 0.0000 | 0.0000 | 0.0000 |
| 30 | 9.4464 | 1.9957 | 0.8103 | 12.2523 |
| 60 | 14.6263 | 5.0316 | 2.4752 | 22.1331 |
| 90 | 6.4473 | 4.6194 | 2.1566 | 13.2233 |
| 120 | 4.1965 | 3.4251 | 1.8708 | 9.4923 |
| 150 | 1.4940 | 2.1831 | 1.0517 | 4.7288 |
| 180 | 1.5303 | 1.7778 | 0.8535 | 4.1616 |
| 240 | 0.5487 | 0.6140 | 0.1667 | 1.3294 |
| 300 | | 0.2923 | | 0.2923 |
| 360 | | | | |

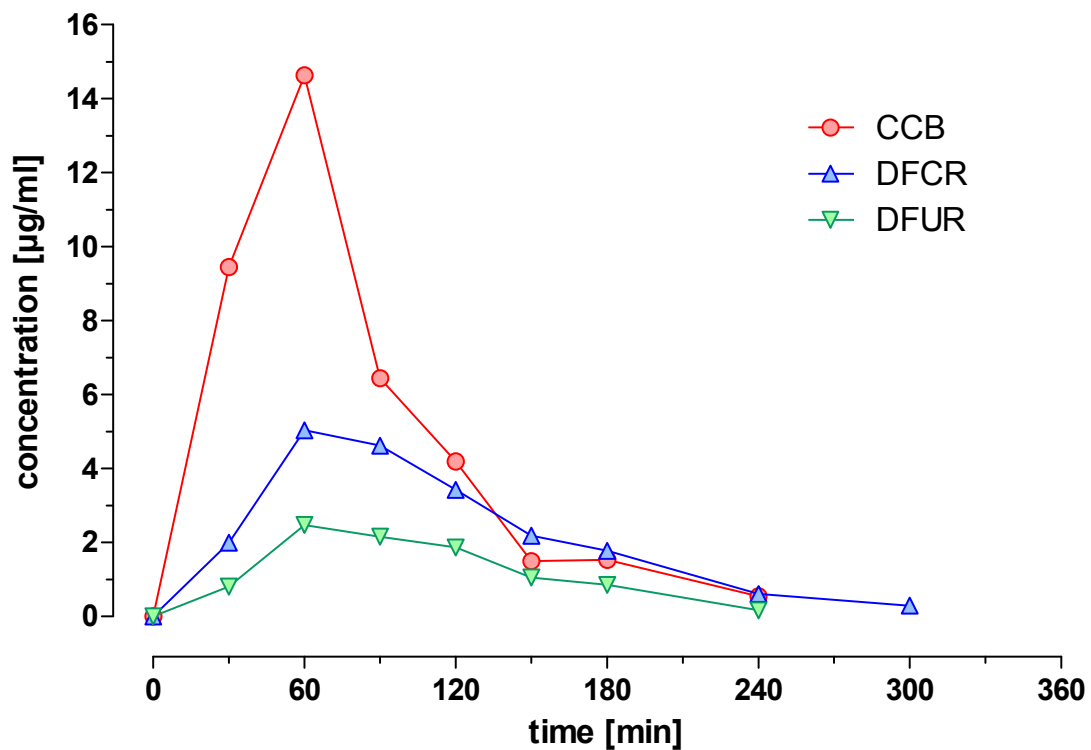


Abb. 68: Patient 30: Plasmakonzentrations-Zeit-Kurven von CCB, DFCR & DFUR

4.2.2.5 Patient 31

Tab. 56: Patient 31: Konzentrationen von CCB, DFCR & DFUR

| Zeit [min] | CCB [$\mu\text{g}/\text{ml}$] | DFCR [$\mu\text{g}/\text{ml}$] | DFUR [$\mu\text{g}/\text{ml}$] | Summe [$\mu\text{g}/\text{ml}$] |
|------------|---------------------------------|----------------------------------|----------------------------------|-----------------------------------|
| 0 | 0.0000 | 0.0000 | 0.0000 | 0.0000 |
| 30 | 0.4041 | 2.2441 | | 2.6482 |
| 60 | 0.3775 | 2.4347 | | 2.8122 |
| 90 | 1.7698 | 5.1317 | 1.5773 | 8.4788 |
| 120 | 1.0997 | 5.3191 | 2.0569 | 8.4757 |
| 150 | 1.9347 | 8.0530 | 3.4861 | 13.4738 |
| 180 | 0.5887 | 4.2222 | 1.3771 | 6.1879 |
| 240 | 0.3126 | 4.3357 | 0.7101 | 5.3584 |
| 300 | 0.1788 | 3.2580 | 0.2527 | 3.6895 |
| 360 | 0.0590 | 2.3924 | 0.0537 | 2.5051 |

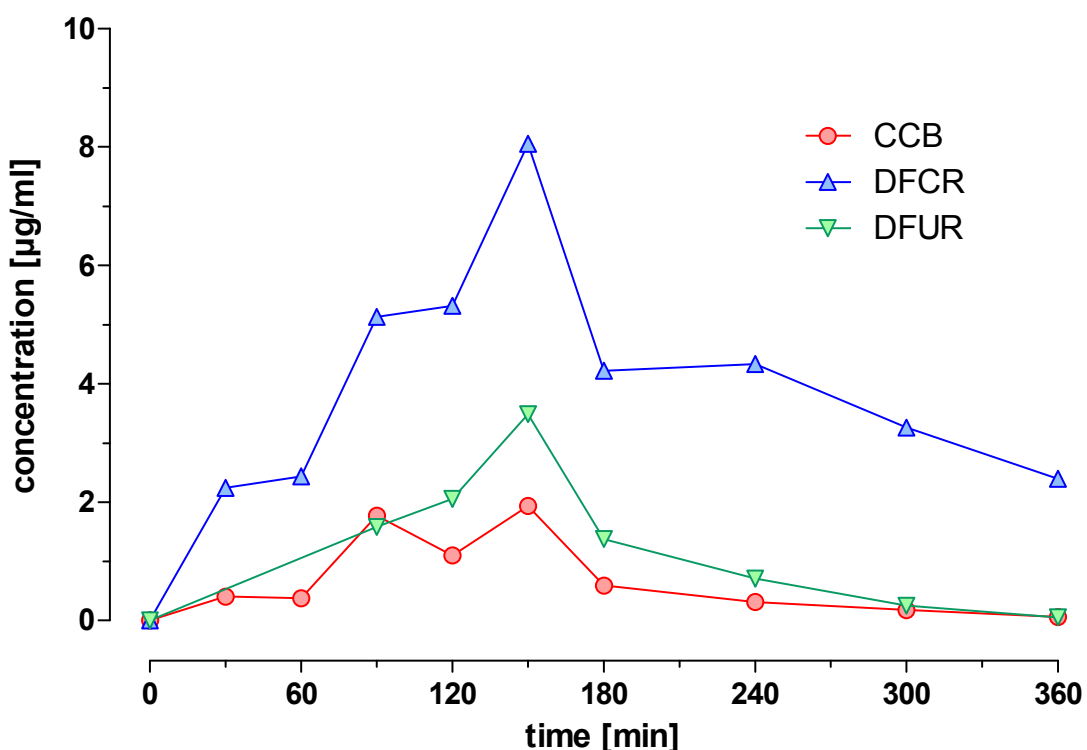


Abb. 69: Patient 31: Plasmakonzentrations-Zeit-Kurven von CCB, DFCR & DFUR

4 Ergebnisse

4.2.2.6 Vergleich der Plasmakonzentrationen aller Patienten

Tab. 57: DL 4: CCB - Konzentrationen im Vergleich

| DL 4 CCB in µg/ml | | | | STATISTIK | | | | | | | | |
|-------------------|------------|------------|------------|-----------|--------|---------|--------|--------|----------|---------|--------|---------|
| Zeit [min] | Patient 27 | Patient 28 | Patient 29 | MW | Median | Schiefe | SD | Error | Vk | Range | Min | Max |
| 0 | 0.0000 | 0.0000 | 0.0000 | 0.0000 | 0.0000 | 0.0000 | 0.0000 | 0.0000 | 0.0000 | 0.0000 | 0.0000 | |
| 30 | 1.0363 | 3.5572 | 0.2957 | 1.6297 | 1.0363 | 0.5934 | 1.7098 | 1.2090 | 104.9150 | 3.2615 | 0.2957 | 3.5572 |
| 60 | 10.7848 | 3.2457 | 0.2958 | 4.7754 | 3.2457 | 1.5298 | 5.4092 | 3.8249 | 113.2722 | 10.4890 | 0.2958 | 10.7848 |
| 90 | 4.2710 | 3.5179 | 1.1777 | 2.9889 | 3.5179 | -0.5291 | 1.6131 | 1.1406 | 53.9697 | 3.0933 | 1.1777 | 4.2710 |
| 120 | 1.6054 | 0.6997 | 2.4575 | 1.5875 | 1.6054 | -0.0179 | 0.8790 | 0.6216 | 55.3722 | 1.7578 | 0.6997 | 2.4575 |
| 150 | 0.5038 | 0.3721 | 2.2166 | 1.0308 | 0.5038 | 0.5270 | 1.0290 | 0.7276 | 99.8237 | 1.8445 | 0.3721 | 2.2166 |
| 180 | 0.1639 | 0.3167 | 1.4140 | 0.6315 | 0.3167 | 0.3148 | 0.6819 | 0.4822 | 107.9727 | 1.2500 | 0.1639 | 1.4140 |
| 240 | 0.0567 | 0.1577 | 0.1756 | 0.1300 | 0.1577 | -0.0277 | 0.0641 | 0.0453 | 49.2979 | 0.1188 | 0.0567 | 0.1756 |
| 300 | | 0.1114 | 0.0288 | 0.0701 | 0.0701 | 0.0000 | 0.0584 | 0.0413 | 83.3225 | 0.0826 | 0.0288 | 0.1114 |
| 360 | | 0.0567 | | 0.0567 | 0.0567 | 0.0000 | | | | 0.0000 | 0.0567 | 0.0567 |

Tab. 58: DL 4: DFCR - Konzentrationen im Vergleich

| DL 4 DFCR in µg/ml | | | | STATISTIK | | | | | | | | |
|--------------------|------------|------------|------------|-----------|--------|---------|--------|--------|----------|--------|--------|---------|
| Zeit [min] | Patient 27 | Patient 28 | Patient 29 | MW | Median | Schiefe | SD | Error | Vk | Range | Min | Max |
| 0 | 0.0000 | 0.0000 | 0.0000 | 0.0000 | 0.0000 | 0.0000 | 0.0000 | 0.0000 | 0.0000 | 0.0000 | 0.0000 | 0.0000 |
| 30 | | 3.9597 | 0.3201 | 2.1399 | 2.1399 | 0.0000 | 2.5735 | 1.8198 | 120.2648 | 3.6395 | 0.3201 | 3.9597 |
| 60 | 5.5009 | 4.6534 | 0.5669 | 3.5737 | 4.6534 | -1.0796 | 2.6382 | 1.8655 | 73.8230 | 4.9340 | 0.5669 | 5.5009 |
| 90 | 2.6138 | 10.0888 | 2.5434 | 5.0820 | 2.6138 | 2.4682 | 4.3362 | 3.0661 | 85.3238 | 7.5454 | 2.5434 | 10.0888 |
| 120 | 1.7842 | 3.8925 | 6.3073 | 3.9946 | 3.8925 | 0.1022 | 2.2633 | 1.6004 | 56.6584 | 4.5231 | 1.7842 | 6.3073 |
| 150 | 2.4953 | 2.6462 | 4.1205 | 3.0873 | 2.6462 | 0.4411 | 0.8979 | 0.6349 | 29.0833 | 1.6251 | 2.4953 | 4.1205 |
| 180 | 2.4049 | 1.8824 | 2.9181 | 2.4018 | 2.4049 | -0.0031 | 0.5179 | 0.3662 | 21.5616 | 1.0357 | 1.8824 | 2.9181 |
| 240 | | 0.9717 | 1.3892 | 1.1804 | 1.1804 | 0.0000 | 0.2952 | 0.2088 | 25.0099 | 0.4175 | 0.9717 | 1.3892 |
| 300 | | 0.4349 | 0.5268 | 0.4809 | 0.4809 | 0.0000 | 0.0649 | 0.0459 | 13.5018 | 0.0918 | 0.4349 | 0.5268 |
| 360 | | 0.1920 | 0.1954 | 0.1937 | 0.1937 | 0.0000 | 0.0024 | 0.0017 | 1.2285 | 0.0034 | 0.1920 | 0.1954 |

Tab. 59: DL 4: DFUR - Konzentrationen im Vergleich

| DL 4 DFUR in µg/ml | | | |
|--------------------|------------|------------|------------|
| Zeit [min] | Patient 27 | Patient 28 | Patient 29 |
| 0 | 0.0000 | 0.0000 | 0.0000 |
| 30 | | 3.9779 | 0.2729 |
| 60 | 3.3293 | 4.9420 | 0.4618 |
| 90 | 4.2480 | 9.4243 | 2.0896 |
| 120 | 2.7398 | 4.8862 | 4.3371 |
| 150 | 2.8229 | 3.3351 | 3.1797 |
| 180 | 1.3751 | 2.9236 | 3.0061 |
| 240 | 0.4057 | 2.5877 | 1.0828 |
| 300 | 0.0455 | 1.8438 | |
| 360 | | 1.2833 | |

| STATISTIK | | | | | | | | | |
|-----------|--------|---------|--------|--------|----------|--------|--------|--------|--|
| MW | Median | Schiefe | SD | Error | Vk | Range | Min | Max | |
| 0.0000 | 0.0000 | 0.0000 | 0.0000 | 0.0000 | | 0.0000 | 0.0000 | 0.0000 | |
| 2.1254 | 2.1254 | 0.0000 | 2.6198 | 1.8525 | 123.2623 | 3.7050 | 0.2729 | 3.9779 | |
| 2.9111 | 3.3293 | -0.4182 | 2.2692 | 1.6046 | 77.9506 | 4.4802 | 0.4618 | 4.9420 | |
| 5.2540 | 4.2480 | 1.0060 | 3.7694 | 2.6654 | 71.7436 | 7.3347 | 2.0896 | 9.4243 | |
| 3.9877 | 4.3371 | -0.3494 | 1.1150 | 0.7884 | 27.9616 | 2.1464 | 2.7398 | 4.8862 | |
| 3.1126 | 3.1797 | -0.0671 | 0.2627 | 0.1857 | 8.4386 | 0.5123 | 2.8229 | 3.3351 | |
| 2.4349 | 2.9236 | -0.4886 | 0.9187 | 0.6496 | 37.7313 | 1.6309 | 1.3751 | 3.0061 | |
| 1.3587 | 1.0828 | 0.2760 | 1.1169 | 0.7897 | 82.1999 | 2.1820 | 0.4057 | 2.5877 | |
| 0.9447 | 0.9447 | 0.0000 | 1.2716 | 0.8992 | 134.6095 | 1.7983 | 0.0455 | 1.8438 | |
| 1.2833 | 1.2833 | 0.0000 | | | | 0.0000 | 1.2833 | 1.2833 | |

Tab. 60: DL 4: Konzentrationssummen im Vergleich

| DL 4 Summe CCB+DFCR+DFUR in µg/ml | | | |
|-----------------------------------|------------|------------|------------|
| Zeit [min] | Patient 27 | Patient 28 | Patient 29 |
| 0 | 0.0000 | 0.0000 | 0.0000 |
| 30 | 1.0363 | 11.4947 | 0.8887 |
| 60 | 19.6150 | 12.8411 | 1.3246 |
| 90 | 11.1328 | 23.0310 | 5.8107 |
| 120 | 6.1294 | 9.4784 | 13.1019 |
| 150 | 5.8220 | 6.3534 | 9.5167 |
| 180 | 3.9439 | 5.1227 | 7.3381 |
| 240 | 0.4624 | 3.7171 | 2.6475 |
| 300 | 0.0455 | 2.3902 | 0.5556 |
| 360 | | 1.5321 | 0.1954 |

| STATISTIK | | | | | | | | | |
|-----------|---------|---------|--------|--------|----------|---------|--------|---------|--|
| MW | Median | Schiefe | SD | Error | Vk | Range | Min | Max | |
| 0.0000 | 0.0000 | 0.0000 | 0.0000 | 0.0000 | | 0.0000 | 0.0000 | 0.0000 | |
| 4.4732 | 1.0363 | 3.4370 | 6.0812 | 4.3001 | 135.9470 | 10.6060 | 0.8887 | 11.4947 | |
| 11.2602 | 12.8411 | -1.5809 | 9.2471 | 6.5387 | 82.1220 | 18.2904 | 1.3246 | 19.6150 | |
| 13.3248 | 11.1328 | 2.1920 | 8.8170 | 6.2345 | 66.1694 | 17.2204 | 5.8107 | 23.0310 | |
| 9.5699 | 9.4784 | 0.0915 | 3.4872 | 2.4658 | 36.4388 | 6.9725 | 6.1294 | 13.1019 | |
| 7.2307 | 6.3534 | 0.8773 | 1.9975 | 1.4124 | 27.6251 | 3.6947 | 5.8220 | 9.5167 | |
| 5.4682 | 5.1227 | 0.3456 | 1.7233 | 1.2185 | 31.5143 | 3.3942 | 3.9439 | 7.3381 | |
| 2.2757 | 2.6475 | -0.3718 | 1.6589 | 1.1730 | 72.8969 | 3.2547 | 0.4624 | 3.7171 | |
| 0.9971 | 0.5556 | 0.4415 | 1.2331 | 0.8720 | 123.6729 | 2.3447 | 0.0455 | 2.3902 | |
| 0.8637 | 0.8637 | 0.0000 | 0.9452 | 0.6683 | 109.4289 | 1.3367 | 0.1954 | 1.5321 | |

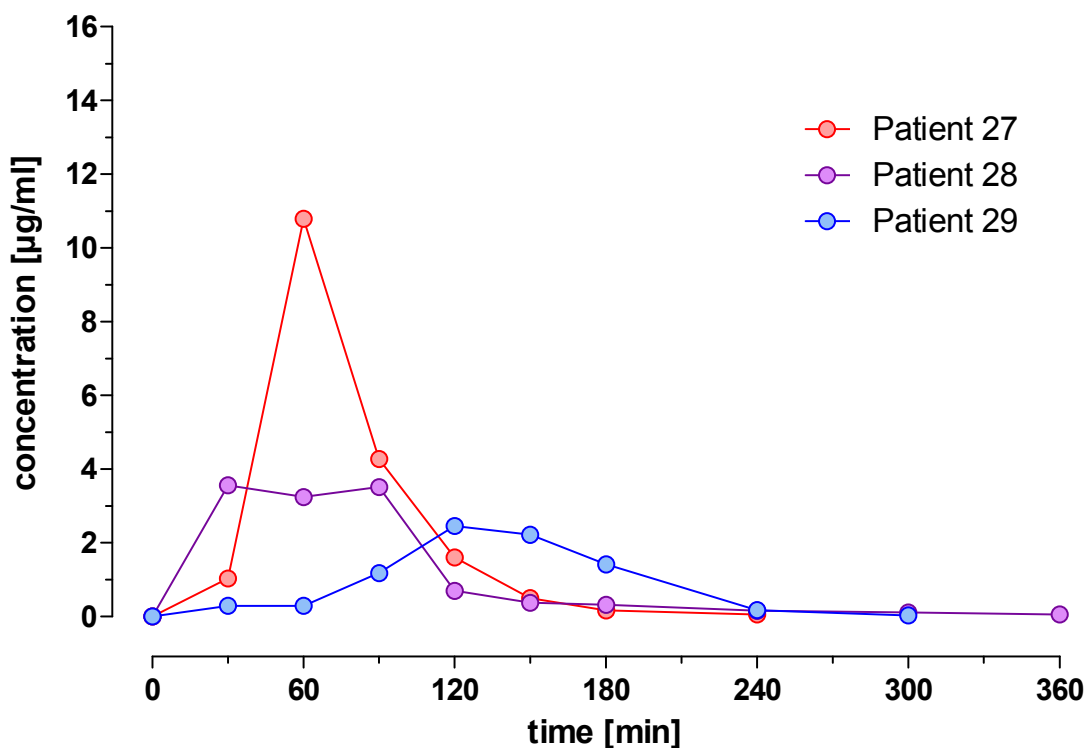


Abb. 70: DL 4, Vergleich aller Patienten: Plasmakonzentrations-Zeit-Kurven von CCB

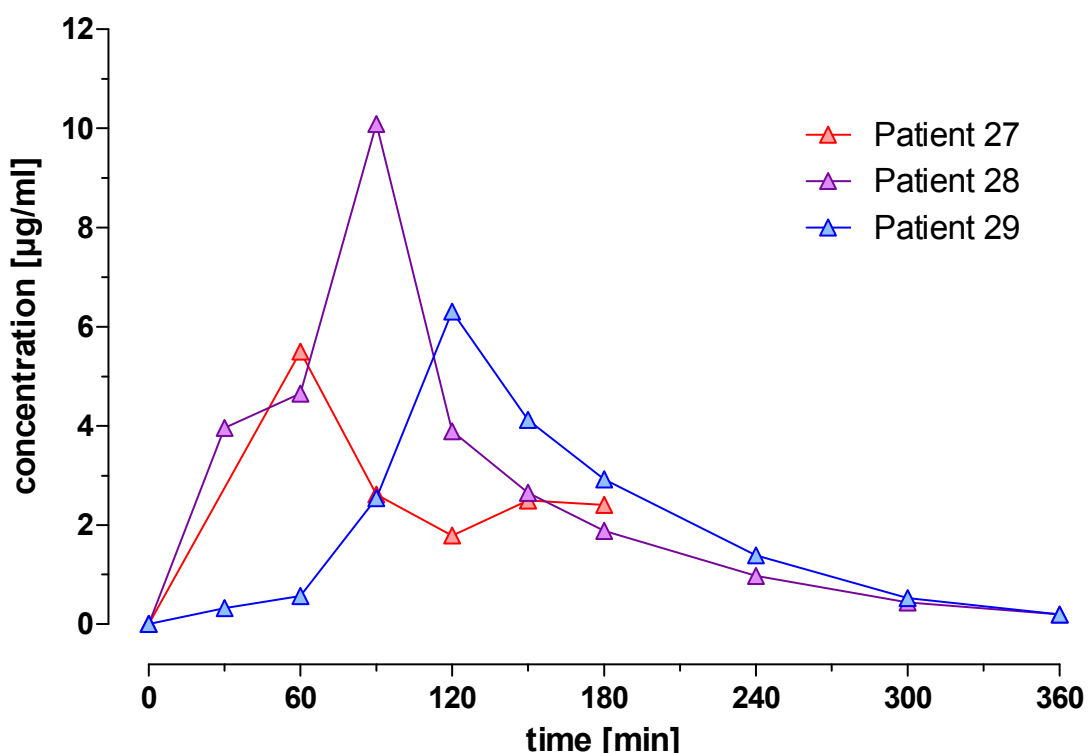


Abb. 71: DL 4, Vergleich aller Patienten: Plasmakonzentrations-Zeit-Kurven von DFCR

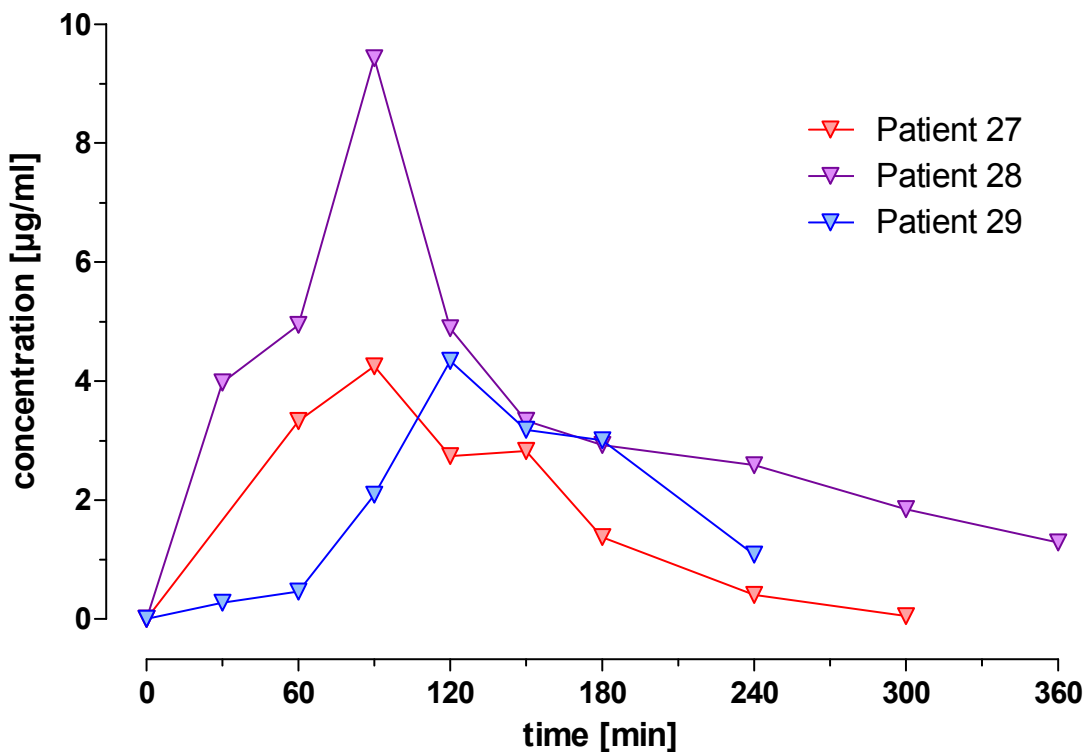


Abb. 72: DL 4, Vergleich aller Patienten: Plasmakonzentrations-Zeit-Kurven von DFUR

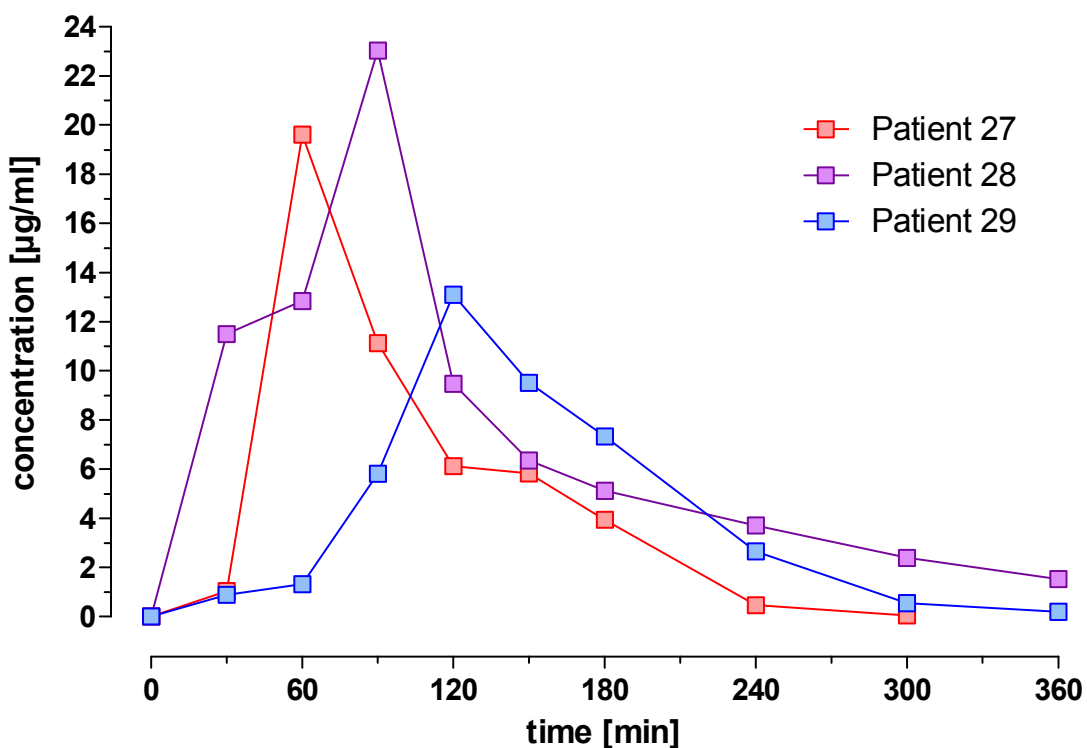


Abb. 73: DL 4, Vergleich aller Patienten: Summen der Plasmakonzentrations-Zeit-Kurven

Tab. 61: DL 7: CCB - Konzentrationen im Vergleich

| DL 7 CCB in µg/ml | | | STATISTIK | | | | | | | | |
|-------------------|------------|------------|-----------|--------|---------|---------|--------|----------|---------|--------|---------|
| Zeit [min] | Patient 30 | Patient 31 | MW | Median | Schiefe | SD | Error | Vk | Range | Min | Max |
| 0 | 0.0000 | 0.0000 | 0.0000 | 0.0000 | 0.0000 | 0.0000 | 0.0000 | 0.0000 | 0.0000 | 0.0000 | |
| 30 | 9.4464 | 0.4041 | 4.9252 | 4.9252 | 0.0000 | 6.3938 | 4.5211 | 129.8177 | 9.0423 | 0.4041 | 9.4464 |
| 60 | 14.6263 | 0.3775 | 7.5019 | 7.5019 | 0.0000 | 10.0754 | 7.1244 | 134.3051 | 14.2488 | 0.3775 | 14.6263 |
| 90 | 6.4473 | 1.7698 | 4.1085 | 4.1085 | 0.0000 | 3.3075 | 2.3387 | 80.5031 | 4.6775 | 1.7698 | 6.4473 |
| 120 | 4.1965 | 1.0997 | 2.6481 | 2.6481 | 0.0000 | 2.1898 | 1.5484 | 82.6926 | 3.0968 | 1.0997 | 4.1965 |
| 150 | 1.4940 | 1.9347 | 1.7144 | 1.7144 | 0.0000 | 0.3116 | 0.2204 | 18.1774 | 0.4407 | 1.4940 | 1.9347 |
| 180 | 1.5303 | 0.5887 | 1.0595 | 1.0595 | 0.0000 | 0.6658 | 0.4708 | 62.8434 | 0.9416 | 0.5887 | 1.5303 |
| 240 | 0.5487 | 0.3126 | 0.4306 | 0.4306 | 0.0000 | 0.1669 | 0.1180 | 38.7634 | 0.2361 | 0.3126 | 0.5487 |
| 300 | | 0.1788 | 0.1788 | 0.1788 | 0.0000 | | | | 0.0000 | 0.1788 | 0.1788 |
| 360 | | 0.0590 | 0.0590 | 0.0590 | 0.0000 | | | | 0.0000 | 0.0590 | 0.0590 |

Tab. 62: DL 7: DFCR - Konzentrationen im Vergleich

| DL 7 DFCR in µg/ml | | | STATISTIK | | | | | | | | |
|--------------------|------------|------------|-----------|--------|---------|--------|--------|----------|--------|--------|--------|
| Zeit [min] | Patient 30 | Patient 31 | MW | Median | Schiefe | SD | Error | Vk | Range | Min | Max |
| 0 | 0.0000 | 0.0000 | 0.0000 | 0.0000 | 0.0000 | 0.0000 | 0.0000 | 0.0000 | 0.0000 | 0.0000 | |
| 30 | 1.9957 | 2.2441 | 2.1199 | 2.1199 | 0.0000 | 0.1756 | 0.1242 | 8.2853 | 0.2484 | 1.9957 | 2.2441 |
| 60 | 5.0316 | 2.4347 | 3.7331 | 3.7331 | 0.0000 | 1.8363 | 1.2984 | 49.1887 | 2.5969 | 2.4347 | 5.0316 |
| 90 | 4.6194 | 5.1317 | 4.8755 | 4.8755 | 0.0000 | 0.3623 | 0.2562 | 7.4301 | 0.5123 | 4.6194 | 5.1317 |
| 120 | 3.4251 | 5.3191 | 4.3721 | 4.3721 | 0.0000 | 1.3393 | 0.9470 | 30.6324 | 1.8940 | 3.4251 | 5.3191 |
| 150 | 2.1831 | 8.0530 | 5.1180 | 5.1180 | 0.0000 | 4.1507 | 2.9350 | 81.0986 | 5.8699 | 2.1831 | 8.0530 |
| 180 | 1.7778 | 4.2222 | 3.0000 | 3.0000 | 0.0000 | 1.7284 | 1.2222 | 57.6133 | 2.4443 | 1.7778 | 4.2222 |
| 240 | 0.6140 | 4.3357 | 2.4748 | 2.4748 | 0.0000 | 2.6316 | 1.8608 | 106.3337 | 3.7216 | 0.6140 | 4.3357 |
| 300 | 0.2923 | 3.2580 | 1.7752 | 1.7752 | 0.0000 | 2.0971 | 1.4829 | 118.1355 | 2.9657 | 0.2923 | 3.2580 |
| 360 | | 2.3924 | 2.3924 | 2.3924 | 0.0000 | | | | 0.0000 | 2.3924 | 2.3924 |

Tab. 63: DL 7: DFUR - Konzentrationen im Vergleich

| DL 7 DFUR in µg/ml | | | STATISTIK | | | | | | | | |
|--------------------|------------|------------|-----------|--------|---------|--------|--------|---------|--------|--------|--------|
| Zeit [min] | Patient 30 | Patient 31 | MW | Median | Schiefe | SD | Error | Vk | Range | Min | Max |
| 0 | 0.0000 | 0.0000 | 0.0000 | 0.0000 | 0.0000 | 0.0000 | 0.0000 | 0.0000 | 0.0000 | 0.0000 | 0.0000 |
| 30 | 0.8103 | | 0.8103 | 0.8103 | 0.0000 | | | | 0.0000 | 0.8103 | 0.8103 |
| 60 | 2.4752 | | 2.4752 | 2.4752 | 0.0000 | | | | 0.0000 | 2.4752 | 2.4752 |
| 90 | 2.1566 | 1.5773 | 1.8670 | 1.8670 | 0.0000 | 0.4096 | 0.2897 | 21.9418 | 0.5793 | 1.5773 | 2.1566 |
| 120 | 1.8708 | 2.0569 | 1.9639 | 1.9639 | 0.0000 | 0.1316 | 0.0931 | 6.7012 | 0.1861 | 1.8708 | 2.0569 |
| 150 | 1.0517 | 3.4861 | 2.2689 | 2.2689 | 0.0000 | 1.7214 | 1.2172 | 75.8693 | 2.4344 | 1.0517 | 3.4861 |
| 180 | 0.8535 | 1.3771 | 1.1153 | 1.1153 | 0.0000 | 0.3703 | 0.2618 | 33.1988 | 0.5236 | 0.8535 | 1.3771 |
| 240 | 0.1667 | 0.7101 | 0.4384 | 0.4384 | 0.0000 | 0.3842 | 0.2717 | 87.6396 | 0.5434 | 0.1667 | 0.7101 |
| 300 | | 0.2527 | 0.2527 | 0.2527 | 0.0000 | | | | 0.0000 | 0.2527 | 0.2527 |
| 360 | | 0.0537 | 0.0537 | 0.0537 | 0.0000 | | | | 0.0000 | 0.0537 | 0.0537 |

Tab. 64: DL 7: Konzentrationssummen im Vergleich

| DL 7 Summe CCB+DFCR+DFUR in µg/ml | | | STATISTIK | | | | | | | | |
|--------------------------------------|------------|------------|-----------|---------|---------|---------|--------|----------|---------|--------|---------|
| Zeit [min] | Patient 30 | Patient 31 | MW | Median | Schiefe | SD | Error | Vk | Range | Min | Max |
| 0 | 0.0000 | 0.0000 | 0.0000 | 0.0000 | 0.0000 | 0.0000 | 0.0000 | | 0.0000 | 0.0000 | 0.0000 |
| 30 | 12.2523 | 2.6482 | 7.4503 | 7.4503 | 0.0000 | 6.7911 | 4.8021 | 91.1527 | 9.6041 | 2.6482 | 12.2523 |
| 60 | 22.1331 | 2.8122 | 12.4726 | 12.4726 | 0.0000 | 13.6619 | 9.6604 | 109.5353 | 19.3209 | 2.8122 | 22.1331 |
| 90 | 13.2233 | 8.4788 | 10.8510 | 10.8510 | 0.0000 | 3.3549 | 2.3723 | 30.9176 | 4.7445 | 8.4788 | 13.2233 |
| 120 | 9.4923 | 8.4757 | 8.9840 | 8.9840 | 0.0000 | 0.7189 | 0.5083 | 8.0019 | 1.0167 | 8.4757 | 9.4923 |
| 150 | 4.7288 | 13.4738 | 9.1013 | 9.1013 | 0.0000 | 6.1837 | 4.3725 | 67.9427 | 8.7450 | 4.7288 | 13.4738 |
| 180 | 4.1616 | 6.1879 | 5.1747 | 5.1747 | 0.0000 | 1.4328 | 1.0132 | 27.6890 | 2.0263 | 4.1616 | 6.1879 |
| 240 | 1.3294 | 5.3584 | 3.3439 | 3.3439 | 0.0000 | 2.8489 | 2.0145 | 85.1964 | 4.0289 | 1.3294 | 5.3584 |
| 300 | 0.2923 | 3.6895 | 1.9909 | 1.9909 | 0.0000 | 2.4022 | 1.6986 | 120.6589 | 3.3972 | 0.2923 | 3.6895 |
| 360 | | 2.5051 | 2.5051 | 2.5051 | 0.0000 | | | | 0.0000 | 2.5051 | 2.5051 |

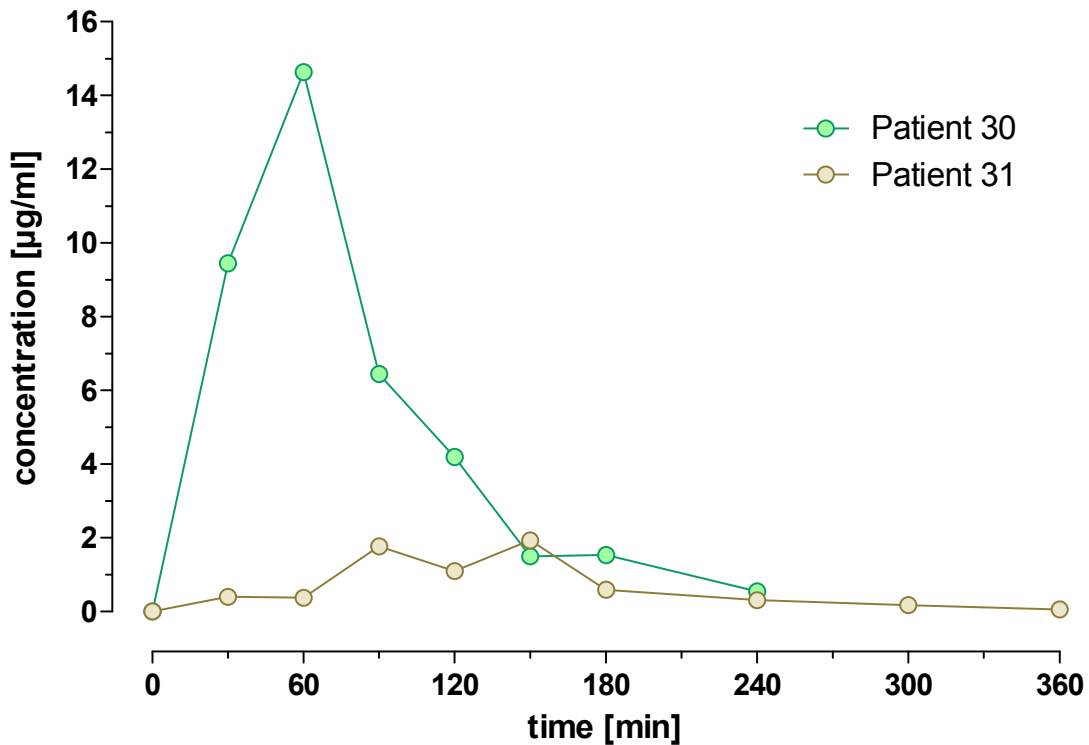


Abb. 74: DL 7, Vergleich aller Patienten: Plasmakonzentrations-Zeit-Kurven von CCB

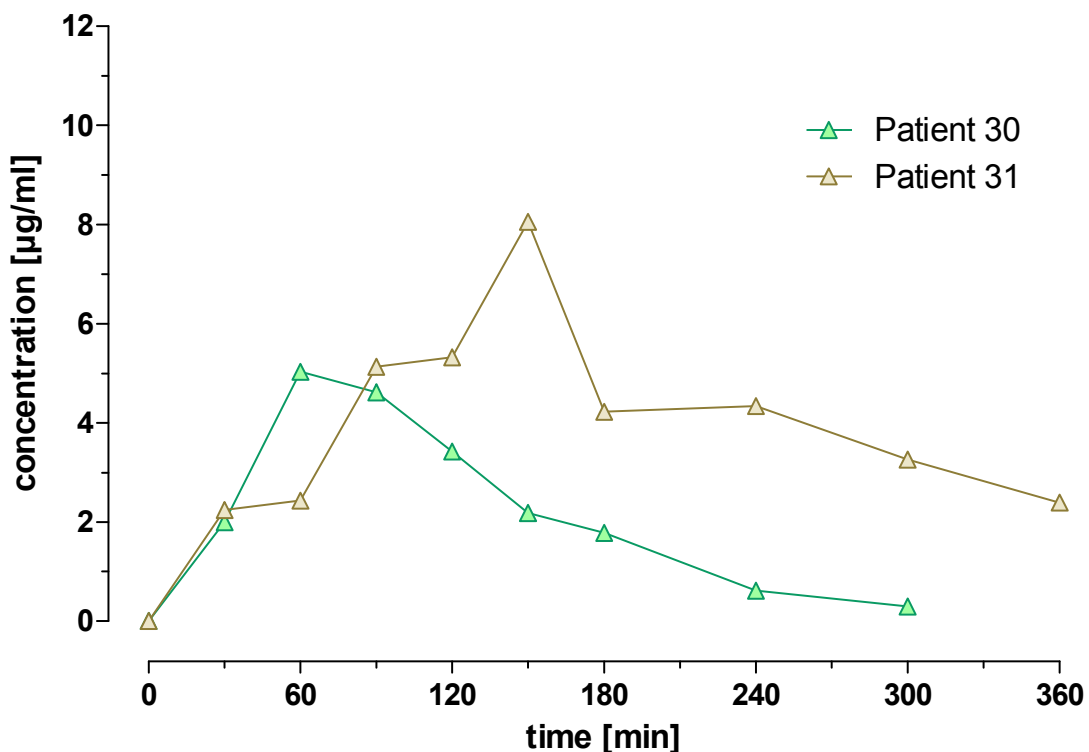


Abb. 75: DL 7, Vergleich aller Patienten: Plasmakonzentrations-Zeit-Kurven von DFCR

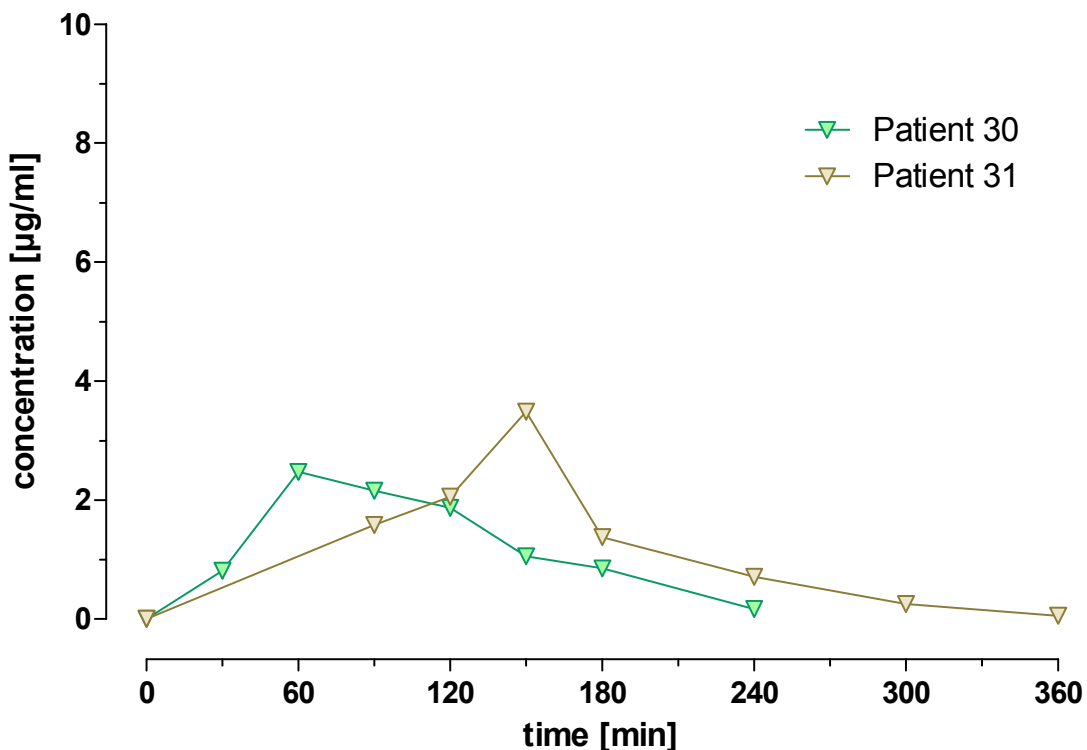


Abb. 76: DL 7, Vergleich aller Patienten: Plasmakonzentrations-Zeit-Kurven von DFUR

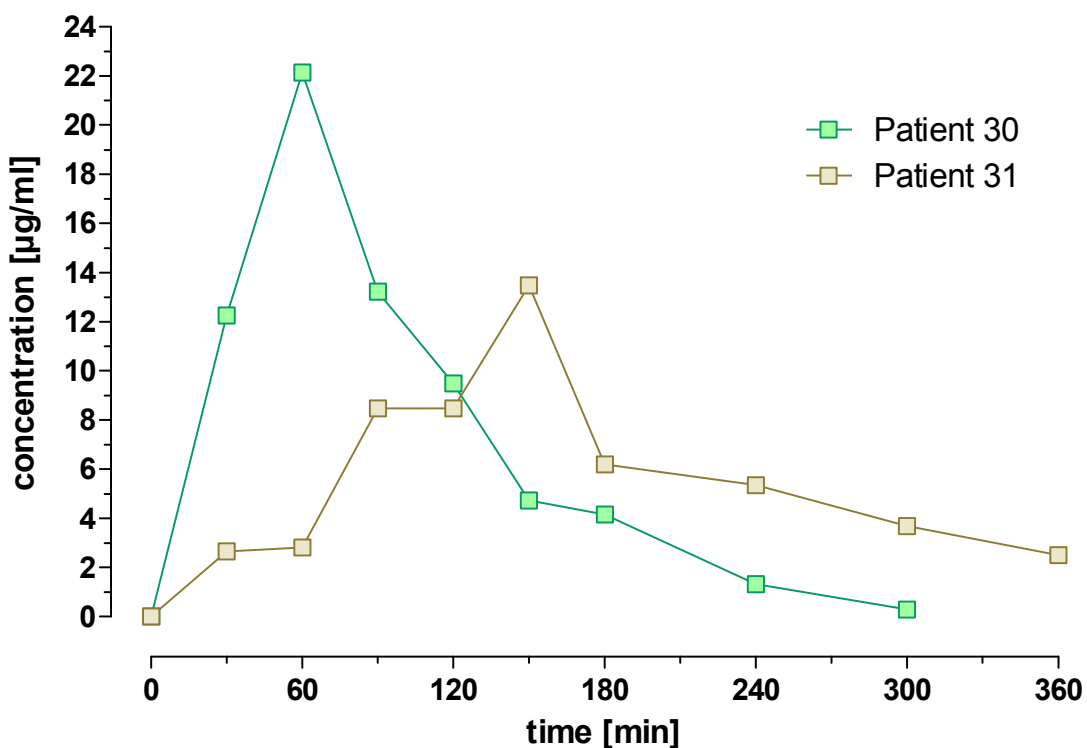


Abb. 77: DL 7, Vergleich aller Patienten: Summen der Plasmakonzentrations-Zeit-Kurven

4 Ergebnisse

Tab. 65: DL 4: Vergleich der AUCs von CCB, DFCR & DFUR aller Patienten

| DL 4 CCB+DFCR+DFUR | | | | STATISTIK | | | | | | | | |
|------------------------------|------------|------------|------------|-----------|-----------|----------|----------|----------|---------|-----------|-----------|-----------|
| Parameter | Patient 27 | Patient 28 | Patient 29 | MW | Median | Schiefe | SD | Error | Vk | Range | Min | Max |
| AUC _{CCB} | 556.8158 | 373.8820 | 269.1888 | 399.9622 | 373.8820 | 26.0802 | 145.5763 | 102.9380 | 36.3975 | 287.6270 | 269.1888 | 556.8158 |
| AUC _{DFCR} | 480.0468 | 932.0810 | 667.8774 | 693.3351 | 667.8774 | 25.4577 | 227.0898 | 160.5768 | 32.7533 | 452.0342 | 480.0468 | 932.0810 |
| AUC _{DFUR} | 483.1521 | 1232.9184 | 510.4723 | 742.1809 | 510.4723 | 231.7086 | 425.2106 | 300.6693 | 57.2920 | 749.7663 | 483.1521 | 1232.9184 |
| AUC _{CCB+DFCR+DFUR} | 1520.0147 | 2538.8814 | 1447.5385 | 1835.4782 | 1520.0147 | 315.4635 | 610.2420 | 431.5062 | 33.2470 | 1091.3429 | 1447.5385 | 2538.8814 |

Tab. 66: DL 7: Vergleich der AUCs von CCB, DFCR & DFUR aller Patienten

| DL 7 CCB+DFCR+DFUR | | | STATISTIK | | | | | | | | |
|------------------------------|------------|------------|-----------|-----------|---------|----------|----------|---------|----------|-----------|-----------|
| Parameter | Patient 30 | Patient 31 | MW | Median | Schiefe | SD | Error | Vk | Range | Min | Max |
| AUC _{CCB} | 1188.0964 | 225.3183 | 706.7074 | 706.7074 | 0.0000 | 680.7869 | 481.3891 | 96.3322 | 962.7781 | 225.3183 | 1188.0964 |
| AUC _{DFCR} | 652.0262 | 1412.8667 | 1032.4465 | 1032.4465 | 0.0000 | 537.9955 | 380.4203 | 52.1088 | 760.8405 | 652.0262 | 1412.8667 |
| AUC _{DFUR} | 299.3460 | 334.9596 | 317.1528 | 317.1528 | 0.0000 | 25.1826 | 17.8068 | 7.9402 | 35.6136 | 299.3460 | 334.9596 |
| AUC _{CCB+DFCR+DFUR} | 2139.4685 | 1973.1447 | 2056.3066 | 2056.3066 | 0.0000 | 117.6087 | 83.1619 | 5.7194 | 166.3238 | 1973.1447 | 2139.4685 |

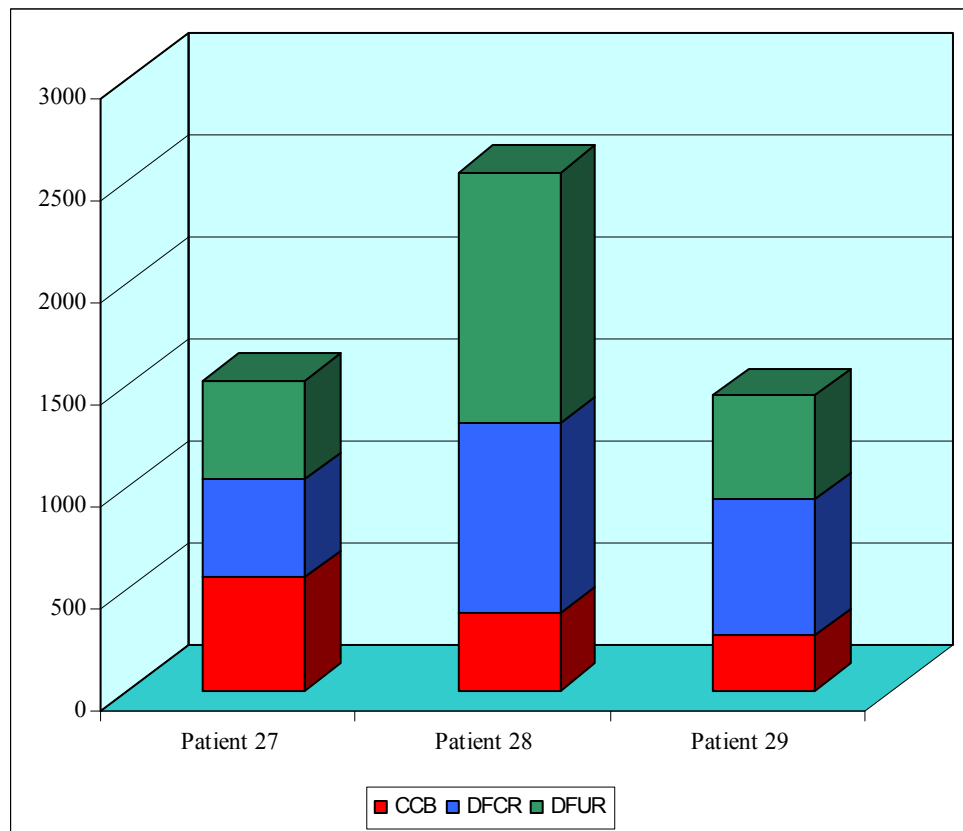


Abb. 78: DL 4: Vergleich der AUCs von CCB, DFCR & DFUR aller Patienten

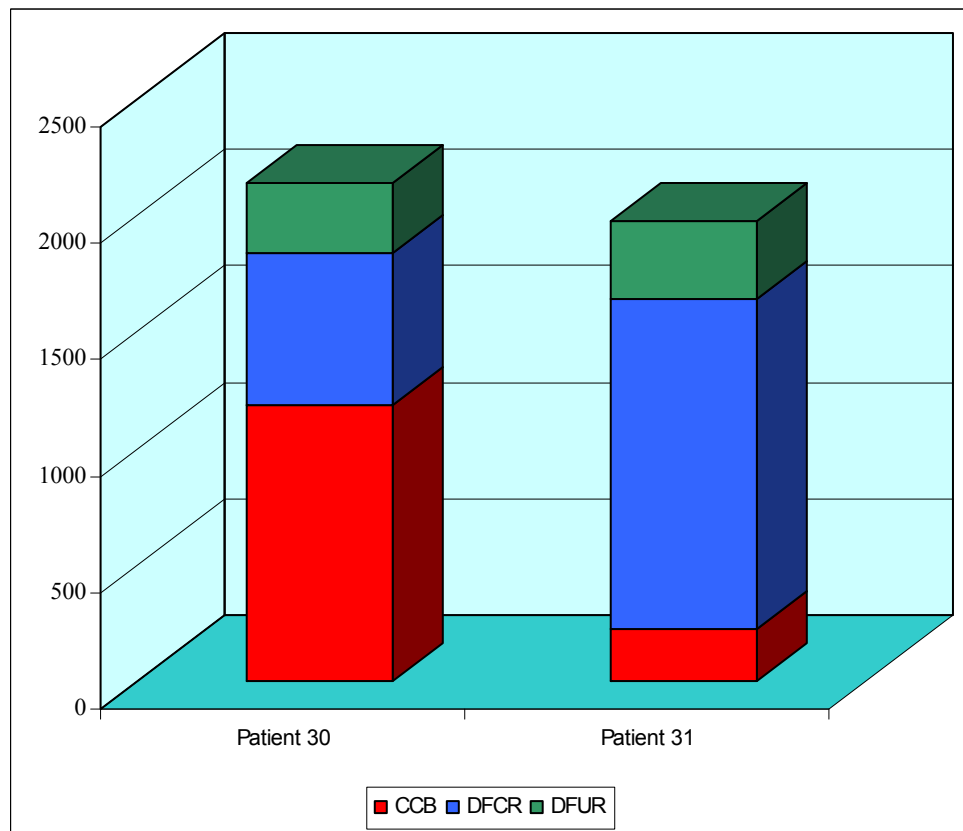


Abb. 79: DL 7: Vergleich der AUCs von CCB, DFCR & DFUR aller Patienten

4.3 Pharmakokinetische Parameter

4.3.1 Studie A

Tab. 67: Arm A: Pharmakokinetische Parameter von CCB, Woche 1

| | | NCA Arm A CCB | | STATISTIK | |
|---------|-------|--------------------|---------------|------------|----------|
| | | Parameter | Patient 1 | Patient 4 | |
| Woche 1 | Tag 1 | Rsq | 0.9878 | 0.9848 | MW |
| | | Corr_XY | -0.9939 | -0.9924 | SD |
| | | No_points_lambda_z | 3.00 | 3.00 | 0.9863 |
| | | Lambda_z | 1/min | 0.0526 | -0.0021 |
| | | HL_Lambda_z | min | 13.1892 | 0.0011 |
| | | Tmax | min | 90.00 | 3.00 |
| | | Cmax | ug/ml | 6.8702 | 0.00 |
| | | Tlast | min | 180.00 | 0.0476 |
| | | Clast | ug/ml | 0.3160 | 0.0070 |
| | | AUClast | min*ug/ml | 509.9020 | 14.7224 |
| | Tag 5 | Vz_F_obs | l | 60.8556 | 2.1683 |
| | | Cl_F_obs | l/h | 4.2215 | 60.00 |
| | | AUCINF_pred | min*ug/ml | 473.7739 | 42.43 |
| | | AUMClast | min*min*ug/ml | 22340.7375 | 9.3937 |
| | | MRTlast | min | 47.2954 | 3.5687 |
| | | MRTINF_pred | min | 47.7593 | 180.00 |
| | | Tmax | min | 30.00 | 0.1879 |
| | | Cmax | ug/ml | 13.6678 | 491.1341 |
| | | AUClast | min*ug/ml | 628.7576 | 26.5417 |

Tab. 68: Arm A: Pharmakokinetische Parameter von CCB, Woche 4

| | | NCA Arm A CCB | | STATISTIK | |
|---------|-------|--------------------|---------------|------------|----------|
| | | Parameter | Patient 1 | Patient 4 | |
| Woche 4 | Tag 1 | Rsq | 0.9992 | 0.9997 | MW |
| | | Corr_XY | -0.9996 | -0.9999 | SD |
| | | No_points_lambda_z | 4.00 | 3.00 | 0.9995 |
| | | Lambda_z | 1/min | 0.0446 | 0.0003 |
| | | HL_Lambda_z | min | 15.5263 | -0.9997 |
| | | Tmax | min | 60.00 | 0.0002 |
| | | Cmax | ug/ml | 13.4885 | 3.50 |
| | | Tlast | min | 180.00 | 0.0169 |
| | | Clast | ug/ml | 0.0342 | 24.4282 |
| | | AUClast | min*ug/ml | 664.0217 | 12.5891 |
| | Tag 5 | Vz_F_obs | l | 144.2500 | 45.00 |
| | | Cl_F_obs | l/h | 2.9999 | 17.5448 |
| | | AUCINF_pred | min*ug/ml | 666.6871 | 5.7366 |
| | | AUMClast | min*min*ug/ml | 26473.5278 | 180.00 |
| | | MRTlast | min | 39.8685 | 0.00 |
| | | MRTINF_pred | min | 40.6210 | 0.0448 |
| | | Tmax | min | 30.00 | 0.0151 |
| | | Cmax | ug/ml | 20.6106 | 662.5758 |
| | | AUClast | min*ug/ml | 785.6106 | 2.0448 |

Tab. 69: Arm A: Pharmakokinetische Parameter von CCB, Woche 7

| NCA Arm A CCB | | | | STATISTIK | | | |
|---------------|-------|--------------------|---------------|------------|------------|------------|-----------|
| | | Parameter | Patient 1 | Patient 4 | MW | SD | |
| Woche 7 | Tag 1 | Rsq | | 0.9995 | 0.9961 | 0.9978 | 0.0024 |
| | | Corr XY | | -0.9997 | -0.9980 | -0.9989 | 0.0012 |
| | | No_points_lambda_z | | 3.00 | 3.00 | 3.00 | 0.00 |
| | | Lambda_z | 1/min | 0.0297 | 0.0286 | 0.0291 | 0.0008 |
| | | HL_Lambda_z | min | 23.3299 | 24.2765 | 23.8032 | 0.6693 |
| | | Tmax | min | 60.00 | 30.00 | 45.00 | 21.21 |
| | | Cmax | ug/ml | 11.6140 | 43.4799 | 27.5470 | 22.5326 |
| | | Tlast | min | 180.00 | 180.00 | 180.00 | 0.00 |
| | | Clast | ug/ml | 0.1153 | 0.0640 | 0.0897 | 0.0362 |
| | | AUClast | min*ug/ml | 676.1701 | 1307.2563 | 991.7132 | 446.2453 |
| | | Vz_F_obs | l | 81.6639 | 53.4915 | 67.5777 | 19.9209 |
| | | C1_F_obs | l/h | 2.4263 | 1.5273 | 1.9768 | 0.6357 |
| | | AUCINF_pred | min*ug/ml | 680.0555 | 1309.4919 | 994.7737 | 445.0787 |
| | | AUMClast | min*min*ug/ml | 37516.1341 | 51276.9848 | 44396.5594 | 9730.3908 |
| | Tag 5 | MRTlast | min | 55.4833 | 39.2249 | 47.3541 | 11.4964 |
| | | MRTINF_pred | min | 56.3870 | 39.5250 | 47.9560 | 11.9232 |
| | | Tmax | min | 60.00 | 30.00 | 45.00 | 21.21 |
| | | Cmax | ug/ml | 16.2084 | 20.8625 | 18.5354 | 3.2910 |
| | | AUClast | min*ug/ml | 832.2374 | 814.6883 | 823.4629 | 12.4091 |

Tab. 70: Arm A: Pharmakokinetische Parameter von DFCR, Woche 1, 4 & 7

| NCA Arm A DFCR | | | | | STATISTIK | |
|----------------|---------|-----------|-----------|-----------|------------|------------|
| | | Parameter | Patient 1 | Patient 4 | MW | SD |
| Woche 7 | Woche 4 | Tag 1 | Tmax | min | 90.00 | 30.00 |
| | | | Cmax | ug/ml | 4.5236 | 12.0391 |
| | | | AUClast | min*ug/ml | 509.4243 | 678.0329 |
| | | | Tmax | min | 30.00 | 30.00 |
| | | | Cmax | ug/ml | 5.8499 | 14.2598 |
| | | | AUClast | min*ug/ml | 381.8883 | 992.8375 |
| | | | Tmax | min | 60.00 | 30.00 |
| | | | Cmax | ug/ml | 7.9746 | 13.1323 |
| | | | AUClast | min*ug/ml | 10211.7718 | 10361.8231 |
| | | | Tmax | min | 60.00 | 30.00 |
| | | | Cmax | ug/ml | 5.1988 | 9.0302 |
| | | | AUClast | min*ug/ml | 409.9040 | 567.5634 |
| | | | Tmax | min | 60.00 | 30.00 |
| | | | Cmax | ug/ml | 6.2577 | 11.9740 |
| | Tag 5 | Tag 1 | AUClast | min*ug/ml | 478.7869 | 752.0561 |
| | | | Tmax | min | 90.00 | 30.00 |
| | | | Cmax | ug/ml | 5.7882 | 8.6463 |
| | | | AUClast | min*ug/ml | 326.2166 | 483.4647 |

Tab. 71: Arm A: Pharmakokinetische Parameter von DFUR, Woche 1, 4 & 7

| NCA Arm A DFUR | | | | | STATISTIK | | |
|----------------|---------|-----------|--|-----------|-----------|-----------|----------|
| | | Parameter | | Patient 1 | Patient 4 | MW | SD |
| Woche 1 | Tmax | min | | 360.00 | 30.00 | 195.00 | 233.35 |
| | Cmax | ug/ml | | 1.3933 | 14.8116 | 8.1024 | 9.4881 |
| | AUClast | min*ug/ml | | 199.1640 | 885.6289 | 542.3965 | 485.4040 |
| Woche 4 | Tmax | min | | 120.00 | 30.00 | 75.00 | 63.64 |
| | Cmax | ug/ml | | 1.6348 | 9.2463 | 5.4406 | 5.3821 |
| | AUClast | min*ug/ml | | 102.0303 | 701.3933 | 401.7118 | 423.8136 |
| Woche 7 | Tmax | min | | 0.00 | 30.00 | 15.00 | 21.21 |
| | Cmax | ug/ml | | 0.6423 | 17.9697 | 9.3060 | 12.2524 |
| | AUClast | min*ug/ml | | 101.8710 | 1080.1750 | 591.0230 | 691.7654 |
| Tag 1 | Tmax | min | | 0.00 | 30.00 | 15.00 | 21.21 |
| | Cmax | ug/ml | | 0.2813 | 10.7750 | 5.5281 | 7.4201 |
| | AUClast | min*ug/ml | | 8.7580 | 767.6752 | 388.2166 | 536.6355 |
| Tag 5 | Tmax | min | | 60.00 | 30.00 | 45.00 | 21.21 |
| | Cmax | ug/ml | | 17.2054 | 17.3779 | 17.2917 | 0.1220 |
| | AUClast | min*ug/ml | | 1128.2642 | 1133.8774 | 1131.0708 | 3.9691 |
| Tag 7 | Tmax | min | | 90.00 | 30.00 | 60.00 | 42.43 |
| | Cmax | ug/ml | | 14.8567 | 17.5929 | 16.2248 | 1.9348 |
| | AUClast | min*ug/ml | | 876.2739 | 943.7899 | 910.0319 | 47.7410 |

Tab. 72: Arm B: Pharmakokinetische Parameter von CCB, Woche 1

| NCA Arm B CCB | | | | | STATISTIK | | |
|---------------|-------|--------------------|---------------|-------------|------------|-------------|-------------|
| | | Parameter | | Patient 2 | Patient 3 | MW | SD |
| Woche 1 | Tag 1 | Rsq | | 0.9497 | 0.9961 | 0.9729 | 0.0328 |
| | | Corr_XY | | -0.9745 | -0.9981 | -0.9863 | 0.0166 |
| | | No_points_lambda_z | | 3.00 | 5.00 | 4.00 | 1.41 |
| | | Lambda_z | 1/min | 0.0044 | 0.0366 | 0.0205 | 0.0228 |
| | | HL_Lambda_z | min | 156.4983 | 18.9287 | 87.7135 | 97.2764 |
| | | Tmax | min | 30.00 | 30.00 | 30.00 | 0.00 |
| | | Cmax | ug/ml | 67.1947 | 9.9274 | 38.5611 | 40.4941 |
| | | Tlast | min | 360.00 | 180.00 | 270.00 | 127.28 |
| | | Clast | ug/ml | 0.6533 | 0.0555 | 0.3544 | 0.4227 |
| | | AUClast | min*ug/ml | 3416.3470 | 507.7161 | 1962.0315 | 2056.7126 |
| | | Vz_F_obs | l | 114.0349 | 107.2529 | 110.6439 | 4.7956 |
| | | Cl_F_obs | l/h | 0.5051 | 3.9275 | 2.2163 | 2.4200 |
| | | AUCINF_pred | min*ug/ml | 3566.6715 | 509.2300 | 2037.9507 | 2161.9376 |
| | | AUMClast | min*min*ug/ml | 227831.5159 | 25499.1931 | 126665.3545 | 143070.5575 |
| | Tag 5 | MRTlast | min | 66.6886 | 50.2233 | 58.4560 | 11.6427 |
| | | MRTINF_pred | min | 88.5668 | 50.6903 | 69.6285 | 26.7827 |
| | | AUClast | min*ug/ml | 2444.7697 | 339.1332 | 60.00 | 0.00 |

Tab. 73: Arm B: Pharmakokinetische Parameter von CCB, Woche 4

| NCA Arm B CCB | | | | STATISTIK | | |
|---------------|-------|--------------------|---------------|-------------|------------|------------|
| | | Parameter | Patient 2 | Patient 3 | MW | SD |
| Woche 4 | Tag 1 | Rsq | 0.9997 | 0.9694 | 0.9845 | 0.0215 |
| | | Corr_XY | -0.9999 | -0.9846 | -0.9922 | 0.0108 |
| | | No_points_lambda_z | 3.00 | 4.00 | 3.50 | 0.71 |
| | | Lambda_z | 1/min | 0.0326 | 0.0451 | 0.0177 |
| | | HL_Lambda_z | min | 21.2687 | 16.6505 | 6.5311 |
| | | Tmax | min | 120.00 | 75.00 | 63.64 |
| | | Cmax | ug/ml | 19.2485 | 14.0478 | 7.3549 |
| | | Tlast | min | 240.00 | 195.00 | 63.64 |
| | | Clast | ug/ml | 0.3459 | 0.2242 | 0.1721 |
| | | AUClast | min*ug/ml | 1202.0196 | 846.4927 | 502.7909 |
| | | Vz_F_obs | l | 45.5470 | 58.0026 | 17.6149 |
| | | Cl_F_obs | l/h | 1.4844 | 2.7716 | 1.8205 |
| | | AUCINF_pred | min*ug/ml | 1212.6308 | 852.6902 | 509.0329 |
| | | AUMClast | min*min*ug/ml | 146349.8030 | 85941.5374 | 85430.1885 |
| | Tag 5 | MRTlast | min | 121.7533 | 86.8797 | 49.3186 |
| | | MRTINF_pred | min | 123.0565 | 87.7401 | 49.9449 |
| | | Tmax | min | 30.00 | 30.00 | 0.00 |
| | | Cmax | ug/ml | 57.0367 | 37.7861 | 27.2245 |
| | | AUClast | min*ug/ml | 2267.6772 | 1511.1443 | 1069.8991 |

Tab. 74: Arm B: Pharmakokinetische Parameter von CCB, Woche 7

| NCA Arm B CCB | | | | STATISTIK | | |
|---------------|-------|--------------------|---------------|------------|------------|------------|
| | | Parameter | Patient 2 | Patient 3 | MW | SD |
| Woche 7 | Tag 1 | Rsq | 0.9998 | 0.9967 | 0.9982 | 0.0022 |
| | | Corr_XY | -0.9999 | -0.9983 | -0.9991 | 0.0011 |
| | | No_points_lambda_z | 3.00 | 3.00 | 3.00 | 0.00 |
| | | Lambda_z | 1/min | 0.0160 | 0.0087 | 0.0104 |
| | | HL_Lambda_z | min | 43.2274 | 292.4994 | 352.5237 |
| | | Tmax | min | 30.00 | 45.00 | 21.21 |
| | | Cmax | ug/ml | 36.8360 | 21.8958 | 21.1287 |
| | | Tlast | min | 240.00 | 240.00 | 0.00 |
| | | Clast | ug/ml | 0.3715 | 0.4441 | 0.1027 |
| | | AUClast | min*ug/ml | 1620.2681 | 1044.1415 | 814.7660 |
| | | Vz_F_obs | l | 68.3052 | 930.6637 | 1219.5590 |
| | | Cl_F_obs | l/h | 1.0953 | 1.6946 | 0.8476 |
| | | AUCINF_pred | min*ug/ml | 1643.4218 | 1257.4019 | 545.9145 |
| | Tag 5 | AUMClast | min*min*ug/ml | 88662.1198 | 65469.2097 | 32799.7280 |
| | | MRTlast | min | 54.7206 | 72.5259 | 25.1804 |
| | | MRTINF_pred | min | 58.2096 | 289.8173 | 327.5428 |
| | | Tmax | min | 120.00 | 75.00 | 63.64 |
| | | Cmax | ug/ml | 11.2639 | 9.2101 | 2.9045 |
| | | AUClast | min*ug/ml | 713.3647 | 603.8429 | 154.8872 |

Tab. 75: Arm B: Pharmakokinetische Parameter von DFCR, Woche 1, 4 & 7

| NCA Arm B DFCR | | | | STATISTIK | | | | |
|----------------|-------|-----------|-----------|-----------|------------|------------|------------|----------|
| | | Parameter | | Patient 2 | Patient 3 | MW | SD | |
| Woche 1 | Tag 1 | Tmax | min | 60.00 | 60.00 | 60.00 | 0.00 | |
| | | Cmax | ug/ml | 11.6827 | 10.4729 | 11.0778 | 0.8554 | |
| | | AUClast | min*ug/ml | 1205.9116 | 1070.5107 | 1138.2112 | 95.7429 | |
| Woche 4 | Tag 5 | Tag 1 | Tmax | min | 60.00 | 60.00 | 60.00 | |
| | | Tag 5 | Cmax | ug/ml | 13.6018 | 8.8759 | 11.2389 | 3.3417 |
| | | Tag 1 | AUClast | min*ug/ml | 926.5250 | 543.6086 | 735.0668 | 270.7628 |
| Woche 7 | Tag 5 | Tag 1 | Tmax | min | 120.00 | 30.00 | 75.00 | 63.64 |
| | | Tag 5 | Cmax | ug/ml | 11.8746 | 8.5058 | 10.1902 | 2.3821 |
| | | Tag 1 | AUClast | min*ug/ml | 10838.0910 | 10367.4263 | 10602.7587 | 332.8102 |
| Woche 7 | Tag 5 | Tag 1 | Tmax | min | 30.00 | 30.00 | 30.00 | 0.00 |
| | | Tag 5 | Cmax | ug/ml | 12.4503 | 11.8506 | 12.1504 | 0.4241 |
| | | Tag 1 | AUClast | min*ug/ml | 873.2181 | 760.2295 | 816.7238 | 79.8950 |
| Woche 7 | Tag 5 | Tag 1 | Tmax | min | 60.00 | 60.00 | 60.00 | 0.00 |
| | | Tag 5 | Cmax | ug/ml | 9.2426 | 6.1652 | 7.7039 | 2.1761 |
| | | Tag 1 | AUClast | min*ug/ml | 1214.0811 | 798.1665 | 1006.1238 | 294.0960 |
| Woche 7 | Tag 5 | Tag 1 | Tmax | min | 120.00 | 60.00 | 90.00 | 42.43 |
| | | Tag 5 | Cmax | ug/ml | 8.5675 | 5.6785 | 7.1230 | 2.0428 |
| | | Tag 1 | AUClast | min*ug/ml | 506.4428 | 513.1768 | 509.8098 | 4.7617 |

Tab. 76: Arm B: Pharmakokinetische Parameter von DFUR, Woche 1, 4 & 7

| NCA Arm B DFUR | | | | STATISTIK | | | | |
|----------------|-------|-----------|-----------|-----------|-----------|-----------|-----------|----------|
| | | Parameter | | Patient 2 | Patient 3 | MW | SD | |
| Woche 1 | Tag 1 | Tmax | min | 60.00 | 60.00 | 60.00 | 0.00 | |
| | | Cmax | ug/ml | 10.0345 | 11.5287 | 10.7816 | 1.0565 | |
| | | AUClast | min*ug/ml | 991.6003 | 972.0143 | 981.8073 | 13.8494 | |
| Woche 4 | Tag 5 | Tag 1 | Tmax | min | 60.00 | 60.00 | 60.00 | |
| | | Tag 5 | Cmax | ug/ml | 12.1391 | 12.3195 | 12.2293 | 0.1276 |
| | | Tag 1 | AUClast | min*ug/ml | 812.3807 | 747.6114 | 779.9961 | 45.7988 |
| Woche 7 | Tag 5 | Tag 1 | Tmax | min | 120.00 | 60.00 | 90.00 | 42.43 |
| | | Tag 5 | Cmax | ug/ml | 10.7086 | 14.5701 | 12.6393 | 2.7305 |
| | | Tag 1 | AUClast | min*ug/ml | 1071.8950 | 1370.1831 | 1221.0391 | 210.9215 |
| Woche 7 | Tag 5 | Tag 1 | Tmax | min | 60.00 | 30.00 | 45.00 | 21.21 |
| | | Tag 5 | Cmax | ug/ml | 9.8116 | 20.8944 | 15.3530 | 7.8367 |
| | | Tag 1 | AUClast | min*ug/ml | 695.3025 | 1421.0191 | 1058.1608 | 513.1591 |
| Woche 7 | Tag 5 | Tag 1 | Tmax | min | 60.00 | 90.00 | 75.00 | 21.21 |
| | | Tag 5 | Cmax | ug/ml | 8.6545 | 9.3259 | 8.9902 | 0.4748 |
| | | Tag 1 | AUClast | min*ug/ml | 966.6007 | 923.4873 | 945.0440 | 30.4858 |
| Woche 7 | Tag 5 | Tag 1 | Tmax | min | 120.00 | 60.00 | 90.00 | 42.43 |
| | | Tag 5 | Cmax | ug/ml | 10.3450 | 8.9915 | 9.6683 | 0.9571 |
| | | Tag 1 | AUClast | min*ug/ml | 522.9299 | 747.1338 | 635.0319 | 158.5361 |

4.3.2 Studie B

Tab. 77: DL 4: Pharmakokinetische Parameter von CCB

| NCA DL 4 CCB | | | | STATISTIK | | | | | | | | | |
|--------------------|---------------|------------|------------|------------|------------|------------|----------|-----------|-----------|---------|------------|------------|------------|
| Parameter | | Pat. 27 | Pat. 28 | Pat. 29 | MW | Median | Schiefe | SD | Error | Vk | Range | Min | Max |
| Rsq | | 0.9721 | 0.9853 | 0.9996 | 0.9857 | 0.9853 | 0.0003 | 0.0138 | 0.0097 | 1.3973 | 0.0275 | 0.9721 | 0.9996 |
| Corr_XY | | -0.9859 | -0.9926 | -0.9998 | -0.9928 | -0.9926 | -0.0002 | 0.0069 | 0.0049 | -0.6986 | 0.0139 | -0.9998 | -0.9859 |
| No_points_lambda_z | | 5.00 | 6.00 | 4.00 | 5.00 | 5.00 | 0.00 | 1.00 | 0.71 | 20.00 | 2.00 | 4.00 | 6.00 |
| Lambda_z | 1/min | 0.0194 | 0.0093 | 0.0302 | 0.0196 | 0.0194 | 0.0003 | 0.0104 | 0.0074 | 53.1517 | 0.0209 | 0.0093 | 0.0302 |
| HL_Lambda_z | min | 35.7641 | 74.2514 | 22.9438 | 44.3198 | 35.7641 | 8.5557 | 26.7024 | 18.8814 | 60.2494 | 51.3076 | 22.9438 | 74.2514 |
| Tmax | min | 60.00 | 30.00 | 120.00 | 70.00 | 60.00 | 10.00 | 45.83 | 32.40 | 65.47 | 90.00 | 30.00 | 120.00 |
| Cmax | ug/ml | 10.7848 | 3.5572 | 2.4575 | 5.5998 | 3.5572 | 2.0426 | 4.5239 | 3.1988 | 80.7858 | 8.3273 | 2.4575 | 10.7848 |
| Tlast | min | 240.00 | 360.00 | 300.00 | 300.00 | 300.00 | 0.00 | 60.00 | 42.43 | 20.00 | 120.00 | 240.00 | 360.00 |
| Clast | ug/ml | 0.0567 | 0.0567 | 0.0288 | 0.0474 | 0.0567 | -0.0093 | 0.0161 | 0.0114 | 33.9837 | 0.0279 | 0.0288 | 0.0567 |
| AUClast | min*ug/ml | 529.2070 | 361.4935 | 254.0361 | 381.5789 | 361.4935 | 20.0854 | 138.6806 | 98.0620 | 36.3439 | 275.1708 | 254.0361 | 529.2070 |
| Vz_F_obs | l | 193.9238 | 582.8674 | 194.7190 | 323.8367 | 194.7190 | 129.1178 | 224.3275 | 158.6235 | 69.2718 | 388.9436 | 193.9238 | 582.8674 |
| Cl_F_obs | l/h | 3.7585 | 5.4411 | 5.8826 | 5.0274 | 5.4411 | -0.4138 | 1.1209 | 0.7926 | 22.2955 | 2.1241 | 3.7585 | 5.8826 |
| AUCINF_pred | min*ug/ml | 532.1206 | 367.6474 | 254.9897 | 384.9192 | 367.6474 | 17.2718 | 139.3704 | 98.5498 | 36.2077 | 277.1308 | 254.9897 | 532.1206 |
| AUMClast | min*min*ug/ml | 40847.4296 | 29418.5491 | 35023.9168 | 35096.6318 | 35023.9168 | 72.7151 | 5714.7872 | 4040.9648 | 16.2830 | 11428.8805 | 29418.5491 | 40847.4296 |
| MRTlast | min | 77.1861 | 81.3806 | 137.8698 | 98.8122 | 81.3806 | 17.4316 | 33.8899 | 23.9638 | 34.2973 | 60.6837 | 77.1861 | 137.8698 |
| MRTINF_pred | min | 78.3601 | 87.8374 | 138.5999 | 101.5992 | 87.8374 | 13.7617 | 32.3921 | 22.9047 | 31.8822 | 60.2398 | 78.3601 | 138.5999 |

Tab. 78: DL 4: Pharmakokinetische Parameter von DFCR & DFUR

| NCA DL 4 DFCR+DFUR | | | | | STATISTIK | | | | | | | | | |
|--------------------|-----------|-----------|----------|-----------|-----------|----------|----------|----------|----------|----------|---------|----------|----------|-----------|
| DFCR | Parameter | | Pat. 27 | Pat. 28 | Pat. 29 | MW | Median | Schiefe | SD | Error | Vk | Range | Min | Max |
| DFCR | Tmax | min | 60.00 | 90.00 | 120.00 | 90.00 | 90.00 | 0.00 | 30.00 | 21.21 | 33.33 | 60.00 | 60.00 | 120.00 |
| | Cmax | ug/ml | 5.5009 | 10.0888 | 6.3073 | 7.2990 | 6.3073 | 0.9917 | 2.4494 | 1.7320 | 33.5586 | 4.5879 | 5.5009 | 10.0888 |
| | AUClast | min*ug/ml | 480.0468 | 932.0810 | 667.8774 | 693.3351 | 667.8774 | 25.4577 | 227.0898 | 160.5768 | 32.7533 | 452.0342 | 480.0468 | 932.0810 |
| DFUR | Tmax | min | 90.00 | 90.00 | 120.00 | 100.00 | 90.00 | 10.00 | 17.32 | 12.25 | 17.32 | 30.00 | 90.00 | 120.00 |
| | Cmax | ug/ml | 4.2480 | 9.4243 | 4.3371 | 6.0031 | 4.3371 | 1.6660 | 2.9631 | 2.0953 | 49.3599 | 5.1763 | 4.2480 | 9.4243 |
| | AUClast | min*ug/ml | 483.1521 | 1232.9184 | 510.4723 | 742.1809 | 510.4723 | 231.7086 | 425.2106 | 300.6693 | 57.2920 | 749.7663 | 483.1521 | 1232.9184 |

4 Ergebnisse

Tab. 79: DL 7: Pharmakokinetische Parameter von CCB

| NCA DL 7 CCB | | | STATISTIK | | | | | | | | | |
|--------------------|---------------|------------|------------|------------|------------|---------|------------|------------|----------|------------|------------|------------|
| Parameter | | Pat. 30 | Pat. 31 | MW | Median | Schiefe | SD | Error | Vk | Range | Min | Max |
| Rsq | | 0.9466 | 0.9729 | 0.9597 | 0.9597 | 0.0000 | 0.0186 | 0.0132 | 1.9381 | 0.0263 | 0.9466 | 0.9729 |
| Corr_XY | | -0.9729 | -0.9863 | -0.9796 | -0.9796 | 0.0000 | 0.0095 | 0.0067 | -0.9691 | 0.0134 | -0.9863 | -0.9729 |
| No_points_lambda_z | | 5.00 | 4.00 | 4.50 | 4.50 | 0.00 | 0.71 | 0.50 | 15.71 | 1.00 | 4.00 | 5.00 |
| Lambda_z | 1/min | 0.0137 | 0.0149 | 0.0143 | 0.0143 | 0.0000 | 0.0009 | 0.0006 | 6.2808 | 0.0013 | 0.0137 | 0.0149 |
| HL_Lambda_z | min | 50.7707 | 46.4528 | 48.6117 | 48.6117 | 0.0000 | 3.0532 | 2.1589 | 6.2808 | 4.3179 | 46.4528 | 50.7707 |
| Tmax | min | 60.00 | 150.00 | 105.00 | 105.00 | 0.00 | 63.64 | 45.00 | 60.61 | 90.00 | 60.00 | 150.00 |
| Cmax | ug/ml | 14.6263 | 1.9347 | 8.2805 | 8.2805 | 0.0000 | 8.9743 | 6.3458 | 108.3785 | 12.6916 | 1.9347 | 14.6263 |
| Tlast | min | 240.00 | 360.00 | 300.00 | 300.00 | 0.00 | 84.85 | 60.00 | 28.28 | 120.00 | 240.00 | 360.00 |
| Clast | ug/ml | 0.5487 | 0.0590 | 0.3039 | 0.3039 | 0.0000 | 0.3462 | 0.2448 | 113.9452 | 0.4896 | 0.0590 | 0.5487 |
| AUClast | min*ug/ml | 1140.8547 | 219.5157 | 680.1852 | 680.1852 | 0.0000 | 651.4850 | 460.6695 | 95.7805 | 921.3390 | 219.5157 | 1140.8547 |
| Vz_F_obs | l | 99.2296 | 479.8252 | 289.5274 | 289.5274 | 0.0000 | 269.1218 | 190.2978 | 92.9521 | 380.5956 | 99.2296 | 479.8252 |
| Cl_F_obs | 1/h | 1.3547 | 7.1597 | 4.2572 | 4.2572 | 0.0000 | 4.1048 | 2.9025 | 96.4183 | 5.8050 | 1.3547 | 7.1597 |
| AUCINF_pred | min*ug/ml | 1181.2226 | 223.5235 | 702.3730 | 702.3730 | 0.0000 | 677.1956 | 478.8496 | 96.4154 | 957.6991 | 223.5235 | 1181.2226 |
| AUMClast | min*min*ug/ml | 89521.6457 | 30992.7471 | 60257.1964 | 60257.1964 | 0.0000 | 41386.1811 | 29264.4493 | 68.6826 | 58528.8986 | 30992.7471 | 89521.6457 |
| MRTlast | min | 78.4689 | 141.1869 | 109.8279 | 109.8279 | 0.0000 | 44.3483 | 31.3590 | 40.3798 | 62.7180 | 78.4689 | 141.1869 |
| MRTINF_pred | min | 86.4924 | 146.3118 | 116.4021 | 116.4021 | 0.0000 | 42.2987 | 29.9097 | 36.3385 | 59.8195 | 86.4924 | 146.3118 |

Tab. 80: DL 7: Pharmakokinetische Parameter von DFCR & DFUR

| NCA DL 7 DFCR+DFUR | | | | STATISTIK | | | | | | | | |
|--------------------|-----------|-----------|----------|-----------|-----------|-----------|--------|----------|----------|---------|----------|----------|
| | Parameter | Pat. 30 | Pat. 31 | MW | Median | Schiefe | SD | Error | Vk | Range | Min | Max |
| DFCR | Tmax | min | 60.00 | 150.00 | 105.00 | 105.00 | 0.00 | 63.64 | 45.00 | 60.61 | 90.00 | 60.00 |
| | Cmax | ug/ml | 5.0316 | 8.0530 | 6.5423 | 6.5423 | 0.0000 | 2.1365 | 1.5107 | 32.6562 | 3.0214 | 5.0316 |
| | AUClast | min*ug/ml | 652.0262 | 1412.8667 | 1032.4465 | 1032.4465 | 0.0000 | 537.9955 | 380.4203 | 52.1088 | 760.8405 | 652.0262 |
| DFUR | Tmax | min | 60.00 | 150.00 | 105.00 | 105.00 | 0.00 | 63.64 | 45.00 | 60.61 | 90.00 | 60.00 |
| | Cmax | ug/ml | 2.4752 | 3.4861 | 2.9806 | 2.9806 | 0.0000 | 0.7148 | 0.5054 | 23.9820 | 1.0109 | 2.4752 |
| | AUClast | min*ug/ml | 299.3460 | 334.9596 | 317.1528 | 317.1528 | 0.0000 | 25.1826 | 17.8068 | 7.9402 | 35.6136 | 299.3460 |
| | | | | | | | | | | | | 334.9596 |

5 DISKUSSION

In der vorliegenden Diplomarbeit wurden Plasmaproben aus zwei verschiedenen Studien untersucht. Studie A wird in zwei Arme mit verschiedenen Zyklen geteilt, Studie B beinhaltet mehrere Dose Level.

Aus Studie A wurden Plasmaproben von vier Patienten mit fortgeschrittenem Kolorektalkarzinom, aus Studie B Proben von fünf Patienten mit fortgeschrittenem Pankreaskarzinom untersucht. Aus den vorliegenden Plasmakonzentrationen von CCB, DFCR und DFUR konnte auf das Ausmaß der Metabolisierung geschlossen werden.

Da es sich bei Capecitabin um ein perorales Chemotherapeutikum handelt, ist zu erwarten, dass c_{\max} und AUC stärker streuen als bei intravenöser Verabreichung. Diese Parameter können durch diverse Faktoren, wie zum Beispiel den Füllungszustand des Magens, die Durchblutung der Magen-Darm-Schleimhaut, die Art der Freisetzung aus der Arzneiform oder den Transportmechanismus beeinflusst werden. Eine hohe Variabilität beruht auch auf der Art des Tumors (zum Beispiel Vaskularisierung), dem Stadium der Erkrankung, der Zusatzmedikation und dem Zustand des Patienten.

Eine hohe Plasmakonzentration des unmittelbaren 5-FU Precursors DFUR ist die Voraussetzung für eine effektive Chemotherapie, weil dadurch davon ausgegangen werden kann, eine genügend hohe Gewebskonzentration zu erreichen. Dieser Metabolisierungsschritt im Gewebe ist für das Ausmaß der Bildung des zytotoxischen 5-FU ausschlaggebend.

Studie A

Tab. 81: Arm A, Woche 1: Wichtige pharmakokinetische Parameter im Vergleich

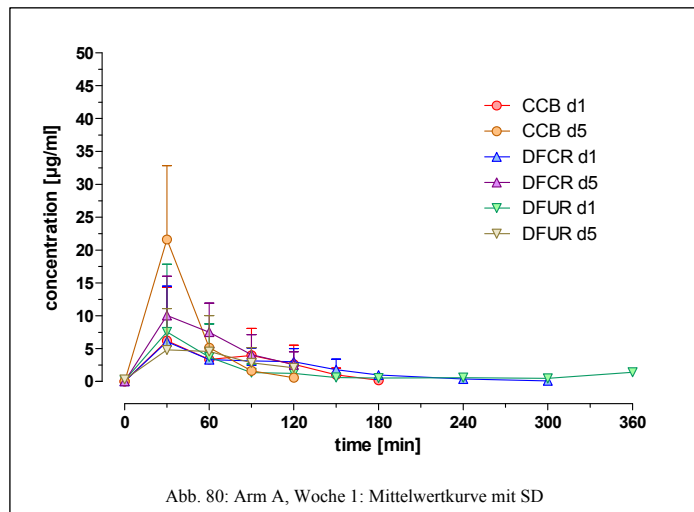
| Arm A Woche 1 | | | | | | | | |
|---------------|---------------------|-----------|--------|--------|--------|--------|--------|--------|
| | | | CCB | | DFCR | | DFUR | |
| | Parameter | Einheit | MW | SD | MW | SD | MW | SD |
| Tag 1 | t _{max} | min | 60.00 | 42.43 | 60.00 | 42.43 | 195.00 | 233.35 |
| | c _{max} | µg/ml | 9.39 | 3.57 | 8.28 | 5.31 | 8.10 | 9.49 |
| | AUC | min*µg/ml | 491.13 | 26.54 | 593.73 | 119.22 | 542.40 | 485.40 |
| | MRT _{last} | min | 72.46 | 35.59 | | | | |
| | Vd _{obs} | l | 79.93 | 26.97 | | | | |
| | Cl _{obs} | l/h | 3.71 | 0.72 | | | | |
| | t _{1/2 λz} | min | 14.72 | 2.17 | | | | |
| Tag 5 | t _{max} | min | 30.00 | 0.00 | 30.00 | 0.00 | 75.00 | 63.64 |
| | c _{max} | µg/ml | 21.60 | 11.22 | 10.05 | 5.95 | 5.44 | 5.38 |
| | AUC | min*µg/ml | 859.68 | 326.58 | 687.36 | 432.01 | 401.71 | 423.81 |

In Woche 1 von Arm A wurde nur CCB verabreicht.

Am ersten Tag entspricht die maximale Plasmakonzentration von CCB bei einer Dosis von 1000 mg/m² etwa 9 µg/ml. Diese wird durchschnittlich nach 60 Minuten erreicht. In der Literatur findet man jedoch ein t_{max} von 90 Minuten. Die Eliminationshalbwertszeit beträgt im Schnitt eine viertel Stunde. Verteilungsvolumen und Clearance belaufen sich auf zirka 80

Liter beziehungsweise 4 l/h. Dies deutet auf eine rasche Verteilung und Metabolisierung hin.

Am fünften Tag wird die Maximalkonzentration von rund 22 µg/ml bereits nach 30 Minuten erreicht. Der Grund für den massiven Konzentrationsunterschied ist offensichtlich die hohe Variabilität von Patient 1 an Tag 5.



DFCR erreicht an Tag 1 sein c_{max} von zirka 8 µg/ml ebenfalls nach 60 Minuten. An Tag 5 liegt die Maximalkonzentration von 10 µg/ml bereits nach einer halben Stunde vor und die AUC ist geringfügig höher.

An Tag 1 beträgt die Maximalkonzentration von DFUR 8 µg/ml, an Tag 5 hingegen 5 µg/ml. Der Anstieg des Metaboliten bei 360 Minuten beruht darauf, dass bei Patient 1 keine Elimination des Metaboliten stattfindet.

Tab. 82: Arm A, Woche 4: Wichtige pharmakokinetische Parameter im Vergleich

| Arm A Woche 4 | | | | | | | | |
|---------------|---------------------|-------------------------------------|--------|-------|----------|--------|--------|--------|
| | | | CCB | | DFCR | | DFUR | |
| | Parameter | Einheit | MW | SD | MW | SD | MW | SD |
| Tag 1 | t_{max} | min | 45.00 | 21.21 | 45.00 | 21.21 | 15.00 | 21.21 |
| | c_{max} | $\mu\text{g}/\text{ml}$ | 17.54 | 5.74 | 10.55 | 3.65 | 9.31 | 12.25 |
| | AUC | $\text{min}^*\mu\text{g}/\text{ml}$ | 662.58 | 2.04 | 10286.80 | 106.10 | 591.02 | 691.77 |
| | MRT_{last} | min | 48.33 | 11.96 | | | | |
| | Vd_{obs} | l | 100.04 | 62.52 | | | | |
| | Cl_{obs} | l/h | 2.75 | 0.36 | | | | |
| | $t_{1/2 \lambda z}$ | min | 24.43 | 12.59 | | | | |
| Tag 5 | t_{max} | min | 30.00 | 0.00 | 45.00 | 21.21 | 15.00 | 21.21 |
| | c_{max} | $\mu\text{g}/\text{ml}$ | 18.07 | 3.60 | 7.11 | 2.71 | 5.53 | 7.42 |
| | AUC | $\text{min}^*\mu\text{g}/\text{ml}$ | 740.07 | 64.40 | 488.73 | 111.48 | 388.22 | 536.64 |

Die Therapie in Woche 4 von Arm A bestand aus einer Kombination von CCB und Cetuximab, wobei letzteres bereits in der dritten Therapiewoche verabreicht wurde.

CCB besitzt am ersten und fünften Tag eine maximale Plasmakonzentration von zirka 18 $\mu\text{g}/\text{ml}$ bei einer t_{max} von 45 beziehungsweise 30 Minuten. Die Elimination verläuft mit einer mittleren $t_{1/2 \lambda z}$ von 24 Minuten. Das Verteilungsvolumen beträgt 100 Liter, die Clearance 3 l/h.

An beiden Tagen erreicht DFCR nach einer dreiviertel Stunde sein c_{max} von durchschnittlich 11 $\mu\text{g}/\text{ml}$ beziehungsweise 7 $\mu\text{g}/\text{ml}$. Die gemittelte AUC des ersten Tages von DFCR ist um ein Vielfaches höher als die von CCB.

Beim 360-Minuten-Wert kann kein DFCR mehr nachgewiesen werden.

Die Maximalkonzentration von DFUR beträgt am ersten Tag rund 9 $\mu\text{g}/\text{ml}$, am fünften Tag 6 $\mu\text{g}/\text{ml}$. An beiden Tagen liegt t_{max} bei 15 Minuten. Dies ist jedoch nur schwer zu erklären, weil DFUR aus DFCR gebildet wird. Wie bereits zuvor bei Woche 1 erwähnt, besitzt Patient 1 eine untypische Eliminationsrate.

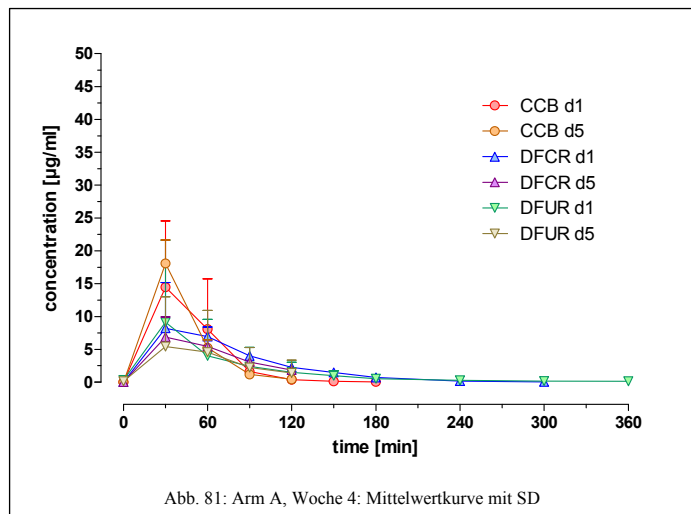


Abb. 81: Arm A, Woche 4: Mittelwertkurve mit SD

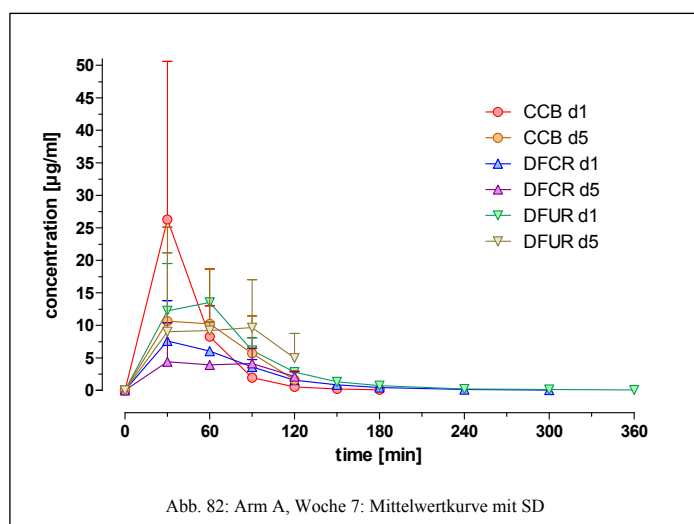
Tab. 83: Arm A, Woche 7: Wichtige pharmakokinetische Parameter im Vergleich

| Arm A Woche 7 | | | | | | | | |
|---------------|---------------------|-----------|--------|--------|--------|--------|---------|-------|
| | | | CCB | | DFCR | | DFUR | |
| | Parameter | Einheit | MW | SD | MW | SD | MW | SD |
| Tag 1 | t _{max} | min | 45.00 | 21.21 | 45.00 | 21.21 | 45.00 | 21.21 |
| | c _{max} | µg/ml | 27.55 | 22.53 | 9.12 | 4.04 | 17.29 | 0.12 |
| | AUC | min*µg/ml | 991.71 | 446.25 | 615.42 | 193.23 | 1131.07 | 3.97 |
| | MRT _{last} | min | 47.35 | 11.50 | | | | |
| | Vd _{obs} | l | 67.58 | 19.92 | | | | |
| | Cl _{obs} | l/h | 1.98 | 0.64 | | | | |
| | t _{1/2 λz} | min | 23.80 | 0.67 | | | | |
| Tag 5 | t _{max} | min | 45.00 | 21.21 | 60.00 | 42.43 | 60.00 | 42.43 |
| | c _{max} | µg/ml | 18.54 | 3.29 | 7.22 | 2.02 | 16.22 | 1.93 |
| | AUC | min*µg/ml | 823.46 | 12.41 | 404.84 | 111.19 | 910.03 | 47.74 |

In Woche 7 von Arm A wurden CCB, Cetuximab und Oxaliplatin kombiniert verabreicht, wobei zweiteres bereits durchgehend seit vier Wochen eingenommen wurde.

Die Maximalkonzentration von CCB, die an beiden Tagen bei t_{max} von 45 Minuten auftritt, liegt im Durchschnitt einerseits bei 28 µg/ml, andererseits bei 19 µg/ml. Verantwortlich für diesen großen Konzentrationsunterschied ist die Variabilität von Patient 4 am ersten Tag. Die Eliminationshalbwertszeit beträgt ebenso wie in Woche 4 etwa 24 Minuten. Aufgrund der Plasmakonzentrationen ergeben sich ein Verteilungsvolumen von ungefähr 68 Liter und eine Clearance von 2 l/h.

DFCR liegt an Tag 1 nach 45 Minuten und an Tag 5 nach 60 Minuten in seiner Maximalkonzentration von rund 9 µg/ml beziehungsweise 7 µg/ml vor.



Bei DFUR sind die Zeitpunkte bis zum Erreichen der Maximalkonzentrationen mit denen von DFCR ident. Die mittlere Konzentration beträgt zum einen 17 µg/ml, zum anderen 16 µg/ml. Sowohl am ersten als auch am fünften Tag ist die AUC von DFUR etwa doppelt so hoch wie die AUC von DFCR.

Tab. 84: Arm B, Woche 1: Wichtige pharmakokinetische Parameter im Vergleich

| Arm B Woche 1 | | | | | | | | |
|---------------|---------------------|-----------|---------|---------|---------|--------|--------|-------|
| | | | CCB | | DFCR | | DFUR | |
| | Parameter | Einheit | MW | SD | MW | SD | MW | SD |
| Tag 1 | t _{max} | min | 30.00 | 0.00 | 60.00 | 0.00 | 60.00 | 0.00 |
| | c _{max} | µg/ml | 38.56 | 40.49 | 11.08 | 0.86 | 10.78 | 1.06 |
| | AUC | min*µg/ml | 1962.03 | 2056.71 | 1138.21 | 95.74 | 981.81 | 13.85 |
| | MRT _{last} | min | 58.46 | 11.64 | | | | |
| | Vd _{obs} | l | 110.64 | 4.80 | | | | |
| | Cl _{obs} | l/h | 2.22 | 2.42 | | | | |
| Tag 5 | t _{1/2 λz} | min | 87.71 | 97.27 | | | | |
| | t _{max} | min | 60.00 | 0.00 | 60.00 | 0.00 | 60.00 | 0.00 |
| | c _{max} | µg/ml | 24.82 | 27.76 | 11.24 | 3.34 | 12.23 | 0.13 |
| | AUC | min*µg/ml | 1391.95 | 1488.91 | 735.07 | 270.76 | 779.10 | 45.80 |

Die Therapie in Woche 1 von Arm B bestand aus CCB und Cetuximab.

Bei einer am ersten Tag verabreichten Dosis von 1000 mg/m² liegt die maximale Plasmakonzentration bei zirka 39 µg/ml. Diese wird nach 30 Minuten erreicht. Die mittlere t_{1/2 λz} beträgt 88 Minuten, V_d rund 111 Liter und die Clearance etwa 2 l/h.

Am fünften Tag tritt c_{max} mit einem Wert von 25 µg/ml nach 60 Minuten auf. Für die stark erhöhten Maximalkonzentrationen ist Patient 2 verantwortlich.

An beiden Tagen ist t_{max} von DFCR und DFUR 60 Minuten, zudem weist DFCR eine maximale Konzentration von durchschnittlich 11 µg/ml auf. C_{max} von DFUR liegt an Tag 1 ebenfalls bei 11 µg/ml, an Tag 5 bei 12 µg/ml. Bis auf die bereits zuvor erwähnten Abweichungen ändern sich die AUCs der Metaboliten nur geringfügig.

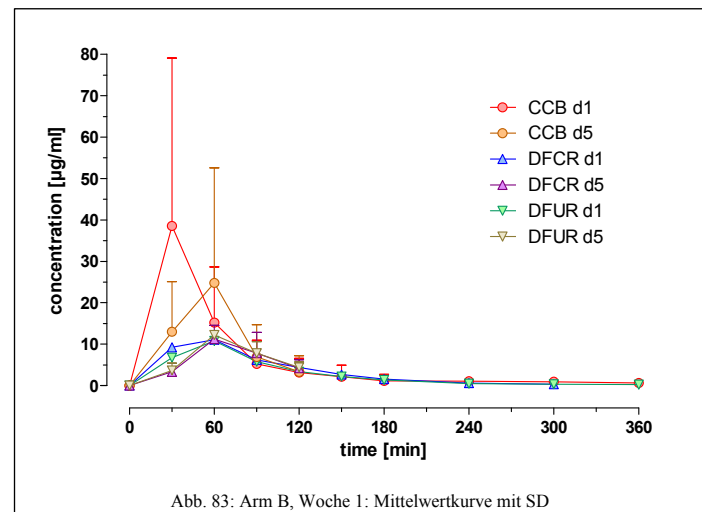


Abb. 83: Arm B, Woche 1: Mittelwertkurve mit SD

Tab. 85: Arm B, Woche 4: Wichtige pharmakokinetische Parameter im Vergleich

| Arm B Woche 4 | | | | | | | | |
|---------------|---------------------|-----------|---------|---------|----------|--------|---------|--------|
| | | | CCB | | DFCR | | DFUR | |
| | Parameter | Einheit | MW | SD | MW | SD | MW | SD |
| Tag 1 | t _{max} | min | 75.00 | 63.64 | 75.00 | 63.64 | 90.00 | 42.43 |
| | c _{max} | µg/ml | 14.05 | 7.35 | 10.19 | 2.38 | 12.64 | 2.73 |
| | AUC | min*µg/ml | 846.49 | 502.79 | 10602.76 | 332.81 | 1221.04 | 210.92 |
| | MRT _{last} | min | 86.88 | 49.32 | | | | |
| | Vd _{obs} | l | 58.00 | 17.61 | | | | |
| | Cl _{obs} | l/h | 2.77 | 1.82 | | | | |
| | t _{1/2 λz} | min | 16.65 | 6.53 | | | | |
| Tag 5 | t _{max} | min | 30.00 | 0.00 | 30.00 | 0.00 | 45.00 | 21.21 |
| | c _{max} | µg/ml | 37.79 | 27.22 | 12.15 | 0.42 | 15.35 | 7.84 |
| | AUC | min*µg/ml | 1511.14 | 1069.90 | 816.72 | 79.90 | 1058.16 | 513.16 |

In Woche 4 von Arm B erhielten die Patienten nur CCB.

An Tag 1 beträgt die gemittelte maximale Konzentration 14 µg/ml und wird nach 75 Minuten erreicht. Die Elimination verläuft mit einer t_{1/2 λz} von etwa 17 Minuten. Verteilungsvolumen

und Clearance liegen bei zirka 58 Liter beziehungsweise 3 l/h. An Tag 5 wird ein c_{max}-Wert von 38 µg/ml nach 30 Minuten erreicht. Dieser außerordentlich hohe Wert kommt durch Patient 2 zustande.

DFCR erreicht am ersten Tag seine Maximalkonzentration von durchschnittlich 10 µg/ml ebenfalls nach 75 Minuten, am fünften Tag

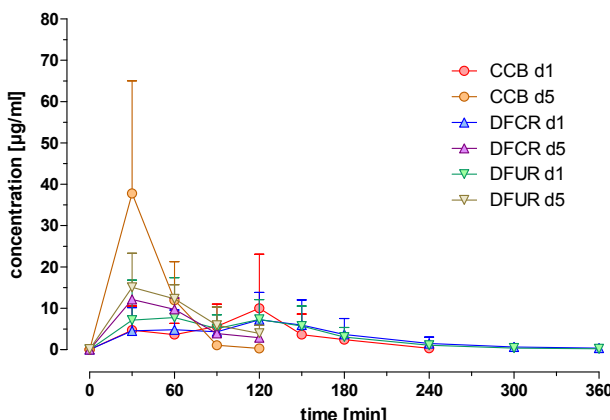


Abb. 84: Arm B, Woche 4: Mittelwertkurve mit SD

jedoch schon nach 30 Minuten. Die c_{max} beträgt hier 12 µg/ml.

DFUR hat sein Konzentrationsmaximum am ersten Tag bei zirka 13 µg/ml nach eineinhalb Stunden, am fünften Tag 15 µg/ml nach 45 Minuten.

Der Kurvenverlauf ergibt sich durch das späte Erreichen der Maximalkonzentrationen an Tag 1.

Tab. 86: Arm B, Woche 7: Wichtige pharmakokinetische Parameter im Vergleich

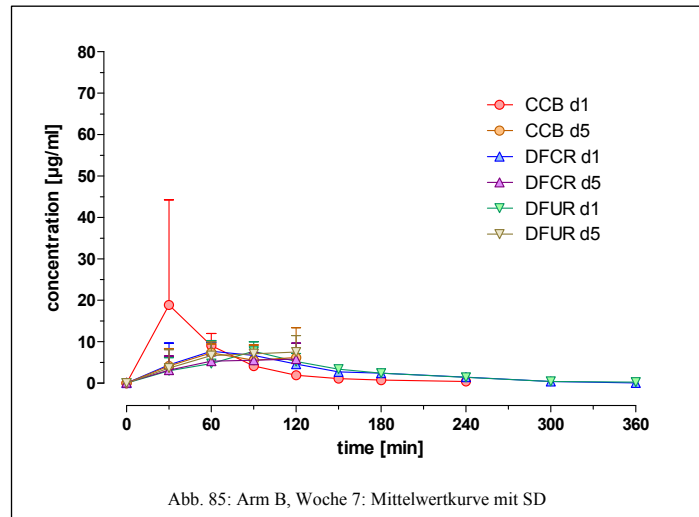
| Arm B Woche 7 | | | | | | | | |
|---------------|---------------------|-----------|---------|---------|---------|--------|--------|--------|
| | | | CCB | | DFCR | | DFUR | |
| | Parameter | Einheit | MW | SD | MW | SD | MW | SD |
| Tag 1 | t _{max} | min | 45.00 | 21.21 | 60.00 | 0.00 | 75.00 | 21.21 |
| | c _{max} | µg/ml | 21.90 | 21.13 | 7.70 | 2.18 | 8.99 | 0.47 |
| | AUC | min*µg/ml | 1044.14 | 814.77 | 1006.12 | 294.10 | 945.04 | 30.49 |
| | MRT _{last} | min | 72.53 | 25.18 | | | | |
| | Vd _{obs} | l | 930.66 | 1219.56 | | | | |
| | Cl _{obs} | l/h | 1.69 | 0.85 | | | | |
| Tag 5 | t _{1/2 λz} | min | 292.50 | 352.52 | | | | |
| | t _{max} | min | 75.00 | 63.64 | 90.00 | 42.43 | 90.00 | 42.43 |
| | c _{max} | µg/ml | 9.21 | 2.90 | 7.12 | 2.04 | 9.67 | 0.96 |
| | AUC | min*µg/ml | 603.84 | 154.89 | 509.81 | 4.76 | 635.03 | 158.54 |

Die Therapie in Woche 7 von Arm B bestand aus einer Kombination von CCB und Oxaliplatin.

CCB besitzt am ersten Tag eine maximale Plasmakonzentration von rund 22 µg/ml, wobei diese nach einer dreiviertel Stunde auftritt. Die Eliminationshalbwertszeit beträgt etwa 293 Minuten, das Verteilungsvolumen zirka 931 Liter und die Clearance durchschnittlich 2 l/h. Für den hohen c_{max}-Wert ist die Variabilität von Patient 2 verantwortlich. Am fünften Tag erreicht CCB c_{max} erst nach 75 Minuten. Dieser Wert liegt bei rund 9 µg/ml.

Die mittlere t_{max} von DFCR ist an Tag 1 60 Minuten, an Tag 5 90 Minuten. Die zugehörigen Plasmakonzentrationen belaufen sich auf 8 µg/ml beziehungsweise 7 µg/ml.

DFUR liegt an Tag 1 im Durchschnitt nach 75 Minuten und an Tag 5 nach 90 Minuten in seiner Maximalkonzentration von ungefähr 9 µg/ml beziehungsweise 10 µg/ml vor. Wie im Kurvenverlauf ersichtlich, steigen die Konzentrationen allgemein sehr langsam an, wodurch die maximalen Plasmakonzentrationen erst relativ spät erreicht werden.



Studie B

Sowohl in Dose Level 4 als auch in Dose Level 7 erhielten die Patienten eine Kombination aus Capecitabin, Erlotinib und Bevacizumab.

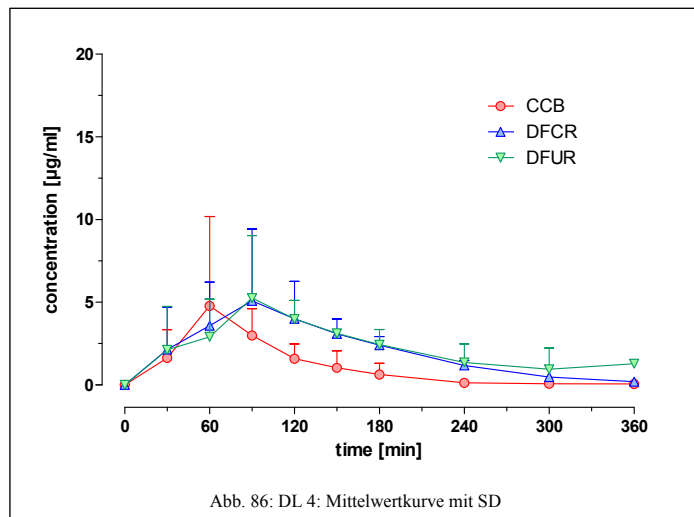
Tab. 87: DL 4: Wichtige pharmakokinetische Parameter im Vergleich

| DL 4 | | | | | | | |
|---------------------|-----------|--------|--------|--------|--------|--------|--------|
| | | CCB | | DFCR | | DFUR | |
| Parameter | Einheit | MW | SD | MW | SD | MW | SD |
| t _{max} | min | 70.00 | 45.83 | 90.00 | 30.00 | 100.00 | 17.32 |
| c _{max} | µg/ml | 5.60 | 4.52 | 7.30 | 2.45 | 6.00 | 2.96 |
| AUC | min*µg/ml | 381.58 | 138.68 | 693.34 | 227.09 | 742.18 | 425.21 |
| MRT _{last} | min | 98.81 | 33.89 | | | | |
| Vd _{obs} | l | 323.84 | 224.33 | | | | |
| Cl _{obs} | l/h | 5.03 | 1.12 | | | | |
| t _{1/2 λz} | min | 44.32 | 26.70 | | | | |

Bei einer Dosis von 900 mg/m² beträgt die maximale Plasmakonzentration von CCB, welche nach 70 Minuten erreicht wird, durchschnittlich 6 µg/ml. Obwohl die Dosis geringer ist als die in der Literatur angegebene, ist c_{max} deutlich höher. Die Eliminationshalbwertszeit weist

einen Durchschnittswert von 44 Minuten auf. Verteilungsvolumen und Clearance liegen in etwa bei 324 Liter beziehungsweise 5 l/h. Dies deutet auf eine ausgeprägte Verteilung und Metabolisierung hin.

DFCR besitzt ein c_{max} von zirka 7 µg/ml, welches nach 90 Minuten auftritt. Die AUC ist beinahe doppelt so hoch wie die des Arzneistoffes.



Die Maximalkonzentration von DFUR, die im Schnitt bei 6 µg/ml liegt, wird nach 100 Minuten erreicht. Die AUC ist nur geringfügig höher als die des ersten Metaboliten und beinahe doppelt so hoch wie die AUC von CCB.

Tab. 88: DL 7: Wichtige pharmakokinetische Parameter im Vergleich

| DL 7 | | | | | | | |
|---------------------|-------------------------------------|--------|--------|---------|--------|--------|-------|
| | | CCB | | DFCR | | DFUR | |
| Parameter | Einheit | MW | SD | MW | SD | MW | SD |
| t_{max} | min | 105.00 | 63.64 | 105.00 | 63.64 | 105.00 | 63.64 |
| c_{max} | $\mu\text{g}/\text{ml}$ | 8.28 | 8.97 | 6.54 | 2.14 | 2.98 | 0.71 |
| AUC | $\text{min}^*\mu\text{g}/\text{ml}$ | 680.19 | 651.49 | 1032.45 | 538.00 | 317.15 | 25.18 |
| MRT_{last} | min | 109.83 | 44.35 | | | | |
| Vd_{obs} | l | 289.53 | 269.12 | | | | |
| Cl_{obs} | l/h | 4.26 | 4.10 | | | | |
| $t_{1/2 \lambda z}$ | min | 48.61 | 3.05 | | | | |

Die maximale Plasmakonzentration von CCB entspricht bei einer Dosis von 800 mg/m² etwa 8 $\mu\text{g}/\text{ml}$. Diese wird durchschnittlich nach 105 Minuten erreicht. Die Elimination verläuft mit einer mittleren $t_{1/2 \lambda z}$ von 49 Minuten. Die gemittelten Werte des Verteilungsvolumens und der Clearance betragen zum einen 290 Liter und zum anderen 4 l/h .

Die Maximalkonzentration von DFCR liegt bei zirka 7 $\mu\text{g}/\text{ml}$ und wird nach 105 Minuten erreicht.

Bei DFUR entspricht t_{max} der von DFCR, wobei die Konzentration hier rund 3 $\mu\text{g}/\text{ml}$ beträgt. Die hohen t_{max} -Werte ergeben sich aus den ermittelten Plasmakonzentrationen

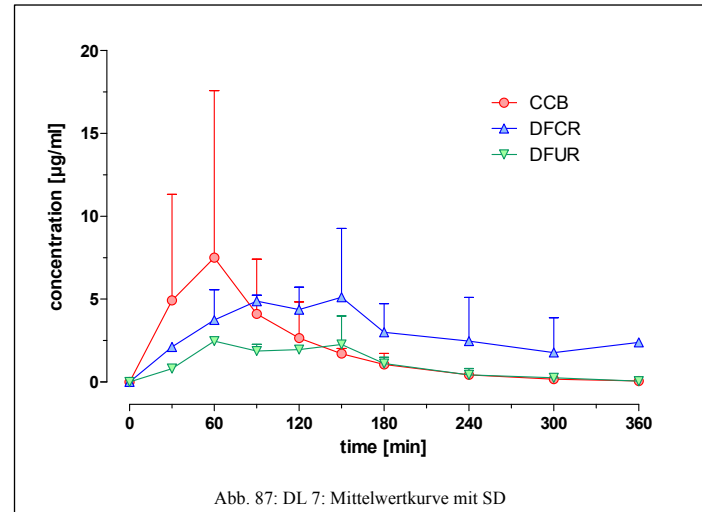


Abb. 87: DL 7: Mittelwertkurve mit SD

von Patient 31. Der hohe c_{max} -Wert von CCB wird durch Patient 30 verursacht.

6 ZUSAMMENFASSUNG

Ziel der vorliegenden Diplomarbeit ist die Ermittlung der Geschwindigkeit und des Ausmaßes der metabolischen Aktivierung von Capecitabin, um daraus Rückschlüsse auf den wirksamen Metaboliten 5-FU ziehen zu können. Die gesammelten Daten stammen aus zwei verschiedenen Studien.

Im Vordergrund beider Studien steht die Entwicklung einer zuverlässigen und effizienten Therapie ohne unerwünschte Arzneimittelwirkungen, die zum Abbruch der Behandlung führen würden.

Studie A wird in mehrere Arme und Zyklen geteilt, die sich jeweils durch die Kombination der verabreichten Medikamente unterscheiden. Bei Studie B handelt es sich um eine Dosisescalationsstudie, aus der Proben aus Dose Level 4 und 7 untersucht wurden.

Das Resorptions-, Metabolisierungs- und Verteilungsmuster von Capecitabin ist in beiden Studien ident, das Ausmaß hingegen unterschiedlich. Dies könnte beispielsweise an den unterschiedlichen Tumortypen liegen.

Die maximalen Plasmakonzentrationen von Capecitabin sind in beiden Studien sehr unterschiedlich. In Studie A sind diese um ein Vielfaches höher als in Studie B, das Verteilungsvolumen hingegen ist wesentlich geringer.

In der Literatur wird t_{max} mit 90 Minuten beschrieben. Eine sehr hohe Anzahl an davon abweichenden Patientenprofilen widerlegt diese Angabe. Im Durchschnitt wird c_{max} bereits nach 30 bis 60 Minuten erreicht.

In Studie A ist Capecitabin nach 180 beziehungsweise 240 Minuten zum letzten Mal nachweisbar. In Studie B kann der Arzneistoff jedoch auch nach 360 Minuten quantifiziert werden. Die Metaboliten sind in beiden Studien nach 300 oder 360 Minuten noch im Blut vorhanden.

In den Plasmakonzentrations-Zeit-Kurven ist keine Kumulation erkennbar.

Capecitabin und seine Metaboliten DFCR und DFUR weisen in den Chromatogrammen keine relevanten Peaküberlappungen auf. In Folge dessen kann eine Interaktion mit zusätzlich verabreichten Medikamenten ausgeschlossen werden.

7 SUMMARY

Aim of this diploma thesis is the determination of the speed and extent of metabolic activation of Capecitabine in the human body to draw conclusions about the active metabolite 5-FU. Two separate studies are carried out to gather the necessary data.

The priority goal of both studies is the development of a safe and efficient therapy without adverse events, which would lead to a termination of the treatment.

Study A is divided in several arms and cycles which differ in combinations of drugs applied.

Study B is a dose-escalation study. Samples of dose-levels 4 and 7 were examined.

The patterns of resorption, metabolism and distribution of Capecitabine proved to be identical in both studies. On the contrary, intensity of these factors proved to be different. This might be due to different tumor types.

C_{max} shows quite higher levels in study A whilst the V_d shows higher levels in study B.

Former studies claimed t_{max} to be 90 minutes, while in these studies it was found to be around 30 to 60 minutes.

In study A, Capecitabine reaches the limit of detection after 180 and 240 minutes, respectively. On the contrary, in study B, the active ingredient can still be quantified after 360 minutes. After 300 to 360 minutes, metabolites are still present in the plasma samples in both studies.

In diagrams showing concentration versus time, no cumulation is visible.

Capecitabine and its metabolites DFCR and DFUR do not overlap in the chromatograms with other substances. From this fact, we can exclude interactions of Capecitabine with other drugs applied.

ABKÜRZUNGSVERZEICHNIS

| | |
|------------------|--|
| 5'-DFCR | 5'-Desoxy-5-fluorocytidin |
| 5'-DFUR | 5'-Desoxy-5-fluorouridin |
| 5-FU | 5-Fluorouracil |
| Aqua bidest. | Aqua bidestillata |
| AUC | Area Under the Curve |
| BVC | Bevacizumab |
| CCB | Capecitabin |
| CETUX | Cetuximab |
| DNA | Deoxyribonucleic Acid |
| DHFU | 4,5-Dihydrofluorouracil |
| DL | Dose Level |
| DPD | Dihydropyrimidin-Dehydrogenase |
| ERL | Erlotinib |
| FBAL | α -Fluoro- β -alanin |
| FdUDP | 5-Fluor-2'-desoxyuridin-diphosphat |
| FdUMP | 5-Fluor-2'-desoxyuridin-monophosphat |
| FdUTP | 5-Fluor-2'-desoxyuridin-triphosphat |
| FUDP | 5-Fluorouridin-diphosphat |
| FUDR | 5-Fluorodesoxyuridin |
| FUH ₂ | 5,6-Dihydro-5-fluorouracil |
| FUMP | Fluorouridin-monophosphat |
| FUR | 5-Fluorouridin |
| FUTP | 5-Fluorouridin-triphosphat |
| HPLC | High Performance Liquid Chromatography |
| K-RAS | Kirsten Rat Sarcoma |
| MeOH | Methanol |
| MW | Mittelwert |
| NCA | Noncompartmental Analysis |
| OPRT | Orotat-Phosphoribosyltransferase |
| OxPt | Oxaliplatin |
| PRPP | Phosphoribosylpyrophosphat |
| RNA | Ribonucleic Acid |
| RR | Ribonucleotid-Reduktase |
| SD | Standardabweichung |
| TK | Thymidin-Kinase |
| TP | Thymidin -Phosphorylase |
| TS | Thymidylat-Synthase |
| UK | Uridin-Kinase |
| UP | Uridin-Phosphorylase |
| Vk | Variationskoeffizient |

ABBILDUNGSVERZEICHNIS

| | |
|--|----|
| Abb. 1: Chemische Struktur von Capecitabin | 1 |
| Abb. 2: Darstellung des Wirkmechanismus von 5-Fluorouracil | 3 |
| Abb. 3: Darstellung der Metabolisierung von Capecitabin | 4 |
| Abb. 4: VWR® HITACHI Chromaster HPLC-Anlage..... | 12 |
| Abb. 5: Eichgerade von Capecitabin..... | 15 |
| Abb. 6: Eichgeraden von DFCR und DFUR..... | 18 |
| Abb. 7: Tag 1, 0 min. | 23 |
| Abb. 8: Tag 1, 30 min. | 23 |
| Abb. 9: Tag 1, 60 min. | 23 |
| Abb. 10: Tag 1, 90 min. | 23 |
| Abb. 11: Tag 1, 120 min. | 23 |
| Abb. 12: Tag 1, 150 min. | 23 |
| Abb. 13: Tag 1, 180 min. | 24 |
| Abb. 14: Tag 1, 240 min. | 24 |
| Abb. 15: Tag 1, 300 min. | 24 |
| Abb. 16: Tag 1, 360 min. | 24 |
| Abb. 17: Tag 1, 0 - 360 min..... | 24 |
| Abb. 18: Tag 5, 0 min. | 25 |
| Abb. 19: Tag 5, 30 min. | 25 |
| Abb. 20: Tag 5, 60 min. | 25 |
| Abb. 21: Tag 5, 90 min. | 25 |
| Abb. 22: Tag 5, 120 min. | 25 |
| Abb. 23: Tag 5, 0 - 120 min. | 25 |
| Abb. 24: Tag 1, 0 min. | 26 |
| Abb. 25: Tag 1, 30 min. | 26 |
| Abb. 26: Tag 1, 60 min. | 26 |
| Abb. 27: Tag 1, 90 min. | 26 |
| Abb. 28: Tag 1, 120 min. | 26 |
| Abb. 29: Tag 1, 150 min. | 26 |
| Abb. 30: Tag 1, 180 min. | 27 |
| Abb. 31: Tag 1, 240 min. | 27 |
| Abb. 32: Tag 1, 300 min. | 27 |
| Abb. 33: Tag 1, 360 min. | 27 |

Abbildungsverzeichnis

| | |
|---|----|
| Abb. 34: Tag 1, 0 - 360 min | 27 |
| Abb. 35: Tag 5, 0 min..... | 28 |
| Abb. 36: Tag 5, 30 min..... | 28 |
| Abb. 37: Tag 5, 60 min..... | 28 |
| Abb. 38: Tag 5, 90 min..... | 28 |
| Abb. 39: Tag 5, 120 min..... | 28 |
| Abb. 40: Tag 5, 0 - 120 min. | 28 |
| Abb. 41: Patient 1, Woche 1: Plasmakonzentrations-Zeit-Kurven von CCB, DFCR & DFUR..... | 29 |
| Abb. 42: Patient 1, Woche 4: Plasmakonzentrations-Zeit-Kurven von CCB, DFCR & DFUR..... | 30 |
| Abb. 43: Patient 1, Woche 7: Plasmakonzentrations-Zeit-Kurven von CCB, DFCR & DFUR..... | 31 |
| Abb. 44: Patient 1, Vergleich der Wochen: Plasmakonzentrations-Zeit-Kurven von CCB | 32 |
| Abb. 45: Patient 1, Vergleich der Wochen: Plasmakonzentrations-Zeit-Kurven von DFCR | 32 |
| Abb. 46: Patient 1, Vergleich der Wochen: Plasmakonzentrations-Zeit-Kurven von DFUR | 32 |
| Abb. 47: Patient 2, Woche 1: Plasmakonzentrations-Zeit-Kurven von CCB, DFCR & DFUR..... | 33 |
| Abb. 48: Patient 2, Woche 4: Plasmakonzentrations-Zeit-Kurven von CCB, DFCR & DFUR..... | 34 |
| Abb. 49: Patient 2, Woche 7: Plasmakonzentrations-Zeit-Kurven von CCB, DFCR & DFUR..... | 35 |
| Abb. 50: Patient 2, Vergleich der Wochen: Plasmakonzentrations-Zeit-Kurven von CCB | 36 |
| Abb. 51: Patient 2, Vergleich der Wochen: Plasmakonzentrations-Zeit-Kurven von DFCR | 36 |
| Abb. 52: Patient 2, Vergleich der Wochen: Plasmakonzentrations-Zeit-Kurven von DFUR | 36 |
| Abb. 53: Patient 3, Woche 1: Plasmakonzentrations-Zeit-Kurven von CCB, DFCR & DFUR..... | 37 |
| Abb. 54: Patient 3, Woche 4: Plasmakonzentrations-Zeit-Kurven von CCB, DFCR & DFUR..... | 38 |
| Abb. 55: Patient 3, Woche 7: Plasmakonzentrations-Zeit-Kurven von CCB, DFCR & DFUR..... | 39 |
| Abb. 56: Patient 3, Vergleich der Wochen: Plasmakonzentrations-Zeit-Kurven von CCB | 40 |
| Abb. 57: Patient 3, Vergleich der Wochen: Plasmakonzentrations-Zeit-Kurven von DFCR | 40 |
| Abb. 58: Patient 3, Vergleich der Wochen: Plasmakonzentrations-Zeit-Kurven von DFUR | 40 |
| Abb. 59: Patient 4, Woche 1: Plasmakonzentrations-Zeit-Kurven von CCB, DFCR & DFUR..... | 41 |
| Abb. 60: Patient 4, Woche 4: Plasmakonzentrations-Zeit-Kurven von CCB, DFCR & DFUR..... | 42 |
| Abb. 61: Patient 4, Woche 7: Plasmakonzentrations-Zeit-Kurven von CCB, DFCR & DFUR..... | 43 |
| Abb. 62: Patient 4, Vergleich der Wochen: Plasmakonzentrations-Zeit-Kurven von CCB | 44 |
| Abb. 63: Patient 4, Vergleich der Wochen: Plasmakonzentrations-Zeit-Kurven von DFCR | 44 |
| Abb. 64: Patient 4, Vergleich der Wochen: Plasmakonzentrations-Zeit-Kurven von DFUR | 44 |
| Abb. 65: Patient 27: Plasmakonzentrations-Zeit-Kurven von CCB, DFCR & DFUR..... | 59 |
| Abb. 66: Patient 28: Plasmakonzentrations-Zeit-Kurven von CCB, DFCR & DFUR..... | 60 |
| Abb. 67: Patient 29: Plasmakonzentrations-Zeit-Kurven von CCB, DFCR & DFUR..... | 61 |
| Abb. 68: Patient 30: Plasmakonzentrations-Zeit-Kurven von CCB, DFCR & DFUR..... | 62 |
| Abb. 69: Patient 31: Plasmakonzentrations-Zeit-Kurven von CCB, DFCR & DFUR..... | 63 |

| | |
|---|----|
| Abb. 70: DL 4, Vergleich aller Patienten: Plasmakonzentrations-Zeit-Kurven von CCB | 66 |
| Abb. 71: DL 4, Vergleich aller Patienten: Plasmakonzentrations-Zeit-Kurven von DFCR | 66 |
| Abb. 72: DL 4, Vergleich aller Patienten: Plasmakonzentrations-Zeit-Kurven von DFUR | 67 |
| Abb. 73: DL 4, Vergleich aller Patienten: Summen der Plasmakonzentrations-Zeit-Kurven | 67 |
| Abb. 74: DL 7, Vergleich aller Patienten: Plasmakonzentrations-Zeit-Kurven von CCB | 70 |
| Abb. 75: DL 7, Vergleich aller Patienten: Plasmakonzentrations-Zeit-Kurven von DFCR | 70 |
| Abb. 76: DL 7, Vergleich aller Patienten: Plasmakonzentrations-Zeit-Kurven von DFUR | 71 |
| Abb. 77: DL 7, Vergleich aller Patienten: Summen der Plasmakonzentrations-Zeit-Kurven | 71 |
| Abb. 78: DL 4: Vergleich der AUCs von CCB, DFCR & DFUR aller Patienten..... | 73 |
| Abb. 79: DL 7: Vergleich der AUCs von CCB, DFCR & DFUR aller Patienten..... | 73 |
| Abb. 80: Arm A, Woche 1: Mittelwertkurve mit SD | 82 |
| Abb. 81: Arm A, Woche 4: Mittelwertkurve mit SD | 83 |
| Abb. 82: Arm A, Woche 7: Mittelwertkurve mit SD | 84 |
| Abb. 83: Arm B, Woche 1: Mittelwertkurve mit SD | 85 |
| Abb. 84: Arm B, Woche 4: Mittelwertkurve mit SD | 86 |
| Abb. 85: Arm B, Woche 7: Mittelwertkurve mit SD | 87 |
| Abb. 86: DL 4: Mittelwertkurve mit SD | 88 |
| Abb. 87: DL 7: Mittelwertkurve mit SD | 89 |

TABELLENVERZEICHNIS

| | |
|---|----|
| Tab. 1: Studiendesign von Studie A | 8 |
| Tab. 2: Blutabnahmeschema von Studie A | 9 |
| Tab. 3: Studiendesign von Studie B | 10 |
| Tab. 4: Blutabnahmeschema von Studie B | 10 |
| Tab. 5: Patientencharakteristik von Studie A | 11 |
| Tab. 6: Patientencharakteristik von Studie B | 11 |
| Tab. 7: Parameter des HPLC-Systems | 12 |
| Tab. 8: Verwendete Geräte und Materialien | 13 |
| Tab. 9: Verwendete Chemikalien und Reagentien | 13 |
| Tab. 10: Statistische Parameter der Eichgerade von Capecitabin | 16 |
| Tab. 11: Statistische Parameter der Eichgeraden von DFCR und DFUR | 19 |
| Tab. 12: Berechnete pharmakokinetische Parameter von CCB..... | 21 |
| Tab. 13: Berechnete pharmakokinetische Parameter der Metaboliten | 22 |
| Tab. 14: Patient 1, Woche 1: Konzentrationen von CCB, DFCR & DFUR..... | 29 |
| Tab. 15: Patient 1, Woche 4: Konzentrationen von CCB, DFCR & DFUR..... | 30 |
| Tab. 16: Patient 1, Woche 7: Konzentrationen von CCB, DFCR & DFUR..... | 31 |
| Tab. 17: Patient 2, Woche 1: Konzentrationen von CCB, DFCR & DFUR..... | 33 |
| Tab. 18: Patient 2, Woche 4: Konzentrationen von CCB, DFCR & DFUR..... | 34 |
| Tab. 19: Patient 2, Woche 7: Konzentrationen von CCB, DFCR & DFUR..... | 35 |
| Tab. 20: Patient 3, Woche 1: Konzentrationen von CCB, DFCR & DFUR..... | 37 |
| Tab. 21: Patient 3, Woche 4: Konzentrationen von CCB, DFCR & DFUR..... | 38 |
| Tab. 22: Patient 3, Woche 7: Konzentrationen von CCB, DFCR & DFUR..... | 39 |
| Tab. 23: Patient 4, Woche 1: Konzentrationen von CCB, DFCR & DFUR..... | 41 |
| Tab. 24: Patient 4, Woche 4: Konzentrationen von CCB, DFCR & DFUR..... | 42 |
| Tab. 25: Patient 4, Woche 7: Konzentrationen von CCB, DFCR & DFUR..... | 43 |
| Tab. 26: Arm A, Woche 1: CCB - Konzentrationen im Vergleich | 45 |
| Tab. 27: Arm A, Woche 1: DFCR - Konzentrationen im Vergleich | 45 |
| Tab. 28: Arm A, Woche 1: DFUR - Konzentrationen im Vergleich..... | 46 |
| Tab. 29: Arm A, Woche 1: Konzentrationssummen im Vergleich | 46 |
| Tab. 30: Arm B, Woche 1: CCB - Konzentrationen im Vergleich..... | 47 |
| Tab. 31: Arm B, Woche 1: DFCR - Konzentrationen im Vergleich | 47 |
| Tab. 32: Arm B, Woche 1: DFUR - Konzentrationen im Vergleich | 48 |
| Tab. 33: Arm B, Woche 1: Konzentrationssummen im Vergleich..... | 48 |
| Tab. 34: Arm A, Woche 4: CCB - Konzentrationen im Vergleich | 49 |

| | |
|--|----|
| Tab. 35: Arm A, Woche 4: DFCR - Konzentrationen im Vergleich..... | 49 |
| Tab. 36: Arm A, Woche 4: DFUR - Konzentrationen im Vergleich | 50 |
| Tab. 37: Arm A, Woche 4: Konzentrationssummen im Vergleich..... | 50 |
| Tab. 38: Arm B, Woche 4: CCB - Konzentrationen im Vergleich | 51 |
| Tab. 39: Arm B, Woche 4: DFCR - Konzentrationen im Vergleich..... | 51 |
| Tab. 40: Arm B, Woche 4: DFUR - Konzentrationen im Vergleich..... | 52 |
| Tab. 41: Arm B, Woche 4: Konzentrationssummen im Vergleich | 52 |
| Tab. 42: Arm A, Woche 7: CCB - Konzentrationen im Vergleich..... | 53 |
| Tab. 43: Arm A, Woche 7: DFCR - Konzentrationen im Vergleich..... | 53 |
| Tab. 44: Arm A, Woche 7: DFUR - Konzentrationen im Vergleich | 54 |
| Tab. 45: Arm A, Woche 7: Konzentrationssummen im Vergleich | 54 |
| Tab. 46: Arm B, Woche 7: CCB - Konzentrationen im Vergleich | 55 |
| Tab. 47: Arm B, Woche 7: DFCR - Konzentrationen im Vergleich..... | 55 |
| Tab. 48: Arm B, Woche 7: DFUR - Konzentrationen im Vergleich | 56 |
| Tab. 49: Arm B, Woche 7: Konzentrationssummen im Vergleich | 56 |
| Tab. 50: Arm A: Vergleich der AUCs von CCB, DFCR & DFUR | 57 |
| Tab. 51: Arm B: Vergleich der AUCs von CCB, DFCR & DFUR | 58 |
| Tab. 52: Patient 27: Konzentrationen von CCB, DFCR & DFUR..... | 59 |
| Tab. 53: Patient 28: Konzentrationen von CCB, DFCR & DFUR..... | 60 |
| Tab. 54: Patient 29: Konzentrationen von CCB, DFCR & DFUR..... | 61 |
| Tab. 55: Patient 30: Konzentrationen von CCB, DFCR & DFUR..... | 62 |
| Tab. 56: Patient 31: Konzentrationen von CCB, DFCR & DFUR..... | 63 |
| Tab. 57: DL 4: CCB - Konzentrationen im Vergleich | 64 |
| Tab. 58: DL 4: DFCR - Konzentrationen im Vergleich..... | 64 |
| Tab. 59: DL 4: DFUR - Konzentrationen im Vergleich..... | 65 |
| Tab. 60: DL 4: Konzentrationssummen im Vergleich | 65 |
| Tab. 61: DL 7: CCB - Konzentrationen im Vergleich | 68 |
| Tab. 62: DL 7: DFCR - Konzentrationen im Vergleich..... | 68 |
| Tab. 63: DL 7: DFUR - Konzentrationen im Vergleich..... | 69 |
| Tab. 64: DL 7: Konzentrationssummen im Vergleich | 69 |
| Tab. 65: DL 4: Vergleich der AUCs von CCB, DFCR & DFUR aller Patienten | 72 |
| Tab. 66: DL 7: Vergleich der AUCs von CCB, DFCR & DFUR aller Patienten | 72 |
| Tab. 67: Arm A: Pharmakokinetische Parameter von CCB, Woche 1 | 74 |
| Tab. 68: Arm A: Pharmakokinetische Parameter von CCB, Woche 4 | 74 |
| Tab. 69: Arm A: Pharmakokinetische Parameter von CCB, Woche 7 | 75 |
| Tab. 70: Arm A: Pharmakokinetische Parameter von DFCR, Woche 1, 4 & 7 | 75 |
| Tab. 71: Arm A: Pharmakokinetische Parameter von DFUR, Woche 1, 4 & 7 | 76 |

Tabellenverzeichnis

| | |
|---|----|
| Tab. 72: Arm B: Pharmakokinetische Parameter von CCB, Woche 1 | 76 |
| Tab. 73: Arm B: Pharmakokinetische Parameter von CCB, Woche 4 | 77 |
| Tab. 74: Arm B: Pharmakokinetische Parameter von CCB, Woche 7 | 77 |
| Tab. 75: Arm B: Pharmakokinetische Parameter von DFCR, Woche 1, 4 & 7 | 78 |
| Tab. 76: Arm B: Pharmakokinetische Parameter von DFUR, Woche 1, 4 & 7 | 78 |
| Tab. 77: DL 4: Pharmakokinetische Parameter von CCB | 79 |
| Tab. 78: DL 4: Pharmakokinetische Parameter von DFCR & DFUR..... | 79 |
| Tab. 79: DL 7: Pharmakokinetische Parameter von CCB | 80 |
| Tab. 80: DL 7: Pharmakokinetische Parameter von DFCR & DFUR..... | 80 |
| Tab. 81: Arm A, Woche 1: Wichtige pharmakokinetische Parameter im Vergleich | 82 |
| Tab. 82: Arm A, Woche 4: Wichtige pharmakokinetische Parameter im Vergleich | 83 |
| Tab. 83: Arm A, Woche 7: Wichtige pharmakokinetische Parameter im Vergleich | 84 |
| Tab. 84: Arm B, Woche 1: Wichtige pharmakokinetische Parameter im Vergleich..... | 85 |
| Tab. 85: Arm B, Woche 4: Wichtige pharmakokinetische Parameter im Vergleich..... | 86 |
| Tab. 86: Arm B, Woche 7: Wichtige pharmakokinetische Parameter im Vergleich..... | 87 |
| Tab. 87: DL 4: Wichtige pharmakokinetische Parameter im Vergleich..... | 88 |
| Tab. 88: DL 7: Wichtige pharmakokinetische Parameter im Vergleich..... | 89 |

LITERATURVERZEICHNIS

- [1] Austria-Codex Fachinformation 2011/12, Österreichische Apotheker-Verlagsgesellschaft m.b.H., 2011
- [2] Pharmacokinetics and metabolic activation of capecitabine when given concomitantly with oxaliplatin and monoclonal antibody cetuximab. Study Protocol, Chapter: Pharmacokinetics and metabolism of CCB. An International Academy Study sponsored by AGMT. EUDRACT No.: 2011-002921-23
- [3] Schüller J., Cassidy J., Dumont E. et al.: Preferential activation of capecitabine in tumor following oral administration to colorectal cancer patients. Cancer Chemother Pharmacol. 45: 291-297, 2000
- [4] RxList - The Internet Drug Index, Xeloda, <http://www.rxlist.com/xeloda-drug.htm> [Zugriff am 31.07.2012]
- [5] DrugBank 3.0 - Open Data Drug & Drug Target Database, Capecitabine, <http://www.drugbank.ca/drugs/DB01101> [Zugriff am 09.07.2012]
- [6] Blaschek W., Ebel S., Hackenthal E. et al.: Hagers Enzyklopädie der Arzneistoffe und Drogen, 6. Auflage, Wissenschaftliche Verlagsgesellschaft mbH Stuttgart, 2007
- [7] Hunnius Pharmazeutisches Wörterbuch, 10. Auflage, Walter de Gruyter GmbH & Co. KG, 2010
- [8] Koukourakis G. V., Kouloulias V., Koukourakis M. J. et al.: Efficacy of the Oral Fluorouracil Pro-drug Capecitabine in Cancer Treatment: a Review. Molecules. 13(8): 1897-1922, 2008
- [9] Steinhilber D., Schubert-Zsilavecz M., Roth H. J.: Medizinische Chemie, 2. Auflage, Deutscher Apotheker Verlag, 2010

- [10] Longley D. B., Harkin D. P., Johnston P. G.: 5-Fluorouracil: mechanisms of action and clinical strategies. *Nature Reviews Cancer.* 3: 330-338, 2003 May
- [11] Lüllmann H., Mohr K., Hein L.: *Pharmakologie und Toxikologie*, 17. Auflage, Georg Thieme Verlag KG, 2010
- [12] Mutschler E., Geisslinger G., Kroemer H. K. et al.: *Mutschler Arzneimittelwirkungen*, 8. Auflage, Wissenschaftliche Verlagsgesellschaft mbH Stuttgart, 2001
- [13] Xeloda® Fachinformation, Roche Austria GmbH, 2010
- [14] Nishida M.: Pharmacological and clinical properties of Xeloda (Capecitabine), a new oral active derivative of fluoropyrimidine. *Nihon Yakurigaku Zasshi.* 122(6): 549-53, 2003 Dec.
- [15] A phase Ib trial to evaluate the safety and efficacy of erlotinib (Tarceva®), bevacizumab (Avastin®), and capecitabine (Xeloda®) in patients with locally advanced unresectable and/or metastatic pancreatic cancer, Clinical Study Protocol, Protocol # ML20784, EUDRACT # 2008-004444-36
- [16] Van Cutsem E., Verslype C., Beale P. et al.: A phase 1b dose-escalation study of erlotinib, capecitabine and oxaliplatin in metastatic colorectal cancer patients. *Annals of Oncology.* 19:332-339, 2008
- [17] Ma W. W., Herman J. M., Jimeno A. et al.: A Tolerability and Pharmacokinetic Study of Adjuvant Erlotinib and Capecitabine with Concurrent Radiation in Resected Pancreatic Cancer, *Translational Oncology.* Vol. 3, No.6: 373-379, 2010 Dec.
- [18] PhoenixTM WinNonlin® 6.0 (Pharsight, Mountain View, CA), User's Guide: Noncompartmental Analysis, NCA output parameters and their computation formulas

LEBENSLAUF

Persönliche Daten:

Name: Eva Mihola
Geburtsdatum: 03.10.1985
Geburtsort: Wien
Staatsbürgerschaft: Österreich

Ausbildung:

seit Oktober 2004: Studium der Pharmazie an der Universität Wien
Juni 2004: Matura mit ausgezeichnetem Erfolg
1996 - 2004: Bundesgymnasium / Bundesrealgymnasium GRG 21
Bertha von Suttner - Schulschiff, 1210 Wien
1992 - 1996: Henry - Dunant - Volksschule, 1210 Wien

Berufserfahrung:

seit Februar 2011: Quality Operations Assistant,
Pfizer Corporation Austria Ges.m.b.H., 1210 Wien
SS 2012: Tutorin an der Universität Wien,
Praktikum „Chemische Diagnostik und Klinische Pharmazie“
2005 - 2010: je ein einmonatiges Ferialpraktikum,
Humanitas - Apotheke, 1210 Wien